SЫЗЫЦЯНГ ДИЗЬЦЬЦЬ ИИР ЯРКПРИЗПРОБЕР ЦЬЦЯВИРИЗН ИЗВЕСТИЯ АКАДЕМИИ НАУК АРМЯНСКОЙ ССР

Ֆիզ-մաթ., թն. և տեխ. գիտութ. II, № 2, 1949

Физ-мат., естеств. и тех. науки

гипология

Б. Д. Зайков

Испарение с поверхности озера Севан*

Испарение с поверхности озера Севан количественно преобладает над всеми остальными элементами его водного баланса, что заставляет уделять ему особое внимание. Даже при сравнительно небольших относительных ошибках в определении этой величины, абсолютные ошибки могут достигать значений некоторых других элементов водного баланса, как например, поверхностного и подземного стока из озера. К сожалению, методика непосредственного определения или теоретического расчета испарения с больших водных пространств еще слабо разработана, а общепринятые, проверенные на практике, эмпирические формулы отсутствуют. Поэтому, в какдом отдельном случае, приходится подходить к определению величины испарения разными, взаимно контролирующими друг друга способами.

Учитывая вышесказанное, Севанское гидрометбюро поставило в 1927—30 г. г. специальные исследования по испарснию, которые имели целью: 1. установление опытным путем зависимости испарения от гидрометеорологических факторов, его обусловливающих и 2. выявление численных значений этих факторов непосредственно для всей поверхности озера.

Для решения первой задачи в различных частях озера (г. Севан, о-в Сенан, бухта Глаголь и с. Загалу) были организованы четыре испарительные станции, оборудованные пловучими испарителями Лермантова-Любославского и метеоустановками, на которых дополнительно велись наблюдения по полной программе станций II разряда. Не останавливаясь здесь на описании произведенных исследований, опубликованных в работе-В. К. Давыдова [1], приведем лишь выведенную на основе этих исследований следующую формулу испарения:

$$E=0.64 \text{ n } (e_0-e_{10}) (1+0.125 \text{ w}_{000})$$
 . . . (1),

где Е-испарение за месяц в мм, п-число дней в месяце, е. максимальная упругость пара по температуре воды в мм.

Работа выполнена автором в ВЭНИ АН Арм. ССР в связи с расчетом водного баланся озера за 1925—45 г. г.
Известия II, № 2—6

 e_{10} —абсолютная влажность воздуха в мм на высоте 10 см над поверхностью воды, w_{900} —скорость ветра в м/сек. на высоте 900 см над поверхностью воды.

Вторая поставленная задача была разрешена путем организации: 1. метеорологической станции на острове Севан, 2. систематических рейдовых наблюдений в пяти постоянных пунктах на озере в расстоянии 1—2 км от берега, 3. гидрологических разрезов вдоль озера, повторяемостью в среднем 10—12 раз в год, 4. установки термографа и гигрографа на пловучей станции посреди Большого Севана и 5. массовых эпизодических судовых наблюдений в разных участках озера.

В результате систематизации материалов указанных наблюдений и увязки их с одновременными наблюдениями опорных береговых метеорологических станций были получены месячные за каждый год значения температуры воды на поверхности озера, температуры и абсолютной влажности воздуха на высоте около 200 см над поверхностью озера, и составлены соответствующие карты.

Для перехода от наблюденных значений абсолютной влажности воздуха на высоте 200 см к требуемым формулою испарения значениям этого фактора на высоте 10 см, на основе специально проведенных на о-ве Севан в течение августа—ноября 1930 г. систематических градиентных наблюдений, а также опубликованных результатов наблюдений других исследователей, Давыдовым была выведена следующая зависимость:

$$e_{10} = 1,15 e_{200}^*$$
 (2)

С помощью этой зависимости наблюденные над озером на высоте 200 см значения абсолютной влажности воздуха были приведены к высоте 10 см.

Средняя скорость ветра была определена по четырем береговым (Шоржа, Норадуз, Мартуни и Басаргечар) и одной островной (о-в Севан) станциям и приблизительно соответствует высоте около 900 см над поверхностью озера.

На основании полученных таким образом гидрометеорологических данных и приведенной выше формулы Давыдовым были определены месячные и годовые суммы испарения с поверхности озера за каждый год периода 1927—30 г.г. Средние за 4-летний период значения исходных гидрометеорологических данных и результаты подсчета месячных сумм испарения приведены соответственно в нижеприводимых табл. 9 и 11, а годовые суммы испарения за каждый год в отдельности в табл. 3.

^{*} По данным исключительно на о-ве Севан, при допущении логарифмического закона в распределении влажности, имеет место равенство: $\frac{e_Z}{e_{200}} = 1 - 0,105 \text{ Ig} \frac{z}{200}$ и следовательно, $e_{10} = 1,14$ e_{200} .

Общий подход к решению поставленной задачи, принятый Давыдовым, хотя и является правильным, но все же нельзя иметь полной уверенности в том, что выведенная им формула дает величину испарения с поверхности озера достаточно близкую к действительной. Анализируя причины возможных в данном случае отклонений можно выделить следующие основные факторы, влияющие на точность расчета испарения:

- 1. наличие у испарителей, а также у рам, на которых они устанавливаются, бортиков, защищающих от ветра поверхность воды, обычно влияет в сторону уменьшения испарения, но в некоторых случаях, вследствие увеличения завихрения, возможен и обратный эффект;
- смачивание внутренних стенок испарителя, наблюдающееся даже при небольшой волне и при раскачивании пловучего испарителя, могущее повысить испарение на величину до 5%;
- отсутствие в испарителе эффекта ветра—волны, при известном развитии приводящей к срыву гребия и распылению в воздухе, вызывающих добавочное испарение;
- различие в условиях турбулентного перемешивания вследствие различия в параметрах шероховатости;
- 5. возможное различие в традиентах влажности на высоте 0—10 см в испарителе (особенно при ветрах, дующих с берега, у которого установлен испаритель) и над поверхностью озера.

Хотя влияние перечисленных выше факторов и не одного знака, и потому не исключена возможность взаимной компенсации, все же вопрос о применимости выведенной Давыдовым формулы для расчета испарения с открытой поверхности озера Севан остается открытым.

Это прекрасно учитывал и сам автор формулы и потому прибегнул к контрольному расчету испарения по методу теплового баланса. К сожалению, специальных актинометрических наблюдений на озере Севан почти не велось и при расчетах отдельных элементов теплового баланса пришлось пользоваться далеко несовершенными эмпирическими формулами, некоторые из которых, как например формулы излучения с водной поверхности, дают результаты, расходящиеся до 100%. Вызывает сомнение и величина конвекционного теплообмена, определявшаяся по формуле Шулейкина. Поэтому, произведенный Давыдовым расчет испарения по тепловому балансу не является убедительным.

В данном случае в целях контроля решено было обратиться к существующим теоретическим формулам, выведенным для расчета испарения в условиях больших водных пространств. Из числа последних мы остановились на известной формуле Свердрупа, удачная попытка применения которой к расчету испарения с поверхности Каспийского моря была произведена В. К. Давыдовым [2]. Формула Свердруна, выведенная из уравнения турбулентной диффузии, имеет вид:

$$E = \frac{0.216 \text{ n.} (e_0 - e_{z_1}) \text{ w}_{z_2}}{0.0872 \text{ lg} \frac{z_1 + z_0}{z_0} \text{ lg} \frac{z_2 + z_0}{z_0} + \Delta z \text{ w}_{z_2}} \cdot \cdot \cdot \cdot (3),$$

где Е—испарение за месяц в мм, п—число дней в месяце, e_0 —максимальная упругость пара при температуре поверхности воды в мм, e_{Z_1} —абсолютная влажность воздуха в мм на высоте z_1 (см) от поверхности воды, w_{Z_2} —скорость ветра на высоте z_2 (см) в м/сек., z_0 — шероховатость водной поверхности в см и Δz —толщина пограничного (ламинарного) слоя в см.

Серьезным препятствием для широкого практического применения этой формулы к расчету испарения с водной поверхности является отсутствие разработанной методики для определения средних значений параметров z_0 и в особенности Δz .

Шероховатость водной поверхности, как известно, зависит от скорости ветра и носит характер подвижной волнистой шероховатости, т. к. вместе с воздушным потоком, в одном и том же направлении, передвигается и ветровая волна, в силу чего снижается и поверхностное трение.

Параметр шероховатости определяют обычно путем одновременного измерения скоростей ветра на одной и той же вертикали.

Логарифмическое выражение для изменения скорости ветра с высотой имет вид:

$$\frac{\frac{W_1}{W_2} = \frac{\lg \frac{Z_1}{Z_0}}{\lg \frac{Z_2}{Z_0}}}{\lg \frac{Z_2}{Z_0}} \cdot \dots \cdot \dots \cdot (4),$$

$$\lg Z_0 \frac{W_2 \lg Z_1 - W_1 \lg Z_2}{W_0 - W_1} \cdot \dots \cdot (5),$$

где w_1 —скорость ветра на высоте z_1 от поверхности воды, w_2 —то же на высоте z_2 и z_0 —параметр шероховатости.

Эпизодические наблюдения над профилем ветра в океанических условиях, обработанные Росби, показали, что в случае быстро меняющихся условий волнения, параметр z_0 может достичь очень высоких величин (до 20 см), но при умеренных устойчивых ветрах поверхность моря как бы приспособляется к тому, чтобы дать возможность воздуху передвигаться над ней наиболее экономичным образом, и параметр волнения колеблется в пределах 0,35—0,85 см, составляя в среднем около 0,6 см.

Аналогичного рода наблюдения, поставленные П. П. Кузьминым [3] на Белом и Каспийском морях показали, что начиная от скорости 3 м/сек. и выше, величина z₀ при устойчивых ветрах действительно остается постоянной и не зависит от скорости ветра. Те же наблюдения показали, что в условиях одного и того же ветра величина параметра z₀ различна для разных водоемов и даже для различных участков одного и того же водоема, что зависит, повидимому, от морфологических особенностей каждого водоема, а, следовательно, и от неодинакового состояния волнения, вызываемого ветром.

Так, для Белого моря в районе о-ва Средние Луды $z_0 = 1.5$ см (большие глубины), а в береговой полосе Кандалакшского залива $z_0 = 0.5$ см; для Каспийского моря в районе о-ва Чечень (на мелководье) $z_0 = 0.15$ см.

Специальных наблюдений над профилем ветра на Севане, как известно, не велось, и так как для расчета испарения необходимо осредненное как по времени, так и по поверхности моря значение го, то указанные выше эпизодические наблюдения, относящиеся к тому же в большинстве случаев к океаническим условиям, использовать не представилось возможным. В данном случае было поступлено так, как поступил Свердруп в своей первой работе, приняв приближенное значение параметра шероховатости равным 1/30 средней (или 1/40 максимальной) высоты волны. Основанием к этому явились опыты Прандтля, нашедшего, что для некоторых типов искусственно полученных поверхностей, путем приклеивания зерен песка различной крупности к гладкой поверхности, параметр шероховатости равен около 1/30 диаметра зерна.

Высота волны рассчитывалась, исходя из формулы В. Г. Андреянова [4]:

$$h = 0.0208 \text{ w}^{5/4} \text{ D}^{1/3}$$
 (6),

где h-высота волны в м, w-скорость ветра в м/сек. и D-длина разгона в км.

Средняя по протяжению разгона высота волны определялась как

h cp.
$$=$$
 $\stackrel{d}{\underset{D}{\int}}$ h. dD $= 0.0156 \text{ w}^{5/4} \text{ D}^{1/3}$ (6'),

а средняя высота волны для всего водоема вычислялась как среднее арифметическое из значений по формуле (6') для наибольшего и наименьшего разгонов по водоему.

Учитывая наличие на озере Севан крутых приглубых берегов, вызывающих интерференцию воли и образование толчеи, в полученную по этой формуле величину был введен коэфицент К=1,5, отражающий большую высоту воли толчеи (для правильной стоячей волны—"волны плеса" К=2,0).

Положенные в основу этого расчета данные и полученные ре-

зультаты, вместе с аналогичными данными по морям Каспийскому и Аральскому, которые будут использованы ниже, приведены в табл. 1.

Таблица 1
Расчет средней высоты волны и параметра z₀

	оз. Се- ван	Каспийское море	Аральское море
Наибольший разгон D макс., км	70	1000	350
Наименьший разгон D мин., км . 🗼	15	300	200
Средняя скорость ветра w, м/сек. · · ·	3,5	5.0	3,5
Средняя высота волны по протяжению D макс., м · · · · · · · · · · · · · · · · · ·	0,31	1,2	0,52
Средняя высота волны по протяжению D мин., ж	0,18	0,78	0,44
Средняя высота волны по зеркалу, м	0,24	0,99	0,48
Принятая средняя высота волны по зер- калу h ср., м	0,35	1,0	0,5
Параметр шероховатости $z_0 = 1/30$, $z_0 = \frac{1}{30} h$ сро h ср. 100 с.ч	1,2	3,3	1,7

Как видно из этой таблицы, значение параметра z₀ для Севана получилось 1,2 см, а для Каспийского и Аральского морей—соответственно 3,3 и 1,7 см.

Еще более сложной задачей является определение толщины пограничного слоя. Толщина его непрерывно меняется, в известные моменты сходя даже на-нет, но при вычислении средних величин испарения, без больших погрешностей, ее можно принять постоянной, как это и делается пока всеми исследователями.

Приближенное значение толщины пограничного слоя было рассчитано по нижеследующей формуле, выведенной П. П. Кузьминым [5] из условий равенства переноса водяного пара внутри турбулентной зоны переносу через слой диффузии:

$$\Delta z' = 0.0863 \text{ lg} \frac{z_1 + z_0}{z_0} \text{ lg} \frac{z_2 + z_0}{z_0} \frac{(e_0 - e)}{(e - e_{z_1})w_{z_2}} \cdot \cdot \cdot (7)$$

или более точно:

$$\Delta z = 0.0863 \text{ lg} \frac{z_1 + z_0}{z_0 + \Delta z'} \text{lg} \frac{z_2 + z_0}{z_0} \frac{(e_0 - e)}{(e - ez1) \text{ w} z_2} \cdot \cdot \cdot (8),$$

где е—абсолютная влажность воздуха на верхней границе пограничного слоя в мм. Значение последней было определено экстраполяцией кривой распределения влажности по вертикали, построенной на основе градиентных наблюдений на острове Севан.

В соответствии с данными наблюдений (z_1 =200 см, z_2 =900 см, wz_2 =3,5 м/сек., e_0 =9,5 мм, e=7,7 мм н e_{200} =6,1 мм) по вышепри-

веденным формулам 7 и 8 были определены значения $\Delta z'=0,179~c$ м и $\Delta z=0,173~c$ м, или округло $\Delta z=0,17~c$ м.

Для сравнения укажем, что для Каспийского и Аральского морей, величина испарения с поверхности которых может считаться более или менее точно установленной (табл. 4), значения ∆z, вычисленные из формулы испарения Свердрупа, получились соответственно равными 0,18 и 0,16, т. е. близкими к определенному выше для Севана.

Определив указанными выше способами значения параметров z₀ и Δz, выражение:

$$0,0872 \lg \frac{z_1 + z_0}{z_0} \lg \frac{z_2 + z_0}{z_0} + \Delta z wz_2$$
 (9)

в формуле Свердрупа можно заменить множителем

$$A = f(w_{z_2})$$
 (10)

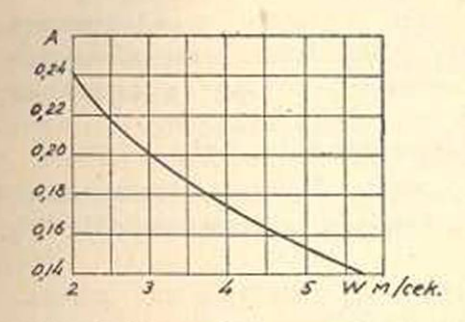


Рис. 1. Кривая A = для условий Севана

В таком случае формула Свердрупа примет вид обычной одночленной формулы испарения:

$$E = A n (e_0 - e_{z_1}) w_{z_2}$$
 . (11)

Значения входящего в эту формулу переменного множителя А в функции от скорости ветра могут быть определены по предварительно составленной вспомогательной таблице (табл. 2) или по графику A=f (wz₂), представленному на рис. 1.

Таблица 2 Таблица звачений А∈f (wz.) (для условий Севана)

м/сек.	0	1	2	3	4	5	6	7	8	9
2,	0,240	0,236	0,232	0,228	0,224	0,219	0,215	0,211	0,208	0,205
3,	0.202	0,199	0,196	0,193	0,190	0,187	0,184	0,181	0,178	0,176
4,	0,174	0,171	0,169	0.167	0,165	0,163	0,161	0,159	0.157	0,155
5,	0,153	0,151	0,149	0,147	0,145	0,144	-	-	=	-

Путем подстановки в формулу (11) месячных значений разностей упругости водяного пара и скорости ветра, а также переменного коэфициента А, были получены месячные и годовые суммы испарения с поверхности озера за каждый год периода 1927—30 г.г. Средние за четырехлетний период величины месячных сумм испарения приведены в табл. 11, а годовые суммы испарения за каждый год в отдельности—в табл. 3 в сопоставлении с аналогичными данными, полученными по формуле Давыдова и по водному балансу озера.

Таблица 3

Испарение с поверхности оз. Севан, в см

Годы	По формуле Давыдова	По формуле Свердруна	По водному балансу	Среди.
1927	83	80	83	82
1928	76	74	77	76
1929	88	83	80	84
1930	92	94	89	92
Среди.	85	83 -	82	83

Как видно из таблицы, величины испарения, определенные по эмпирической формуле Давыдова и теоретической формуле Свердрупа, получились достаточно согласными и расходятся в среднем не более чем на 2,5%, а в отдельные годы отклонения не превышают 6% (1929 г.). Не меньшее согласие наблюдается и между величинами, определенными по указанным формулам, с полученными по водному балансу озера. При этом лучшее совпадение обнаруживают данные расчета по формуле Свердрупа, которые отклоняются от данных по водному балансу в среднем несколько более 1%, с колебаниями в отдельные годы от +4,0% (1928 г.) до -5,6% (1930 г.), в то время как рассчитанные по формуле Давыдова показывают несколько большие величины отклонений, соответственно 3,6%, 0% (1927 г.) и -10% (1929 г.).

Как уже выше указывалось, каждая из принятых для расчета испарения формул обладает теми или иными присущими ей недостатками; не лишен последних и расчет испарения по водному балансу, ошибки в определении которого могут проистекать в основном из-за недостаточной точности учета атмосферных осадков, играющих весьма существенную роль в приходной части водного баланса (около 40%) и в меньшей степени от точности учета притока воды в озеро и других элементов. Однако, несмотря на имеющиеся недочеты, все три способа подсчета испарения с поверхности озера дают достаточно близкие результаты и контролируют друг друга. Само собой разумеется, что наши расчеты стали бы еще более убедительными, если бы удалось показать, что принятые для расчета испарения с поверхности озера Севан формулы приложимы и к другим водоемам, как, например, Каспийское и Аральское моря. Величины испарения с этих водоемов могут считаться более или менее точно установленными по их водному балансу [6,7], а кроме того, по этим водоемам имеются в настоящее время гидрометеорологические данные (табл. 4), относящиеся так же, как и на Севане, к открытой водной поверхности.

0 Испарение	с пове	ерхи	сти	Kacn	нйск	oro	и Ај	ральс	кого		<i>іблиі</i> ей	qa 4	
NUMBER OF STREET	1	11	ш	IV	v	VI	VII	VIII	IX	х	XI	XII	Год
No. of Lot, St.	Kacı	ийс	toe s	юре	(190	4, 14	-19,	24-	29, 3	31-3	6 r.r)	
e ₀ —e ₀₀₀ , <i>MM</i>	1.5	1,3	1,3	1,9	3,1	4,5	6.0	6,4	5,9	4,1	2,9	1,8	3,4
Wow, M/cex.	5,5	5,6	5,3	5,0	4,6	4,5	4,6	4,8	5,3	5,4	5,9	5,8	5,2
Е, мм	50	46	34	16	33	91	127	155	144	124	101	67	988
		1	ралі	ское	мор	e (1	912-	17, 2	63	9 с.г.)		
e ₀ —e _{3,0} , .w.w	2.5	2,1	1,5	0,5	2.5	4,2	5,4	6,9	7,1	5,5	4,1	3.0	3,8
w ₁₁₀₀ , м/сек.	3,0	3,6	3,7	3,8	3,9	3,6	3,5	3,4	3,0	3,1	3,2	3.3	3,4
Е, жм	-	=	-	-	-	-	-	-	-	-	-	_	930

Произведенные в указанном направлении исследования показали, что формула Давыдова, если абсолютную влажность взять на обычной высоте 200 см, где она фактически и наблюдалась над озером, принимает вид:

$$E=0.47 \text{ n } (e_0-e_{200}) (1+0.125 \text{ w}_{000}) . . . (12)$$

и представляет частный случай следующей формулы испарения, удовлетворяющей данным всех трех водоемов—оз. Севан, Каспия и Арала:

E=A n
$$(e_0-e_{200})$$
 $(1+0.125 w_{900})$. . . (13)

Коэфициент A в этой формуле величина переменная и зависит от шероховатости водной поверхности.

Зависимость A=f(z₀) графически представлена на рис. 2 и аналитически выражается, так:

$$A=0.14 \text{ lg } z_0+0.46$$
 . . . (14)

Использованные при выводе формулы (14) данные приведены в табл. 5.

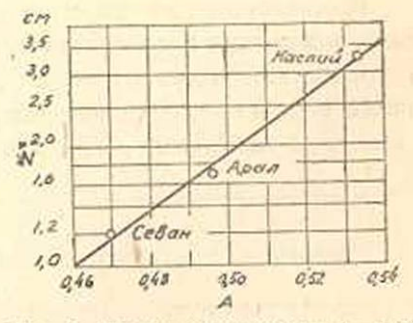


Рис. 2. График зависимости $A=f(z_o)$

Таблица 5

Водоем	Среднее суточное испарение, мм	e ₀ -e ₂₀₀ ,	₩ ₀₀₀ - и/сек. –	Z ₀ , CM	A
Каспийское море	2,71	3,0	5,5	3,3	0,534
Аральское море	2,55	3,6	3,3	1,7	0,497
оз. Севан	-		_	1,2	0,470

Переход от наблюденной на Каспии абсолютной влажности воздуха е 600 к требуемой формулою е 200 был произведен по нижеследующей зависимости, выведенной по данным серийных градиентных наблюдений Кузьмина на Каспийском море для условий установивщегося процесса переноса водяных паров от поверхности или снизу вверх (основной тип испарения):

$$\frac{e_z}{e_{z00}} = 1 - 0.115 \text{ lg} \frac{z}{200}$$
 (15),

где e_z — абсолютная влажность в мм на высоте z [см] от поверхности воды.

На Аральском море, где градиентных наблюдений над абсолютной влажностью не велось, а высота точки наблюдений (300 см) мало отличается от требуемой формулою, переход произведен приближенно по аналогии с соответствующими данными по Севану и Каспию.

Приведение скорости ветра к высоте 900 см было произведено без больших погрешностей с помощью табл. 6, составленной по данным С. И. Руденко, обработавшим наблюдения над профилем ветра на Каспии и ряде других водоемов.

Таблица 6. Изменение скорости ветра над водной поверхностью с высотой (в долях от скорости ветра на высоте 900 см)

Высота в см	600	700	800	900	1000	1100
Скорость в долях	0,945	0,97	0,98	1,00	1,01	1,025

Вычисленные по формуле (13) месячные, а по ним и годовые суммы испарения с поверхности оз. Севан, Каспийского и Аральского морей, как видно из табл. 7, почти в точности совпадают с величинами испарения, определенными для Севана по формуле Давыдова, и для двух остальных водоемов—по водному балансу.

Таблица 7

Водоем	Метод расчета	Испарение, см	Метод расчета	Испарение, <i>см</i>
оз. Севан	Формула Давыдова	85	Формула(13)	85
Каспийское море	водный баланс	99		98
Аральское море		93		92

Из вышесказанного следует, что эмпирические формулы двухчленного вида с постоянным коэфицентом А применимы для расчета испарения лишь в тех условиях, для которых они выведены, а пользование ими в иных условиях, при значительных колебаниях этого коэфициента (в рассматриваемых случаях от 0,47 до 0,53), может привести к существенным ошибкам. Удовлетворительные результаты, получившиеся в свое время для Каспия и Арала [2,7] при пользования, например, известной формулой Мейера-Тихомирова, объясняются чистой случайностью. Действительно, если по формуле (12) подсчитать величину испарения с Каспия и Арала по непосредственно наблюденным данным (табл. 4), то получаются суммы испарения соответственно 96 и 93 см, т. е. близкие к величинам, определенным по водному балансу, а по приведении данных к требуемым формулою высотам, вычисленные величины испарения оказываются сильно заниженными и одинаково равными 87 см.

Что же касается проверки применимости формулы Свердрупа к расчету испарения с поверхности Каспийского и Аральского морей, при условии соблюдения принятых на Севане методов определения основных параметров, то такая проверка могла бы быть произведена только на Каспии, а на Арале, где градиентных наблюдений над влажностью не велось, определить толщину пограничного слоя, принятым на Севане методом, не представляется возможным. Однако, известная устойчивость этого параметра, определенного выше по формуле (8) для Севана ($\Delta z = 0.17$ см), а для Каспия ($\Delta z = 0.18$ см) н Арала (Аz=0,16 см) обратным путем, исходя из известной величины испарения и формулы Свердрупа, позволяет в первом приближении принять значение его постоянным для всех трех водоемов и равным Az=0,17 см, т. е. значению, полученному для Севана. Рассчитанные при указанном допущении годовые суммы испарения с поверхности Каспийского и Аральского морей, после предварительного получения месячных величин испарения, приведены в табл. 8.

Годовые суммы испарения, см

Таблица 8

	По формуле Свердрува	По водному балансу	Отклонения в ⁰ / ₀
Каспийское море	103	99	+4,0
Аральское море	89	93	-4,3

Как видно из таблицы, отклонения вычисленных по формуле Свердрупа величин испарения от определенных по водному балансу в общем невелики и заключаются в пределах $\pm 4^{\circ}/_{\circ}$. Таким образом формулу Свердрупа с постоянным значением параметра $\Delta z = 0.17$ см можно считать практически приемлемой для расчета испарения с поверхности всех трех рассматриваемых водоемов.

Наличие общих формул испарения достаточно хорошо удовлетворяющих данным всех трех водоемов—Каспийского и Аральского морей и оз. Севан, является существенной гарантией того, что найденные выше величины испарения с поверхности озера Севан близки к действительным. Какие же данные следует принять окончательно для расчета? Результат расчета испарения с поверхности озера Севан по формуле Свердрупа (табл. 3) как в среднем за период, так и за отдельные годы, обнаруживает наилучшее совпадение со средним из всех трех принятых способов расчета—по формулам Давыдова и Свердрупа и по водному балансу, поэтому формула Свердрупа и принимается нами для дальнейших расчетов, как дающая наиболее вероятное значение искомой величины.

Поставив основной задачей настоящего расчета водного баланса озера самостоятельное определение каждого из его элементов, для определения величин испарения за последующие 1931—45 г. г. необходимо было теми или иными путями восстановить значения основных гидрометеорологических факторов, его обусловливающих—температуры поверхности воды, абсолютной влажности воздуха и скорости ветра, т. к. соответствующих наблюдений непосредственно на акватории озера в эти годы не велось.

Температура поверхности воды была восстановлена приближенно по графику, связывающему месячные значения температуры по-

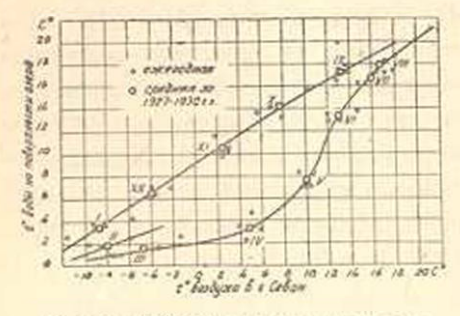


Рис. 3. График связи между температурою воды на поверхности озера Севан и температурою воздуха в г. Севаи.

верхности воды с температурой воздуха в г. Севан, построенному по данным 1927—30 г.г. (рис. 3).

Абсолютная влажность над озером получена как средняя из ее значений, определенных по графикам зависимости абсолютной влажности над озером с абсолютной влажностью на метеорологических станциях в г. Севан и на о-ве Севан (рис. 4 и 5).

Скорость ветра рассчитана по графику, связывающему средние показания четырех действовавших

в 1931—45 г. г. метстанций (о-в Севан, Шоржа, Мартуни и Басар-

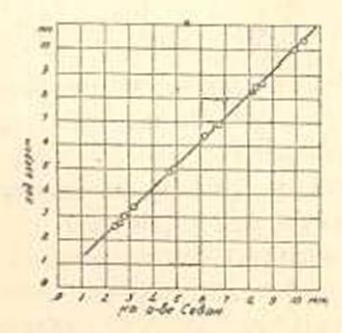


Рис. 4. График связи абсолютной влажности воздуха надозером Севан и на о-ве Севан.

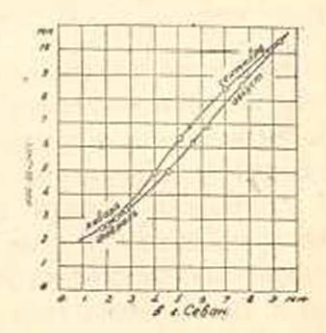


Рис. 5. График связи абсолютной влажности воздуха над озером Севан и в г. Севан.

гечар-Мазра) со средними скоростями пяти станций (о-в Севан, Норадуз, Шоржа, Мартуни и Басаргечар), по которым определялась скорость ветра в 1927—30 г. г. (рис. 6).

Результаты подсчета в виде среднях за весь период значений указанных элементов, вместе со средними их значениями за период 1927—30 г.г., приводятся в табл. 9. Здесь же приводятся вычисленные по температуре поверхности воды, максимальные упругости пара и значения разностей упругости пара над озером.

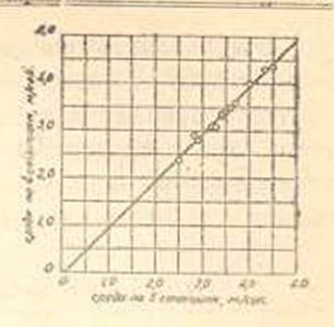


Рис. 6. График связи средних екоростей ветра по 4-м станциям (о-в Севан, Шоржа, Мартуни и Басаргечар) и по 5 станциям (те же плюс Норадуа).

Таблица 9

		Гид	громет	reopo.	огиче	ские	факто	ph ud	спаре	пия		1914 17	
	1	11	111	IV	V	V	VII	VIII	IX	X	X1	XII	Год
	Lin		Team	ерату	ра во	ды на	пове	рхнос	TH 03	epa, ii	3		
27-10	3,4	1.8	1,5	3,3	7,6	13.2	16,8	17,9	17,2	14,2	10.5	6,4	9,5
1927-45	3,6	2.1	1,5	2,9	6,8	12,5	16,8	18,2	16,9	14,0	10.0	5,8	9;3
			Макс	нмал	ная з	пруго	сть в	одяно	го пар	a, acu			
1927-30	5,8	5,2	5,1	5,8	7,8	1154	14.3	15,4	14.7	12,2	9.6	7,2	9,6
1927-45	5,0	5,3	5,1	5.7	7.4	10,9	14.4	15,7	14,5	11,9	9,2	7.0	9,4
						жиос							
			TI	SEE HOLE KEE		(HB B1					Cooper		
1927-30	2,6	2.8	3,3	5,0	6,9	8,7	10,4	10,0	8,5	6,5	5,0	3,4	6,1
192745	2,7	2,9	3,2	4,7	6,5	8,5	10,5	10,2	8,6	6,4	4,8	3,3	6,0
		Ска	орости	вет	ания	озеро	351, (0)	сек. (ид вы	соте	9 м)		
1927-30	3,4		CALL STATE									4,3	3,5
1927—45	MINESCOVI	HEOT.	1110 - 0										
											- V		
See an						стей						9.0	2.0
1927—30	I Ky	1000			1	1		1000000	100000	1	N. 1991		Trans.
1927-45	3,2	2,5	1,9	1,0	0,9	2,4	3,9	5.5	5,9	5,6	4,5	3,7	3.4
Kaic	RHTH	1 183	aroil	Tab	HIIII	ана	пони	я осн	овны	x da	KTOE	OB.	обус-

Как видно из этой таблицы, значения основных факторов, обусловливлющих испарение—разностей упругости пара над озером и скоростей ветра за оба сравниваемых периода, очень близки и, следовательно, рассчитанные по пим величины испарения за оба периода должны быть примерно одинаковы. Восстановить значения основных гидрометеорологических элементов за 1925—26 г. г. не представилось возможным за отсутствием соответствующих данных наблюдений, и величины испарения за эти годы были определены по водному балансу. Результаты подсчета испарения по формуле Свердрупа (исключая 1925—26 г.г.) в виде годовых сумм за весь период 1925—45 г.г. приведены в табл. 10.

Таблица 10 Годовые суммы испарения с поверхности озера Севан, см

Годы	Испарение	Годы	Испарение	Годы	Испарение	Годы	Испарение
1925	93	1930	94	1935	74	1940	80
1926	98	1931	86	1936	74	1941	93
1927	80	1932	83	1937	68	1942	86
1928	74	1933	79	1938	81	1943	83
1929	83	1934	82	1939	84	1944	84
						1945	79
						Среди.	83

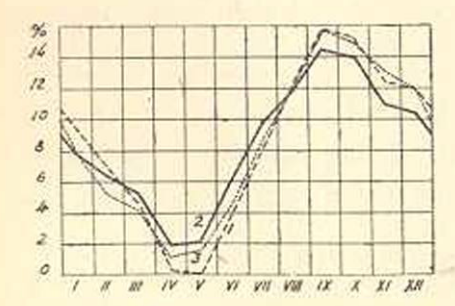


Рис. 7. Годовой ход испарения с поверхности оз. Ссван (1—по формуле Давыдова, 2—по формуле Свердрупа 3—по водному балансу).

Средняя за 21 год величина испарения с поверхности озера Севан определилась в 83 см. Наибольшее испарение (98 см) наблюдалось в 1926 г. и наименьшее (68 см)—в 1937 г.

Распределение годовой суммы испарения по месяцам, вычисленное различными способами, в среднем за период 1927—30 г. г., представлено в табл. 11 и изображено на графике (рис. 7).

Таблица 11 Месячные суммы испарения с поверхности озера Севан

Метод расчета	п	11	111	IV	V	VI	VII	VIII	XI	X	XI	XII	Год
		В	мил,	лиме	трах	слоя	ł	- 20			les est		
По ф-ле Давыдова	80	58	38	2	-1	32	67	104	135	129	105	101	850
По ф-ле Свердрупа	64	51	42	16	17	50	80	98	120	115	90	85	828
по водному балансу	64	42	34	10	13	37	71	97	:30	123	108	99	828
	Вп	роце	ентах	OT	годов	ой с	умм	ы					
По ф-ле Давыдова	9,4	6,8	4,5	0,2	0,1	3,8	7,9	12,2	15,8	15,2	12,4	11,9	100
По ф-ле Свердрупа	7.7	6,2	5,1	1,9	2,1	6,0	9,7	11,8	14,5	13,9	10,8	10,3	100
по волному балансу	7.7	5.1	4.1	1.1	1.6	4.4	8.6	11.8	15.7	14.9	13.0	12.0	100

Все три способа подсчета, как видно из табл. 11 и рис. 7, дают достаточно согласный годовой ход испарения с минимумом в апреле—мае и максимумом в сентябре—октябре.

В качестве наиболее вероятного годового хода испарения с поверхности озера Севан принимаем средний из всех трех способов подсчета (табл. 12).

Таблица 12

	1	11	111	1V	V	VI	VII	VIII	1X	X	XI	XII	Год
0/00	8,3	6,0	476	1,1	1,2	4,7	8,7	12,0	15,3	14,7	12,0	11,4	100
n acae	69	50	38	9	10	39	72	99	127	122	99	94	82

Хотя приведенный выше годовой ход испарения с поверхности озера выведен всего за четыре года, но его все же можно считать типичным, так как значения основных гидрометеорологических факторов, обусловливающих величину испарения за эти четыре года, как видно из табл. 9, близки к их значениям за более длительный ряд 1927—45 г.г.

Поступило 20 IV 1949.

Водно-Энергетический Институт Академии Наук Армянской ССР

ANTEPATYPA

- Лавидов В. К.—Испарение с поверхности оз. Севан. Мат. по исследованию оз. Севан и его бассейна, ч. П. вып. 2. Ленинград, 1935.
- Давыдов В. К.—Испарение с поверхности Каспийского моря. Тр. КАСП, вып. XII, Москва—Ленинград, 1941.
- Кузьмин П. П.—О метеорологических условиях теплообмена между морем и прилегающим слоем воздуха. Метеорология и гидрология, № 4, 1946, Ленинград.
- Андреннов В. Г.—Ветровая волна озеровидных водоемов. Изв. НИИГ. т. XXV, Ленинград, 1939.
- Кузьмин П. П.—Теплоотдача моря в воздух путем испарения и конвекции. ДАН СССР, повая серия, т. XXI, № 9, 1938.
- Зайков Б. Д.—Водный баланс Каспийского моря. Тр. КАСП, вып. XII, Москва— Ленинград, 1941.
- Зайков Б. Д.—Современный и будущий водный баланс Аральского моря. Тр. НИУ ГУГМС СССР, сер. IV., вып. 39, Ленинград, 1946.

F. 7. 243414

ԳՈԼՈՐՇԻԱՑՈՒՄԸ ՍԵՎԱՆԱ LՃԻ ՄԱԿԵՐԵՎՈՒՅԲԻՑ

Սևանա լճի ազատ մակերևույթի վրա հիդրոմետևորոլոգիական հատուկ դիասդություններ կատարվել են 1927—30 թվերի ընթացրում (ադյուսակ 9)։ Այդ ժամանակամիջոցի համար լճի մակերևույթից դոլորչիացման բանակը որոշվել է Վ. Կ. Դավիդովի էմ պիրիկ-րանաձևով (րանաձև 1), որը դուրս է ընթված լողացող դոլորչիացուցիչի վրա կատարված դիտոցությունների նիման վրա և Ավերդրուտի տեսական բանաձևով (բանաձև 13)։ Այդ երկու ոտե միմակակարակ դղեմակերա վկամագ մաերբակչդորե ծակրթականակ անկաման մանաբաղերոր հակասարումում ստարված դորթյական մականի ան (ադյուսակներ 3 և 11, նկար 7)։ Ինչպես հաջողվել է ցույց տալ, Վ. Կ. Գավիգովի բանաձևը, փոփոխական և գործակցով (բանաձևեր 13 և 14) և Սվերդրուպի ըանաձևը սահմանամերձ չերտի հաստության հաստատուն windlesed ($\Delta z = 0.17$ nd) productions with afron the approach grapp through the մեծությունը ոչ միայն Սևանտ լճի մակերևույնից, այլ և ուրիչ ջրային ավագաններից, ինչպես օր. Կասպից և Արայյան ծովերը։ Վերջինների մակերևույնից գոլորչիացման ջանակը բավականին ձիշտ է որոշվում ջրային րալանսով։ Այդ հանդաժանքը կարող է հրաշխիք ծառայել, որ Սևանա լճի համար որոշված գոլորջիացման քանակը մոտ է իրականին։ Հաջորդ տարիանթի ընվացրում (1931-45 թվ.) լճի ազատ մակերևույթի վրա հիդրոմետևորոլոգիական գիտողություններ չեն կատարվեր։ Այդ ժամանակամիջոցի համար դոլորչիացման հիմնական ֆակտորները՝ քրի մակերեսի քերմաստիճանը, բացարձակ խոնավությունը և թամու արադությունը որոշկու համար կազմված են գրաֆիկներ, որոնք տայիս են լեի վրայի վերոքիչյալ արժերների կապը առափնյա կայաններում դիաված արժերների հետ (նկար 3-6), որտեղ անընդնատ դիտողություններ են կատարվել։ Այդպիսով 1931-45 թվերի գոլորչիացումը որոշված է դրանիկորեն։ Հիդրոմետեորոլոգիական համապատասխան ավյայների բացակայության շնորհիվ 1925-26 թվերի գոլորչիացման մեծությունը վերը նշված միջոցով ճնարավոր չէր հաշվել. այդ պատճառով ընդունված է ջրային բալանսի հավասարումից ստացված մեծությունը 21 տարվա համար (1925-ից մինչև 1945 թվ.). Սևանա լճի մակերևույթից գոլորչիացման միջին մեծությունն ստացվել է 85 ամ, աժենաժեծը (98 ամ) դիտվել է 1926 թվին, իսկ աժետափութրը (68 ud) - 1937 թվին (աղյուսակներ 10 և 12)։

Зра-шир., рб. в штр. артир. II, № 2, 1949 Физ.-мат., естеств. и тех. науки

гидрология

А. Н. Важнов и Г. О. Кирищян

К вопросу рационализации сети и наблюдений гидрометеорологических станций на территории Армянской ССР

Общее направление гидрометеорологических исследований

Плановое развитие народного хозяйства Армении связано с наиболее эффективным использованием водных ресурсов, которыми относительно бедна территория республики.

Основными отраслями народного хозяйства, прежде всего заинтересованными в точном учете и рациональном использовании стока рек Армении, являются сельское хозяйство и энергетика. Последние ставят следующие задачи перед гидрометеорологической службой:

- правидьный учет естественного стока рек, как в суммарном выражении для отдельных речных бассейнов или гидрологических районов, так и распределения его в течение года, особенно в вегетационный период;
- надежный прогноз распределения стока с максимально возможной заблаговременностью.

Строительство ирригационных систем, гидроэлектростанций, в том числе и станций сельской энергетики, проектирование мостов и дорожных сооружений, а также их эксплоатация, выдвигают ряд дополнительных требований к гидрометеорологии: характеристика размеров и повторяемости катастрофических паводков, данные о минимальных расходах и их устойчивости в течение года, изучение зимних ледовых явдений на реках и, в частности, шугообразования, изучение стока наносов и русловых процессов, исследование испарения с водной поверхности и с почвы, и ряд других.

Следует отметить гакже необходимость изучения специфического для горных районов явления селеобразования и связанных с ним катастрофических наводнений. Исследование генезиса этого явления и динамики движения селевых масс необходимо для разработки методики его предсказания, проектирования защитных противоселевых сооружений и правильного планирования и строительства населенных пунктов, мостов и различных гидротехнических сооружений.

Изучение климата и особенностей атмосферных явлений на территории Армянской ССР, кроме перечисленных выше общих с гидрологией задач, имеет и самостоятельные задачи по обслуживанию авиации, сельского хозяйства и энергетики сведениями о текущем Известия II, 2—7 метеорологическом режиме и прогнозами ряда метеорологических злементов.

Разрешение перечисленных выше задач возможно лишь в результате совместной работы метеорологов и гидрологов, на базе правильной организации комплекса гидрометеорологических наблюдений.

Дальнейшее развитие сети гидрометеорологических станций и, в частности, опорной сети должно исходить не только из существующих в данное время потребностей, но и из перспектив дальнейшего развития народного хозяйства и научных исследований в области гидрометеорологии.

Изучение режима малых рек и необходимость предсказания их водоносности требуют развития сети наблюдательских, станций на водосборах малых рек и притоков, с площадями в несколько сот и даже в несколько десятков кв. км. Сеть гидрометрических створов должна постепенно распространяться на притоки все с меньшими водосборами.

Такая тенденция к уменьшению изучаемых водосборных площадей, проявляющаяся на всей территории Союза, в условиях маловодной речной сети Армении, выражена особенно отчетливо.

При интенсивном водозаборе на орошение в летний период участки среднего и нижнего течений многих рек мелеют или вовсе остаются без воды. Учет естественного стока в этих условиях возможен только в результате гидрометрических работ на верхних участках и на притоках.

В свою очередь строительство микро—ГЭС также нуждается в гидрологических расчетах и прогнозах по малым рекам, которые могут осуществляться лишь в результате изучения процессов формирования стока в малых водосборах.

Таким образом, при планировании сети наблюдательских станций необходимость изучения малых рек должна рассматриваться не как временное явление, а как состояние устойчивое в перспективе многих лет. При сгущении сети гидрометеорологических станций, особенно в горных условиях, нельзя руководствоваться общими типовыми расстояниями между пунктами.

Сложная орография территории Армении обусловливает большое разнообразие гидрометеорологических условий на сравнительно небольшой теоритории.

Пересеченность рельефа обусловливает различные климатические зоны как по вертикали, так и по горизонтали. Благодаря этому нередко гидрометеорологические условия смежных районов, расположенных даже на одних и тех же высотах, различны.

Разнообразне речного стока по территории, кроме факторов климатических, определяется также и геологическим строением местности. Преобладание трещиноватых, сильно фильтрующих пород или, наоборот, слабопроницаемого покрова обусловливает то или иное распределение атмосферных осадков между поверхностным и подземным стоком. В результате этого имеем большое различие в модулях поверхностного стока даже на площади в несколько десятков кв. км.

Наряду с геологией следует учитывать также и характер растительного покрова, в свою очередь влияющего на режим стока.

Эти обстоятельства делают необходимым очень тщательное рассмотрение вопроса рационального размещения сети гидрометеорологических станций.

Известно, что рационально размещенная сеть станций должна обеспечить возможность интерполяции и экстраполяции результатов фактических наблюдений с заданной точностью*. Необходимо выбрать то минимальное расстояние между станциями, уменьшение которого не могло бы внести существенных уточнений в характеристику гидрометеорологических условий.

Параллельно с расширением сети должно итти и совершенствование техники и повышение качества самих наблюдений. В настоящее время как состав, так и качество наблюдений на гидрометеорологических станциях отстают от требований, предъявляемых к ним народным хозяйством и современным уровнем науки.

К основным недостаткам нужно отнести:

- а) недостаточную детализацию хода уровней воды при наличии только наблюдений в 2—3 срока по водомерной рейке и, как следствие, неточность вычисления расходов, особенно в период весенне-летних паводков;
- б) недостаточную густоту пунктов наблюдений за осадками и отсутствие необходимого количества самописцев осадков;
- в) неудовлетворительное состояние наблюдений за снежным покровом (отсутстствие наблюдений в верхних зонах горных хребтов);
- г) неудовлетворительное состояние наблюдений за зимними ледовыми явлениями, в частности—за шугой;
- д) неудовлетворительное состояние наблюдений за влекомыми наносами;
- е) на некоторых метеостанциях, особенно на постах, недостаточно тщательно производятся визуальные наблюдения. Это в первую очередь относится к определению формы и высоты облаков, а также характера осадков.

Развитие метеорологических наблюдений

Вопрос рационального размещения метеорологических станций тщательно изучается научно-исследовательскими учреждениями Главного Управления Гидрометеорологической Службы при Совете Ми-

Имеется в виду приближенная экстраноляция гидрометеорологических данных при одновременном использовании ряда однородных зависимостей.

нистров СССР. В трудах Главной Геофизической Обсерватории по данному вопросу опубликован ряд исследований.

В. П. Курская [1], изучая вопрос размещения сети дождемерных пунктов, приходит к заключению, что при расстояниях между дождемерными станциями, равных 12 км, ошибка интерполяции в равнинных условиях будет равна 16—18% от месячной суммы осадков.

В горной местности эта ошибка должна быть значительно больше

Г. Л. Гакен [2], исследуя вопрос размещения станций для учета гроз, приходит к выводу, что такое расстояние между пунктами горной части Крыма равно около 6 км.

Е. И. Абрамова и О. А. Дроздов [3] для учёта снежного покрова в Северном Казахстане рекомендуют расстояние между станциями порядка 10 км. Авторы не касаются вопроса густоты снегомерной сети станций в горных местностях, считая, что там условия еще более сложны и требуются специальные исследования.

Приведенные выше и ряд других работ указывает на насущную необходимость развития сети станций там, где она недостаточно густа и не отвечает тем требованиям, которые предъявляются гидрометеорологической службе.

Метеорологические станции и посты, функционирующие в настоящее время на территории Армении, расположены преимущественно в долинах и предгорьях и не освещают верхние зоны горных хребтов. Между тем установлено, что в республике наибольшее количество осадков выпадает в зоне выше 2—2,5 км над уровнем моря. Поэтому организация дополнительных пунктов наблюдений необходима в высокогорной зоне, где сеть особенно редка. Следует отметить, что существующие станции, благодаря пересеченности рельефа, нередко освещают районы очень малым радиусом. Эти обстоятельства очень затрудняют интерполяцию метеорологических элементов по территории. Достаточно указать, что по существующим данным наблюдений нельзя составить более или менее точную карту распределения осадков, так как интерполяция и экстраполяция данных, особенно по высоте, может привести к большим погрешностям.

Из всего изложенного очевидно, что в условиях сложного рельефа прежде всего необходимо открытие высокогорных станций с полной программой наблюдений, оснащенных самопишущими приборами.

Высокогорные станции необходимо открыть в тех районах, которые в первую очередь подвержены влиянию вторжений свежих воздушных масс.

При размещении высокогорных станций следует учесть и возможность получения связей данных этих станций с данными станций, расположенных ниже по склону и на прилегающей равнине.

Гидрометеорологическая служба Армении в этом направлении сделала значительный шаг, включив в проект развития сети такие высокогорные станции, как станция на горе Гогаран (Аглаган) в западной части Базумского (Безобдальского) хребта и станция на горе Ерагагат (Уч-Тапалар) в центральной части Гегамского (Агмаганского) хребта.

Однако, в этом проекте не учтено открытие станций на ряде горных хребтов, представляющих не меньший интерес при изучении гидрометеорологических условий республики.

Севанский (Шах-Дагский) хребет, простирающийся вдоль восточной части бассейна Севан, метеорологически совершенно не освещен. Для характеристики водного баланса озера, уточнения карт осадков и стока, крайне необходимо открытие высокогорной станции на этом хребте.

Поскольку в юго-восточной части бассейна озера Севан наблюдается своеобразный режим ветра, в изучении которого в целях прогноза погоды заинтересована и авнация, целесообразно открыть станцию на горе Гинал в южной оконечности Севанского кребта. В совокупности с нижерасположенной станцией Мазра, эта станция позволит получить карактеристику изменения метеорологических элементов по высоте.

В южной половине Армении сеть станций значительно реже, чем в остальной части республики. Существующие станции расположены в предгорьях. Не говоря уже о невозможности изучения зонального распределения метеорологических элементов, здесь трудно знализировать даже процессы, происходящие в приземном слое воздуха.

Из всего изложенного явствует, что в южной части Армении крайне необходимо открытие высокогорных станций, причем в первую очередь в районах с очень редкой сетью. Карабахское нагорые метеорологически совершенно не освещено. Поэтому одну станцию целесообразно открыть на горной вершине Гумарчах. Вторую станцию желательно открыть значительно южнее первой, на горе Арамазд Баргушатского хребта.

Для изучения селеобразования в Армении в бассейне Гедара (район города Ереван), по решению ГУГМС, организуется стоковоселевая станция. На первом этапе организации этой станции целесообразно открыть метеорологическую станцию в Дзорахпюре и пост
Гямрез перевести в разряд станции, снабдив его самописцем осадков. Наличие этих двух станций и высокогорной станции Ерагагат
позволит изучить зональное распределение метеорологических элементов и дать детальную картину осадков, вызывающих паводки в
русле реки Гедар.

Решение ряда гидрологических задач связано с обобщением иетеорологических элементов. Так, накопление наблюдений за ливнями, особенно в северных районах республики, позволит осуществить краткосрочные прогнозы паводков уже в ближайшие 2—3 года-Опыт разработки генетического метода М. А. Великанова для реки Касах (работа ВЭнИ 1947 г.) показал, что краткосрочный прогноз иаводков практически осуществим при условии достаточной густоты пунктов наблюдений за осадками.

Прогнозы паводков особенно необходимы для рек Дзорагет и Раздан (Занга), в связи с энергетическим их использованием. Поэтому в дополнение к существующим метеорологическим станциям весьма желательно открытие станции Чомча в верховье Дзорагет и перевод метеорологического поста Мисхана в бассейне Раздан в разряд станции.

Известно, что в развитии турбулентных и конвективных процессов важную роль играет приращение силы ветра с высотой. Это обстоятельство еще ярче выражено при условии сложной орографии местности.

На такой сильно пересеченной местности, как территория Армении, необходимо наличие густой сети шаропилотных наблюдений, осебенно для наблюдений над ветром в слое 2—3 км над поверхностью земли. Наблюдения особо важно вести в юго-западном предгорье массива Арагац, в пункте Алагез—ж. д.

При западных и юго-западных вторжениях воздушных масс условия погоды на юго-западном склоне горы Арагац характерны для аналогичных склонов других горных хребтов Армении.

Для изучения ветра над бассейном озера Севан шаропилотные иаблюдения следует организовать в районе Яных—Мартуни. Открытие этого пункта очень важно и для работы авиации.

На территории республики шаропилотные наблюдения ведутся с одного пункта. В основу метода таких наблюдений положено предположение о постоянстве вертикальной скорости самого шара. Между тем известно, что на скорость шара влияет ряд факторов, обусловливающих турбулентность атмосферы.

По этому вопросу интересную работу проделала М. В. Заварина [4]. Анализируя результаты шаропилотных наблюдений в Тбилиси, автор приходит к выводу, что в районах со сложным рельефом местности нельзя пользоваться однопунктными наблюдениями над ветром, так как получаются очень сомнительные данные о скорости и направлении ветра.

Наряду с вопросами рационального размещения станций необходимо обратить серьезное внимание на оснащение сети всеми необходимыми приборами.

Наблюдения за осадками при помощи дождемеров и за снежным покровом по снегомерной рейке не дают требуемой точности и детализации их распределения во времени и по территории. Пятидневные снегосъемки, проводимые опять-таки в районе станций, недостаточны для гидрометеорологических целей.

Для изучения распределения жидких осадков во времени, необходимого для разработки методики прогнозов, требуется развитие сети самописцев осадков. В условиях горного рельефа Армении, при значительной роли осадков ливневого характера с большой вариацией интенсивности, потребность в самописцах значительно больше, чем в равнинных условиях Европейской территория Союза. Между тем в настоящее время насчитывается всего 3—4 действующих плювиографа, размещенных, к тому же, до известной степени случайно.

Установка дополнительных самописцев осадков требуется прежде всего на всех действующих и намечаемых к открытию высокогорных станциях.

При сгущении сети самописцев необходимо придерживаться принципа кустования пунктов. Наибольшего сгущения следует добиваться в северных районах—в бассейнах рек Дзорагет, Памбак и Акстев (Акстафинка) с ярко выраженным режимом летних паводков.

Самописцы должны быть установлены прежде всего в следую-

щих пунктах:

- а) басс: р. р. Дебед и Акстев-Калинино, Чомча, Гогаран, Базумский перевал, Спитак-поселок (Амамлу), Спитакский перевал, Лермонтово и Семеновка;
 - 6) басс. р. Раздан-Мисхана, Ерагагат н Гямрез;

в) басс. р. Ахурян-Шурабад и Ленинакан;

- г) склоны Арагаца-Апаран, Гарновит, В. Талин и Алагез-ж. д.;
- д) южные и юго-восточные районы—Джермук, Гумарчах, Сисиан, Горис, Арамазд и Личк;

е) басс. оз. Севан-Яных, Мазра и гора Гинал.

В дополнение к сети метеорологических станций желательно также развертывание сети суммарных дождемеров в горных районах. Суммарные дождемеры должны быть запроектированы поперечными разрезами через основные горные хребты.

Опыт использования суммарных дождемеров в горах Средней Азии показал, что они вполне применимы до высоты 4000 м. По данным Узбекского УГМС, корреляция показаний суммарных дождемеров, установленных в районе Алайского и Заалайского хребтов в верхнем течении р. Вахш на высоте 3—4 тысяч м, с показаниями обычных дождемеров и со снегосъемками дала хорошие результаты.

Установку суммарных дождемеров желательно осуществить на следующих хребтах: Мокрые горы, Базумский, Памбакский, Гегамский, Варденисский, —(Южно-Гокчинский) и Зангезурский (Конгур-Алангезский).

Пункты установки должны быть по возможности ближе к населенным пунктам и располагаться близ дорог и троп.

Наблюдения за уровнями и расходами рек

На малых реках горного типа уровень воды подвержен значительным колебаниям не только ото дня ко дню, но и в течение одних суток. Эти колебания в период весеннего половодья связаны с неравномерным поступлением талых вод в течение суток, с одной стороны, и с образованием дождевых паводков, накладывающихся на волну половодья,—с другой.

Значительные колебания уровня под влиянием неравномерности снеготаяния отмечены, например, Б. Д. Зайковым на реках Севанского бассейна [5]. В летний период резкие колебания уровня воды связаны с дождевыми паводками.

В настоящее время среднесуточные расходы воды на всех реках Армении вычисляются по уровням трех, а иногда и двух сроков наблюдений по водомерной рейке. Для вычисления характерных и среднесуточных расходов в период половодья и летне-осенних паводков, а также для краткосрочных прогнозов расходов для гидроэлектростанций, трехсрочные наблюдения недостаточны. Водомерные наблюдатели не отмечают внезапных изменений уровня и часто вовсе пропускают значительные дождевые паводки, в результате чего гидрограф искажается и сток в целом несколько занижается.

Это происходит главным образом потому, что дождь начинается чаще всего к вечеру и пики паводков проходят между 20-часовым вечерним и 8-часовым утренним сроками наблюдений (интервал 12 часов).

Так, например, сравнение среднесуточных расходов, вычисленных по реечным и по лимниграфвым уровням для р. Касах у с. Аштарак за лето 1937 г. показало, что ошибки вычислений по срочным уровням в отдельные дни достигают 30 и более процентов, а средняя ошибка для дней с паводками равна 17% от величины расхода.

Еще более показательными являются результаты сравнения максимальных расходов. Ошибка в этом случае иногда даже превышает величину вычисленного расхода.

В результате анализа более чем 120 паводков на реках Ахурян, Касах, Памбак; Дзорагет, Акстев, Гарни, Арпа и Воротан установлено, что средняя длительность подъема летих паводков равна от 6 до 15 часов, а наибольшая—не превосходит 18 часов. Для реки Касах, в частности, средняя продолжительность подъема уровня равна 9 часам (интервал от выпадения осадков до пика паводка, образованного обособленным дождем), а пределы колебания времени подъема—от 5 до 13 часов. Таким образом в течение 12 часов ночного интервала между наблюдениями может пройти преобладающая часть объема отдельных паводков и наблюдатель в 8 часов утрафиксирует уровень где-то на глубоком спаде.

Очевидно, что при таких условиях и на других реках Армении мы будем иметь ошибки вычисленных среднесуточных и максимальных расходов периода паводков, аналогичные приведенным выше для р. Касах,

Отсюда становится понятным, что при существующем состоянии наблюдений за уровнями разработка методов краткосрочных прогнозов паводков или предупреждений о паводках практически невозможна. Это относится не только к эмпирическим методам, но и в особенности к генетическим, теоретическая основа которых в настоящее время уже достаточно разработана. Следовательно, при существующем состоянии наблюдений необходимые народному хозяйству прогнозы по таким рекам, как Дзорагет, Раздан и Ахурян, не могут быть даны с требуемой точностью.

Недостаточная точность вычисления среднесуточных расходов отражается также и на качестве информаций заинтересованным ведомствам, ведущим учет суточного водопотребления, как, например, Арменэнерго. Поэтому наряду с развитием сети метеорологических наблюдений и установкой самописцев осадков необходимо оборудование гидрометрических створов в основных речных бассейнах также самописцами уровня воды.

Бесперебойная работа самописцев уровня должна быть обеспечена в первую очередь на основных створах в бассейне Раздан для изучения её режима в условиях искусственного регулирования.

К первоочередным работам следует отнести также установку самописцев на реках с хорошо выраженным дождевым питанием и на реках с весениим половодьем от снеготаяния—для выяснения суточного хода стока. К таковым относятся:

1. p.	Гедар	пункт	c.	Аван
2. p.	. Дзорагет		C.	Н. р. Гергерки
3. p.	. Памбак		CT.	Колагеран
4. p.	. Акстев	70	c.	Иджеван
5. p.	Ахурян		C.	Капс
6. p.	Мармарик (Маман)	4	C.	Бужакан (Бабакиши)
7. p.	Арпа	**	c.	Микоян
8. p.	Воротан	,,	c.	Борисовка
9. p.	Вохчи (Охчи)		г.	Кафан
Ю. р.	. Kacax		C.	Кечут
11. p.	Дебед			ДзораГЭС

Наблюдения за селеобразованием

Селевые явления в различной степени имеют место в ряде районов Армении.

К наиболее значительным селевым бассейнам относятся: Ереванский куст, селав Мастара на западных склонах Арагаца, сели бассейна р. Намбак, Ленинаканское плато и склоны Зангезурского кребта (реки Мегри и Ордубад).

Наиболее важным районом с точки зрения народного хозяйства является Ереванский район. Именно здесь и целесообразно сосредоточить селевые наблюдения и исследования.

До самых последних лет Гедарский селевой бассейн был совершенно не освещен в гидрометеорологическом отношенин. После прохода катастрофического селя 25 мая 1946 г. очень трудно было дать удовлетворительную характеристику режима обусловивших его осадков и определить размеры самого паводка в руслах, так как в пределах бассейна не имелось ни метеорологических станций, ни гидрометрических постов. Все действовавшие до того момента метеостанции—Ереван, Гарни, Фонтан, Егвард и пост Куйли находятся за пределами бассейна и не могли быть непосредственно использованы в гидрологических расчетах. Единственный в бассейне гидрометрический пост, функционировавший ранее в черте г. Еревана, был закрыт еще в 1935 году.

Для организации селевых наблюдений в Ереванском районе необходимо форсировать осуществление стоковоселевой станции в бассейне Гедара с тем, чтобы уже в 1949 году закончить подготовительные работы, а с 1950 г. приступить к развертыванию станции.

Не останавливаясь подробно на программе работ этой станции, что может служить предметом отдельной статьи, отметим ляшь основное направление мероприятий.

Стоково-селевая станция в бассейне реки Гедар должна предусматривать:

- а) организацию 3—4 гидрометрических створов с детальными наблюдениями над жидким и твердым стоком оборудованных капитальными бетонными измерительными сооружениями;
- б) организацию ливнемерного куста в бассейне Гедар—Джрвеж в составе 20 дождемерных пунктов, из которых около половины саморегистрирующие;
- в) создание службы предупреждений, для чего все пункты гидрологических и дождемерных наблюдений должны иметь прямую телефонную связь с центром в Ереване, а наиболее ответственные из них—оборудованы автоматическими радиоустановками.

При установке самописцев уровня (расходов) последние должны быть приурочены к уже существующим плотинам в руслах или к участкам с неразмываемым ложем. Там, где нет указанных условий, самописцы следует устанавливать только в комбинации с контрольными сечениями донного типа.

В первую очередь самописец должен быть установлен на недавно открытом посту на реке Гедар у с. Аван.

Наряду со специальными наблюдениями в селевых руслах совершенно необходима также поставовка наблюдений за твердым стоком горных рек.

Если измерение расходов взвешенных навосов и отбор проб на мутность в настоящее время производится в достаточном количестве (всего в 17 гидрометрических створах), то учет донного влечения производится неудовлетворительно. Это происходит от того, что применяемый в двух пунктах—р. Кявар—с. Норадуз и р. Раздан— Гегамаван батометр системы Б. В. Полякова, даже в условиях слабого донного влечения, не дает удовлетворительных результатов, а в условиях влечения крупных наносов и вовсе непригоден.

В настоящее время еще нет апробированной и признанной методики измерения влекомых напосов для горных рек и соответстующей признанной конструкции прибора. Поэтому в настоящее время мы не в состоянии удовлетворять запросы ряда отраслей народного козяйства республики в отношении стока наносов, так как отсутствие количественной оценки донного влечения обесценивает и данные наблюдений за взвешенными износами.

Между тем потребность в оценке твердого стока возрастает с каждым годом, особенно в связи с энергетическим использованием таких рек, как Раздан, Воротан, Дебед и др. Поэтому в программу исследований в области стока наносов в качестве первоочередной темы должна войти тема по разработке методики измерения стока влекомых наносов, причем в первую очередь должен быть испытан прибор ТНИСГЭИ сетчатого типа.

Наблюдения за ледовым режимом

Среди зимних ледовых явлений особое место, с точки зрения народно-хозяйственного значения, занимают явления шугообразования. Ленинаканская, Канакерская и другие гидроэлектростанции ежегодно испытывают серьезные затруднения от шуги и нуждаются в соответствующих прогнозах.

Однако, в настоящее время еще нет достаточного объема наблюдений, необхюдимых для разработки методики прогноза шугообразования. Наблюдения, проводимые водомерными наблюдателями гидрометеорологической службы, не только не содержат сведений о времени появления и исчезновения шуги и о её количестве, но подчас не отмечают и самый факт наличия шуги.

Учитывая отсутствие проверенной методики и инструментария ваблюдений за шугой, а также невозможность массового применения шугомеров, наблюдения в системе гидрометслужбы в настоящее время должны носить массовый визуальный характер.

Наблюдатели на всех без исключения постах должны отмечать ие только наличие шуги, но и её количество в баллах (в процентах покрытия зеркала реки), а также начало и конец шугоходов. Такие наблюдения в основном должны проводиться в обычные сроки водомерных наблюдений и лишь в дни с интенсивным образованием шуги потребуется дополнительный осмотр реки через 1—2 часа. Учитывая, что такого рода наблюдения не потребуют ви дополнительного оборудования, ни дополнительных затрат, они могут быть осуществлены уже в ближайшее время.

Кроме шуги должны отмечаться также и другие ледовые явлевия: забереги, ледоход, ледостав, полыныи, наледи, закранны. В совокупности с данными о шугообразовании указанные сведения позволят полнее характеризовать зимний режим рек. К настоящему времени Водно-Энергетическим Институтом АН Арм, ССР выполнена большая работа по обобщению имевшихся наблюдений за ледообразованием на реках Армении, которая позволяет наметить наиболее рациональные пути дальнейших исследований [5]. На основе этого исследования и может быть выработана инструкция визуальных наблюдений за ледообразованием, учитывающая специфику рек Армеяни.

Кроме указанных визуальных наблюдений, весьма желательно также измерение расхода шуги при помощи шугомеров конструкции ТНИСГЭИ.

Такие наблюдения в первую очередь целесообразно организовать на реках: Ахурян у с. Капс, Мармарик у с. Бужакан и Воротан, в верхнем течении.

Изучение испарения

Изучение испарения с естественных поверхностей является в методологическом отношении одной из наиболее трудных задач гидрометеорологических исследований, не разрешенных в должной мере до настоящего времени.

Между тем целый ряд народно-хозяйственных проблем, как-то учет потерь воды из искусственных водохранилищ, уточнение водного баланса озера Севан и ряд других требуют знания величин годового испарения как с водной поверхности, так и с суши, и, следовательно, нуждаются в постановке соответствующих исследований.

Изучение испарения с водной поверхности в условиях горного рельефа Армении необходимо проводить в разных высотных зонах. Для этого Армянское управление Гидрометслужбы, в соответствия с пожеланием Водно-Энергетического Института АН Арм. ССР и Государственного Гидрологического Института, приступило к организации трех испарительных станций в следующих пунктах: г. Ереван, высота около 910 м, на острове Севан, высота около 1918 м и на высокогорной станции Арагац (Алагез), на высоте 3230 м над уровнем моря.

Станции должны быть оборудованы испарительными бассейнами площадью в 20м² и глубиной 1,5 м.

Кроме того необходима организация пловучей метеорологической станции на оз. Севан для изучения метеорологических условий, в том числе и испарения на открытой поверхности озера.

Что касается наблюдений за испарением с поверхности почвы, то до настоящего времени нет удовлетворительных приборов, которые можно было бы рекомендовать для сети станций УГМС.

В результате специального обследования комиссия ГГИ в 1945 году забраковала все существующие почвенные испарители, как непригодные для массовых наблюдений.

Поэтому организацию таких наблюдений впредь до разработки и апробирования надежных приборов следует признать нецелесообразной.

Наблюдения за режимом родников

Основная цель изучения режима родников и, в частности, их дебита состоит в выявлении возможностей водоснабжения существующих и планируемых населенных пунктов, а также в уточнении водоносности отдельных рек.

Наряду с этим знание дебита наиболее крупных родников сослужит ценную службу при расчете водных ресурсов рек Армении и при построении карт многолетних характеристик речного стока.

На территории Армении зарегистрировано свыше 12000 родвиков. Из указанного числа только около 5%, имеют дебит свыше 10 л/сек. Родников с дебитом свыше 500 л/сек. васчитывается около двух десятков.

Организацию стационарных гидрометрических наблюдений считаем необходимым лишь на наиболее крупных родниках, имеющих большое народно-хозяйственное значение. Таковые можно разбить на две группы. К первой относятся родники, используемые или намечаемые к использованию для водоснабжения крупных объектов республики. К числу их относятся: Крхбулагские (Котайкский район), частично используемые в настоящее время для водоснабжения Еревана, Гюмушские, Арзаканские и Ридамал—Карвансарайские (Ахтинский район), являющиеся резервным источником водоснабжения Еревана и его промышленных предприятий.

Ко второй группе относятся новые источники в бассейне оз. Севан, открывшиеся в результате снижения уровня озера. К числу их относятся: родник "Аслан-Каплан", расположенный к северо-западу от с. Норадуз, родник "Нор-Гельский"—к северо-востоку от с. Цак кар, родник "Бхбхкан", расположенный между селениями Личк и Нерквн Геташен, родник "Цовинарский (Колакранский)" к западу от с. Н. Алучалу и родник "Н. Гедакбулагский"—между селениями Карчахиюр и Цовак.

Наблюдения за колебанием дебита и химизмом этих родников представляют значительный интерес с точки зрения изучения явлений, связанных со спуском озера Севан вообще и в частности—для уточнения водного баланса озера.

На остальных родниках Армении с дебитом свыше 50 л/сек. весьма желательно производство эпизодических замеров, которые позволили бы не только оценить их среднюю мощность, но и пределы колебаний внутри года.

Выводы

В результате тщательного изучения материалов гидрометеорологических наблюдений и размещения сети самих станций установлено, что дальнейшее их развитие должно пойти по пути докомплектования станций недостающими приборами и улучшения качества наблюдений. В первую очередь должна быть развита сеть самописцев для регистрации осадков и уровня воды на реках.

Наряду с этим, существенно необходимым является расширение сетн высокогорных метеорологических станций, которые в совокупности с существующей, преимущественно предгорной, сетью позволят решить основные эадачи, выдвигаемые народным хозяйством Армении, с удовлетворительной полнотой и точностью.

Водно-Энергетический Институт Академии Наук Армянской ССР, Поступило 9 V 1949.

AUTEPATYPA

- В. П. Курская—К вопросу о рациональном размещении метеорологической сети станций III разряда. Тр. ГГО, вып. 4, 1947.
- Г. Л. Гакен—К вопросу о рациональном размещения станций для учета гроз. Тр. ГГО, вып. 4, 1947.
- Е. И. Абрамова и О. А. Дроздов. Рациональные расстояния между стапциями сети, ведущими учет высоты снежного покрова. Тр. ГГО, вып. 4, 1947.
- М. В. Заварина—О точности измерения ветра методом шаропилотных наблюдений с одного пункта. Тр. ГГО, вып. 4, 1948.
- Б. Д. Зайков—Материалы по исследованию оз. Севан и его бассейна, ч. І, вып. 3, 1933.
- С. Я. Вартазаров.—Ледовый режим рек Армении. Изв. АН Арм. ССР (естеств. вауки). № 8, 1946.
- С. Я. Вартазаров.—Методы количественного учета шуги. Метеорология и Гидрология, № 9, 1939.

U. &. Audfind. A. 4. Phrhodjuff

ՀԱՅԱՍՏԱՆԻ ՏԵՐԻՏՈՐԻԱՅԻ ՎՐԱ ՀԻԴՐՈՄԵՏԵՈՐՈԼՈԳԻԱԿԱՆ ԿԱՅԱՆՆԵՐԻ 8ԱՆՑԻ ԵՎ ԴԻՏՈՂՈՒԹՅՈՒՆՆԵՐԻ ՌԱՑԻՈՆԱԼԱՑՄԱՆ ՀԱՐՑԻ ՄԱՍԻՆ

IIII O D O D P II

Հայաստանի ժողովրդական տնտեսությունը յուրաքանչյուր տարի ավելի ու ավելի մեծ պահանջներ է առաջադրում ռեսպուրլիկայի հիդրոմետեորողոգիական ծառայությանը։

Հիդրոժնանորոլոգիական ուսումնասիրություն անհրաժեշտ է լինում կատարել ոչ միայն շրջանների և ջրային մեծ օրնկաների համար ամրողջովին վերցրած, այլ և փոքր տերիտորիաների և չատ փոքր ջրավազան-

wmbpl mumshiftm 4-6 mmpnedi

որ է աշվերագրա ընաթափաչ դրութանանակայի վվաններ այհ ի ւնդյան գիսողադա դականսկիսնոր վքակվենահողա գ ջախ

-տակ աղգ ճորվա վեկորատիահաղժ ժոհով վքավեսիովոգագրակենի, որ բակմեն լատնանիկած մինդառումները հատավորությամա սահմանակի հարարարում ընդ-

ւժրվթղա դակավեսնովադար

ոսժեմ գյալություն արանական արտական արտանան արտանական արտանական արտական mmh Hung adument mas adaggalah bugant nghum danda danggal -ակ ընտորակ հանդականիանում, գառատականապետ կարարի կարարակ հար ասևոխ հուրրրիի երժետ իրաշրը ու սևայի հանգևանուղեւ բատետեկվուղ է -վև արևատակ թունդան դակավակարարական է անդդու դունքուն ավի վքավատվվոտ վդատոտքած որ նվվորվվերով ջախծած շատա բաջարևոչ

Amflydmily oflygolf appliation

արին գտորավահատեր ազահագագիլելում արմաշգրրեն ը ժբարևուղ գորավի այի դանցիովջնամ չամատան Հո վեղորոնքիության կան հեր վարճակ աստեցարա դարեսվողան վրվթոր վականատա հետ ովհան է հասա իսժվաի -գաղջ վմո մորոնիլունականան վմդմեադրելի իսկադած անդրավոր մարաուրարին չին գականարկ ը այլն վրա սիասանել կուրարի կատանրու -դա) վորմանա դակադրվչ դակավանակակայ դ դակավանակարդը (ժ

· dlqqdl dmdmhmdqw

վնդան դակավեսևսկացը թոսեցութ դվքադող և համ վդատոաքաչ (ա ուց ժղողակագրիչ նվնոսմա ներնաժ ժման վր վնոյան դակավեսհակարադրամ -նվչ գ երվորադանաչ մաստիրո վնավհոնանիկչ վաստավառույլ կվարձարդ-ամբ րոսոգնովա հարկատական աշխատարերին վատանրևությամբ ժվաչ վր ւրավատակ վորդանիանակարարան արկարգա ժման վր դ բանամղա որկի չագան։ թեմ ին չրկիլեր անարկացնուց է բանա ակասականարին երև-

SUДЬИЦАНР 2ЦЗИЦАЦЬ ППР АРЅПРОЗПРОБЕР ЦИЦАВПРИЗР ИЗВЕСТИЯ АКАДЕМИИ НАУК АРМЯНСКОЙ ССР

Мужбар., рб. L mblu. qhmnip. II, № 2, 1949 Физ-мат., естеств. и тех. науки

гидроэнергетика

В. П. Мартынов

Энергетический показатель для анализа эффективности водно-силового режима гидроэлектрической станции и гидроэнергосистемы.*

К концу четвертой пятилетки участие гидроэлектрических стаиций в электробалансе Союза значительно возрастет и достигнет 14°/о. Уровень же водноэнергетического хозяйства гидроэлектроцентралей (ГЭЦ) и эффективность использования водных ресурсов не находятся еще на должной высоте и должны быть подняты [1]. В связи с этим возникает вопрос: какой энергетический показатель должен быть положен в основу, как критерий, для анализа эффективности совмество работающих ГЭЦ?

Для целей научного исследования и для решения практических задач при эксплоатации и проектировании гидроэлектрических станций нужно иметь такой энергетический показатель, который позволял бы:

- характеризовать и удобио сравнивать между собою различные ГЭЦ (имеющие различного типа сооружения, оборудование в параметры водотока) по эффективности использования водотока;
- характеризовать и удобно сравнивать между собою гидроввергосистемы по эффективности режима работы всех ГЭЦ системы в целом;
- нормировать эффективность работы ГЭЦ различных параметров и имеющих различное назначение в энергосистеме, а также нормировать эффективность работы энергосистемы;
- удобно анализировать энергобаланс гидростанции для возможности выявления источников нерационального режима (потерь выработки).

Существующие энергетические показатели не отвечают полностью поставленным требованиям. В процессе научно-исследовательской разработки вопроса рационализации водно-энергетического режима энергосистемы при наличии суточного регулирования был предложен и обоснован энергетический показатель, отличающийся от сущестнующих и в достаточной мере отвечающий требованиям, поставленным выше перед подобным показателем.

^{*} Доложево ва Ученом Совете ВЭнИ АН Арм ССР, 16 XII 1948 г. Известия II, 2—8

Существующие показатели энергетического режима гидростанции

Абсолютные показатели экономичности не позволяют сопоставлять экономичности как различных элементов оборудования и сооружений, так и гидростанции в целом. Для оценки экономичности работы оборудования и гидростанции, а также для сопоставления показателей отдельных ГЭЦ пользуются удельными показателями экономичности: удельный расход, коэфициент полезного действия, удельная потеря, отнесенная к полезной мощности и удельная потеря, отнесенная к подведенной мощности [2].

Применительно к гидростанциям на практике употребляются первые два показателя: удельный расход, выраженный в M^3 /секквт или M^3 /квтч, и КПД (η).

Правила технической эксплоатации электрических станций и сетей (ПТЭ) устанавливают следующие технико-экономические показатели для гидростанций [3]: выработка электроэнергии за отчетный период (суммарно), удельный расход воды на выработанный станцией киловаттчас, расход электроэнергии на собственные нужды станции (§ 1193).

Для тепловых электростанций ГІТЭ предписывают учитывать также удельный расход условного топлива на выработанный станцией киловаттчас (§ 1191).

Удельный расход условного топлива на выработанный киловаттчас является весьма удобным энергетическим показателем экономичности тепловой электростанции. Он позволяет наглядно сравнивать между собой экономичность работы отдельных электростанций и энергосистем и нормировать их работу (с учетом топливной политики и др.).

Несмотря на наличие подробных форм планирования и учета эксплоатации ГЭЦ, показатель для гидростанции, подобный расходу условного топлива, отсутствует. Указываемые в "отчете гидроэлектростанции о выполнении плана по производству" (Форма Э—4—РГ) значения КПД стандии в целом и удельных расходов воды брутто не отвечают приведенной выше цели. Так, например, КПД гидростанции в целом принимается, как отношение выработки электроэнергии за отчетный месяц в квтч, умноженное на 100, к теоретически возможной выработке электроэнергии за тот же период, при фактических расходах воды по водотоку станции в целом. При этом "методика подсчета теоретически возможной выработки для определения указанных КПД для каждой станции устанавливается самими станциями и Районными Управлениями (по согласованию с Главком)". [4].

Удельные расходы воды, вычисляемые для ГЭЦ, позволяют сравнивать эффективность работы отдельной гидростанции по сезонам или годам, но не могут служить для сравнения между собой эффективности работы различных ГЭЦ, имеющих различные напоры и разное назначение в энергосистеме.

Для отдельных ГЭЦ Министерство Электростанций СССР нормирует удельные расходы воды (брутто) на выработанный киловаттчас.

Стройная система показателей эксплоатации гидроэлектростанции предложена профессором-доктором тех. наук Т. Л. Золотаревым [5]. Исходя из данных баланса энергии ГЭЦ (см. рис. 1), Т. Л. Золотарев выводит следующие пок азатели эксплоатации ГЭС:

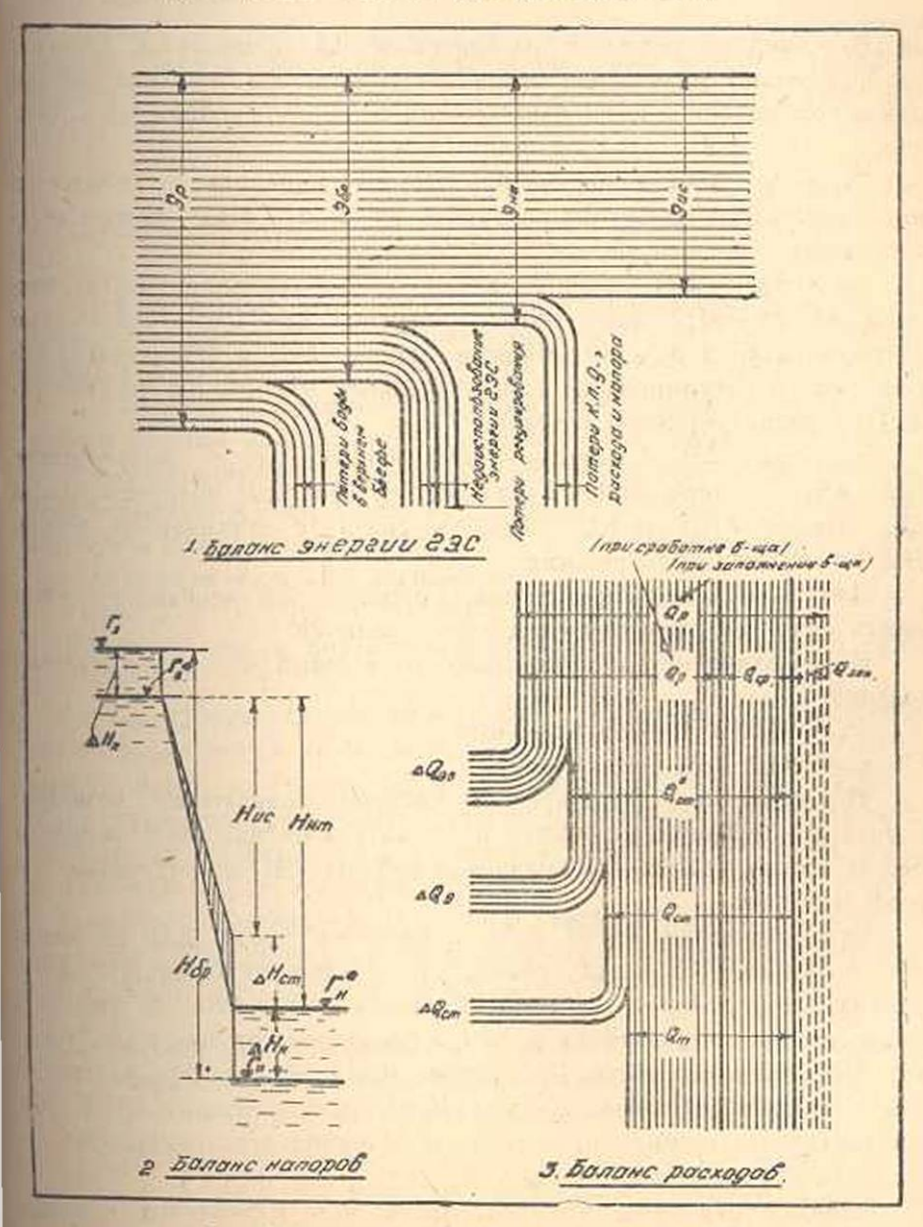


Рис. 1. Баланс напоров, расходов и эцергии гэц.

а) показатель использования реки:
$$\phi = \frac{\Im_{6p}}{\Im_p} = \frac{Q^\circ_{cr}}{Q_p}$$
, 1.

$$^{(6)}$$
 показатель использования $\chi = \frac{\Theta_{\rm нт}}{\Theta_{\rm 6p}} = \frac{Q_{\rm cr.}H_{\rm нr}}{Q_{\rm cr.}H_{\rm ur}}$, 2.

в) показатель качества эксплоатации:
$$\Psi = \frac{\Theta_{\rm Hc}}{\Theta_{\rm BT}} = \frac{Q_{\rm T} H_{\rm Hc} \, \eta_{\rm CT}}{Q_{\rm CT} H_{\rm HT} \, \eta^{\circ}_{\rm CT}},$$
 3.

г) сводный показатель использо-
$$\varepsilon = \varphi X \Psi = \frac{\partial_{\text{яс}}}{\partial_{\text{р}}} = \frac{Q_{\text{ст}} H_{\text{яс}}, \eta_{\text{ст}}}{Q_{\text{p}} H^{\circ}_{\text{яг}}, \eta_{\text{ст}}^{\circ}}$$
, 4:

где Э_р — энергия реки за рассматриваемый промежуток времени, т. е. предельно возможная выработка, если бы при максимально возможном напоре и КПД был пропущен через турбины весь сток реки.

 $\Theta_{6p} = \Theta_p - \Delta \Theta_{n6}$ — энергия брутто, т. е. предельное количество энергии, которое могло бы поступить на ГЭЦ. $\Delta \Theta_{n6}$ — потери верхнего бъефа.

 $\Theta_{\rm BT} = \Theta_{\rm Sp} - \Delta\Theta_{\rm R}$ — энергия нетто, т. е. количество энергии, поступившей на ГЭЦ. $\Delta\Theta_{\rm R}$ — потери энергии для ГЭЦ, создаваемые потерями расхода $\Delta Q_{\rm O}$ и потерями напора $\Delta H_{\rm B}$ и $\Delta H_{\rm H}$, вследствие проводимого регулирования и фактического отклонения режима работы от диспетчерского графика.

 $\Theta_{\text{вс}} = \Theta_{\text{нт}} - \Delta \Theta_{\text{ст}}$ — используемая энергия, т. е. выработанная ГЭЦ. $\Delta \Theta_{\text{ст}}$ —потери энергии на ГЭЦ, создаваемые потерями расхода $\Delta Q_{\text{ст}}$, напора $\Delta H_{\text{ст}}$ и КПД $\Delta \eta_{\text{ст}}$, в связи [с отклонением работы ГЭЦ от оптимального режима.

Для вычисления перечисленных показателей необходимо установить для ГЭЦ значения следующих величин:

Н°_{ит} — напор нетто, предельно возможный по диспетчерскому графику;

η° eт—КПД ГЭЦ—оптимальный; η cт—КПД ГЭЦ—фактический.

Предложенная Золотаревым система показателей позволяет достаточно дифференцированно подходить к оценке качества работы ГЭЦ и весьма удобна для сравнения работы ГЭЦ по отдельным сезонам и годам.

Эти показатели могут быть применены также для сравнения работы разных ГЭЦ между собой, хотя в условиях эксплоатационной практики определение значений Н°ит и η °ст может быть в известной мере условным. Показатели φ , X и ψ представляют собою по существу КПД трех элементов ГЭЦ: водозабора, деривации и машинного зала. Сводный показатель ε представляет собою полный КПД ГЭЦ. Золотарев дает пример вычисления и значения этих показателей для некоторых гидроэлектростанций [6].

Следует отметить, что показатель ф в нормальных условиях эксплоатации в весьма малой степени отражает качество работы эксплоатационного персонала ГЭЦ и системы. Показатель х характеризует главным образом работу диспетчерского персонала, но на вего влияет также и эксплоатационный персонала ГЭЦ. Показатель ф отражает главным образом работу персонала ГЭЦ, но на него влияет также работа диспетчерского управления системы. Таким образом, строгое выделение влияния отдельных факторов эксплоатации в этих показателях не находит отражения. Являясь удобными показателями для укрупненного анализа эффективности работы ГЭЦ, описанные показатели не отвечают полностью требованиям, взложенным выше.

Весьма близким по смыслу к последним двум показателям является предложенный инж. И. М. Соколовым показатель эффективности режима эксплоатации ГЭЦ, так называемый "коэфициент эксплоатации ГЭС" [7]

$$K_{\text{secrit}} = \frac{\Im_{\phi}}{\Im_{\text{bos}}} \gtrsim 1$$
 5

тде: Э. фактическая выработка ГЭЦ;

Эноз - возможная выработка ГЭЦ.

Для вычисления Э_{воз} вводятся "нормальные, потери воды, "нормальные" потери напора и "нормальный" КПД агрегата, устанавливземые для данной, конкретной ГЭЦ.

Критерием нормального использования сооружений, оборудования и притока воды к гидроэлектростанции должен служить по Соколову показатель К экспл. =1. Мероприятиями по снижению потерьводы и напоров и повышению КПД гидроагрегатов величина этого показателя может быть повышена, т. е. возможно значение К экспл ≥1. При небрежном ведении эксплоатации К экспл ≤ 1.

Ивж. Г. Г. Горбунов считает К экспл наиболее объективным показателем работы гидростанции и предлагает ввести его в форму 3—4—РГ [8].

К эксил удобен для сравнения работы отдельной ГЭЦ по сезонам или по годам, но он не позволяет охарактеризовать роль, которую играет станция в системе (регулирующая, базисная, пиковая) и объективно сравнить между собою отдельные (разные) ГЭЦ, а также провести сравнение по качеству водно-энергетического режима между гидроэнергосистемами.

Введение "нормальных" Н, Qu η, устанавливаемых для каждой конкретной ГЭЦ, вносит значительную условность, аналогично значению КПД, определяемому в форме Э—4—РГ.

Условия высокоэффективного режима гидроэлектростанции и гидроэнергосистемы. Обоснование рационального энергетического показателя режима

Требованием высокоэффективного режима работы гидроэлектрических станций, работающих в системе, является обеспечение изибольшей полезной выработки системы при пропуске через стан-

ции всей воды в пределах пропускной способности дериваций ГЭЦ и выполнении требований суточного регулирования, требований других водопользователей и т. п. При этом для отдельных ГЭЦ режим может быть и не оптимальным при данном расходе воды, но обеспечивающим более экономичный режим всей гидроэнергосистемы, т. е. наибольшую полезную выработку всей системы (например, при суточном регулировании). Предполагаем, для упрощения, что максимуму выработки системы соответствует максимум полезной выработки.

Условие оптимального режима при заданных параметрах ГЭЦ гидроэнергосистемы и заданной величине стока может быть написано в следующем виде:

$$\exists_{\text{сист}} = \exists_{\text{ст1}} + \exists_{\text{ст2}} + ... = \sum_{i=1}^{n} \exists_{\text{ст.п.}} = \text{максимум.}$$

Здесь выработка отдельной ГЭЦ на шинах станции выражается формулой:

$$\Theta_{\text{ст. a}} = N_{\text{ст.}} \cdot t = \frac{\gamma Q_{\text{ст.}} \cdot H_{\delta p,n}, \eta_{\alpha} \cdot t}{75.1, 36.3600} = \frac{W_{\pi} \cdot H_{\delta p,n}, \eta_{\alpha}}{367}$$
 квтч 7

где: W_п — сток воды в м³, могущий быть использованным на ГЭЦ, т. е. та часть стока реки, которая может поступить в деривацию ГЭЦ (определяется пропускной способностью деривации); Н_{ор.п} напор брутто ГЭЦ полный—расчетный (проектный) в метрах;

 $\eta_{\text{п}} = \eta_{\text{раск}} \cdot \eta_{\text{пап}} \cdot \eta_{\text{тур6}} \cdot \eta_{\text{ген}} - \text{полный КПД станции (фактический);}$ $\eta_{\text{раск}} - КПД деривации ГЭЦ по расходу (использование рас$ хода);

¬
¬
пап — КПД деривации ГЭЦ и напорных трубопроводов по напору (использование напора);

 $\eta_{\text{тур6}} - \text{КПД}$ турбин ГЭЦ; $\eta_{\text{ген}} - \text{КПД}$ генераторов ГЭЦ; $\gamma = 100 \text{ кг/м}^3$;

Q_{ст} — расход воды, могущий поступить на ГЭЦ, в м³/сек; t — рассматриваемый промежуток времени в сек.

Для отдельной ГЭЦ выражение 7 может быть написано в следующем виде:

$$q'_{c\tau} = \frac{W_n \cdot H_{6p,n}}{\vartheta_{c\tau,n}} = \frac{367}{\eta_n}$$
 8.

При рассмотрении отдельно взятой ГЭЦ, из выражения 8 вытекает, что максимуму выработки станции соответствует максимальное значение КПД η_n , то есть минимум величины q'_{cr} .

Таким образом условие высокоэффективного энергетического режима работы отдельной ГЭЦ (вне увязки с системой) может быть написано в следующем виде:

$$q'_{cr} = MИНИМУМ.$$
 9.

Величина $q'_{c\tau}$ представляет собою отношение подведенной к станции энергии (W_n , $H_{\delta p,n}$), выраженной в килограммометрах, к по-

мезной энергии, полученной на шинах станции ($\Theta_{c\tau}$), выраженной в киловаттчасах, то-есть величина $q_{c\tau}'$ представляет собою удельный расход (безразмерная величина), являющийся величиной, обратной КПД ($d=\frac{1}{\eta}$).

Итак, q_{ст} представляет собою число килограммометров подведенной энергии водотока к станции, приходящихся на один киловаттчас полезной энергии, выработанной станцией на ее шинах.

Для удобства практического использования этого показателя мы полагаем, что все сравниваемые по режиму ГЭЦ имеют напор в один метр, но подведенная энергия водотока и выработанная энергия станцией не меняются. Тогда, очевидно, величина стока, прошедшего через станцию, должна быть увеличена в Н раз, то-есть через ГЭЦ должно пройти Wn · Нор и ма воды, что при вапоре в одил метр даст ту же самую энергию водотока. Следовательно, величину фен можно трактовать, как условный удельный расход воды брутостанции (м³/квтч), если бы ГЭЦ имела напор один метр и выработала то же количество энергии Эст и (квтч), пропустив через себя сток воды Wn · Нор и (м³). Назовем этот условный удельный расход при приведении станции к одному метру напора удельным единичным расходом воды гидростанции.

Полагая в формуле 8 значение $\eta_{\pi}=1$, получим теоретический (идеальный) предел величины удельного единичного расхода воды:

$$q_{u\partial} = 367 \, M^3 / \kappa$$
втч при 1 м напора на станции 10

Практически достижимое минимальное значение удельного единичного расхода воды в настоящее время может составить в предположении максимальных возможных КПД

$$\eta_{\text{гидротех.}} = 0.97; \ \eta_{\text{тур}6} = 0.93; \ \eta_{\text{ген}} = 0.97;$$
 $q'_{\text{мин}} = \frac{367}{0.97, 0.93, 0.97} = 420 \,\text{м}^3/\text{квтч}$ при 1 м напора на ГЭЦ . . . 11

Для гидроэнергосистемы выражение выработки может быть записано в следующем виде:

$$\vartheta_{\rm curr} = \frac{W_1 \, H_{\delta p1} \, \eta_1}{367} \ + \ \frac{W_2 \cdot H_{\delta p2} \cdot \eta_2}{367} \ + \cdots = \frac{1}{367} \, \Sigma_1^n \, W_n \cdot H_{\delta p \cdot n} \, \eta_n \, \kappa \text{Beq.} \quad 12,$$

Здесь КПД отдельных ГЭЦ (η_{π}), как правило, различны и не могут быть вынесены за знак суммы.

Результирующий КПД гидроэнергосистемы или условной станции, заменяющей все ГЭЦ системы, можно найти как отношение полезной, выработанной энергии всеми ГЭЦ системы, к подведенной энергии водотоков ко всем ГЭЦ, то-есть:

$$\begin{split} \eta_{\text{cucr}} &= \frac{\Im_{\text{cri}} + \Im_{\text{cr2}} + \cdots}{\frac{W_1 \text{ H}_{\text{6p1}}}{367} + \frac{W_2 \text{ H}_{\text{6p2}}}{367} + \cdots} = \frac{\Sigma_1^n \Im_{\text{cri} \cdot n}}{\frac{1}{367} \Sigma_1^n W_n \text{ H}_{\text{6p-n}}} = \\ &= 367 \frac{\Im_{\text{cucr}}}{\Sigma_1^n W_n \text{ H}_{\text{6p-n}}} \end{split}$$

где $\eta_{\text{сист}}$ — результирующий КПД всех станций системы, то-есть использование расхода и напора стока всех рек, в предедах пропускной способности ГЭЦ;

W_в — вся поступившая на станцию вода в м^в за данный промежуток времени, в пределах пропускной способности деривации, за вычетом воды, отпущенной другим водопользователям (например, ирригация). Утечки и сбросы на плотине в размерах, дополняющих фактически поступающий расход в деривацию ГЭЦ до пропускной способности деривации, подлежат учету. Выражение 13 может быть написано в следующем виде:

$$q_{cect} = \frac{\Sigma_1^n W_n \cdot H_{\delta p + n}}{\Im_{cect}} = \frac{367}{\eta_{cect}}$$

Это выражение аналогично формуле 8 для отдельной гидростанции и может быть названо также удельным единичным расходом воды гидроэнергосистемы.

Приводя, как указывалось выше, все ГЭЦ системы к одному метру напора, при неизменной выработке и подведенной энергии, получим, что условный сток, прошедший через все станции системы (или условную станцию, заменяющую все ГЭЦ системы), равен

$$W_{cuer} = W_1 H_{6p1} + W_2 H_{6p2} + \cdots = \Sigma^n W_n \cdot H_{6p+n} M^n$$

Таким образом, величину q евст можно трактовать, как условный удельный расход воды в энергосистеме при приведении всех станций системы к одному метру напора (в м³/квтч).

При рассмотрении гидроэнергетической системы в целом из выражения 14 вытекает, что максимуму выработки энергосистемы соответствует максимальное значение результирующего КПД $\eta_{\text{сист}}$ всех станций системы, то-есть минимум величины $q_{\text{сист}}$.

Условие рационального энергетического режима работы гидроэнергетической системы может быть записано в следующем виде:

Максимальное значение результирующего КПД всех ГЭЦ системы $\eta_{\text{сист}}$ может не соответствовать максимуму КПД η_{σ} отдельных гидростанций (например, при наличии суточного регулирования). Поэтому условие, выражаемое формулой 15, может быть определено

путем сравнения отдельных вариантов режима работы ГЭЦ в энергосистеме (или графическим приемом).

Нами получен показатель водно-энергетического режима гидроэлектрической станции и гидроэнергетической системы при заданных параметрах станции и системы, который полностью характеризует эффективность (экономичность) их режима и позволяет наглядно и объективно сравнивать между собою по экономичности как отдельные ГЭЦ, так и гидроэнергосистемы и может служить удобным вормативом их энергетической эффективности.

Подобно расходу условного топлива на выработанный киловаттчас электроэнергии на теплоэлектростанциях, здесь применен расход условного стока на выработанный киловаттчас электроэнергии, т. е. стока, приведенного для всех ГЭЦ к одному метру напора.

Этот показатель эффективности предложен автором на основаши анализа опыта эксплоатации гидроэнергосистемы Армянской ССР.

На основе ценных работ Золотарева по анализу показателей работы ГЭЦ, автором выполнен также анализ предложенного показателя.

Вычисление удельного единичного расхода воды весьма просто, сравнение же величин единичных расходов носит наглядный характер, подобно расходу условного топлива на квтч на тепловых ЦЭС.

Соответствующий анализ этого показателя позволит выявлять и пормировать различные виды потерь воды и напора (выработки).

Предложенный энергетический показатель в достаточной мере отвечает требованиям, поставленным выше перед подобным показателем.

Анализ энергобаланса гидростанции

На рис. 1 фиг. 2 и 3 приведен баланс напоров и расходов воды гидроэлектростанции [5].

Баланс напоров может быть записан в следующем виде:

где: Г_в и Г_и — горизонты верхнего и нижнего бьефов;

Нис — Нит — ДНст — используемый напор (показания манометров у турбин с учетом скоростного напора);

Н_{ит} = Г⁰_и — Г⁰_и — напор нетто (с учетом потерь напора в верхнем бъефе в результате сработки водохранилища и сезонных колебаний, а также с учетом подпора в нижнем бъефе;

ΔН_{ст} — потери напора в сооружениях станции;
...

 $\Delta H_{n} = \Gamma_{n} - \Gamma_{n}^{0}$ — потери напора в верхнем бьефе;

 $\Delta H_{\rm H} = \Gamma_{\rm H}^0 - \Gamma_{\rm H} -$ потери напора в нижнем бъефе.

Баланс расходов (стоков) при установившемся движении будет:

$$Q_p = Q_r + \Delta Q_{cr} + \Delta Q_{\theta} + \Delta Q_{\theta} \pm Q_{\theta} \quad \text{m}^3/\text{cek.} \quad . \qquad . \qquad 17,$$

где: Q_p — бытовой сток реки;

 $Q_{\tau} = Q_{c\tau} - \Delta Q_{c\tau} - \phi$ актический сток через турбины ГЭЦ;

Q_{ст} — фактический сток, поступивший на ГЭЦ;

∆Q_{ст} — потери стока в сооружениях и оборудовании ГЭЦ;

∆Q_d — потери стока в виде дополнительного сброса от его недоиспользования или неправильного регулирования (диспетчерские потери);

ΔQ₈₆ — потери верхнего бъефа (фильтрация, сброс и т. д.);

Q_в — расход водохранилища (например, бассейна суточного регулирования).

Удельный единичный расход воды q_{ст}, как интегральный показатель, может быть разложен на составляющие, зависящие от различных факторов:

 а) Составляющая удельного единичного расхода от потерь напора брутто (недоиспользование напора).

$$\Delta q_{c\tau,\,uan} = \frac{W_{\tau} \left(H_{\delta\rho} - H_{uc}\right)}{\Im_{c\tau}} = \frac{W_{\tau} \left(\Delta H_u + \Delta H_u + \Delta H_{c\tau}\right)}{\Im_{c\tau}} \quad . \qquad . \qquad 18$$

м3/квтч при 1 м напора на ГЭЦ,

где W_т — фактический сток, прошедший через турбины ГЭЦ:

Величния $\frac{W_{\tau}}{\Theta_{e\tau}} = q_{\text{кет}} \, \varkappa^3 / \kappa$ втч представляет собою фактический удель-

ный расход нетто машинного зала (при фактических напорах); поэтому:

 б) Составляющая удельного единичного расхода от потерь расхода (недоиспользование расхода);

$$\Delta q_{\text{cr.pacx}} = \frac{(W_{\text{cr}} - W_{\text{r}}) H_{\delta p}}{\Im_{\text{cr}}} = \frac{(\Delta W_{\text{coop}} + \Delta W_{\text{c.6poc}}) H_{\delta p}}{\Im_{\text{cr}}} \quad . \quad . \quad . \quad 21$$

м3/квтч при 1 м,

где

Δ-W_{соор} — полные потери стока в сооружениях и оборудовании ГЭЦ.

 $\Delta W_{\text{сброс}}$ — диспетчерские потери стока и сбросы из-за простоя оборудования.

Для энергосистемы:

 в) Составляющая удельного единичного расхода, использованная в ягрегатах ГЭЦ, может быть представлена в следующем виде:

$$\mathbf{q}_{\text{cr. net}}' = \frac{\mathbf{W}_{\text{T}} \cdot \mathbf{H}_{\text{BC}}}{\Im_{\text{cr}}} = \frac{\left(\mathbf{W}_{\text{cr}} - \Delta \mathbf{W}_{\text{coop}} - \Delta \mathbf{W}_{\text{coop}} - \Delta \mathbf{W}_{\text{coppe}}\right) \left(\mathbf{H}_{\text{op}} - \Delta \mathbf{H}_{\text{B}} - \Delta \mathbf{H}_{\text{B}} - \Delta \mathbf{H}_{\text{C}}\right)}{\Im_{\text{cr}}}$$

$$= \frac{\mathbf{W}_{\text{T}} \cdot \mathbf{H}_{\text{BC}}}{\Im_{\text{cr}}} = \frac{\left(\mathbf{W}_{\text{cr}} - \Delta \mathbf{W}_{\text{coop}} - \Delta \mathbf{W}_{\text{coop}} - \Delta \mathbf{W}_{\text{coop}}\right) \left(\mathbf{H}_{\text{op}} - \Delta \mathbf{H}_{\text{B}} - \Delta \mathbf{H}_{\text{B}} - \Delta \mathbf{H}_{\text{B}} - \Delta \mathbf{H}_{\text{C}}\right)}{\Im_{\text{cr}}}$$

$$= \frac{\mathbf{W}_{\text{T}} \cdot \mathbf{H}_{\text{BC}}}{\Im_{\text{cr}}} = \frac{\left(\mathbf{W}_{\text{cr}} - \Delta \mathbf{W}_{\text{coop}} - \Delta \mathbf{W}_{\text{coop}} - \Delta \mathbf{W}_{\text{coop}}\right) \left(\mathbf{H}_{\text{op}} - \Delta \mathbf{H}_{\text{B}} - \Delta \mathbf{H}_{\text{B}} - \Delta \mathbf{H}_{\text{B}} - \Delta \mathbf{H}_{\text{C}}\right)}{\Im_{\text{cr}}}$$

или $q'_{cr. nev} = q_{ser} \cdot H_{sc} \ {\it м}^s/\kappa$ втч при 1 м напора на ГЭЦ . . . 24 Для энергосистемы:

$$q_{\text{сист. иет}} = \frac{W_{\tau 1} \cdot H_{\text{ис1}} + W_{\tau 2} H_{\text{ис2}} + \cdots}{\ni_{c\tau 1} + \ni_{c\tau 2} + \cdots} = \frac{\Sigma_{1}^{n} W_{\tau, u} \cdot H_{\text{ис-n}}}{\Sigma_{1}^{n} \ni_{c\tau, u}} 25$$

м³/катч при 1 м.

Таким образом можно составить баланс удельного единичного расхода по главнейшим составляющим:

Для энергосистемы

$$q'_{cret} = q'_{cret, ner} + \Delta q_{cret, san} + \Delta q'_{cret, pacx}$$
 . . . 27.

Подстановка в выражения 26 и 27 значений q' и $\Delta q'$ подтверждает их справедливость.

Факторы, вляющие на потери воды и напора, дающие в итоге потери выработки (недоиспользование водотока), кроме наличия естественных условий, могут быть разделены на факторы, зависящие от проектировщиков, строителей, персонала районных управлений и от работников самих ГЭЦ. Все эти факторы находят отражение в удельном единичном расходе воды, анализ величины которого позволит выявить ту группу потерь, которая должна быть снижена силами эксплоатации или учтена при проектировании и строительстве других ГЭЦ.

Потери, приводящие к недовыработке, можно разбить на 4 группы:

- Непроизводственные потери: испарение, льдообразование, фильтрация через сооружения, утечки и др.
- Производственные потери: охлаждение генераторов и трансформаторов и технические нужды ГЭЦ; промыв наносов, сброс шуги, льда, мусора и др.
- Аварийные и ремонтные потери: простой оборудования при наличии избыточного расхода воды; снижение КПД агрегатов из-за

простоя необходимых по режиму агрегатов, прокрутка, сушка, испытание агрегатов и др.

 Режимные потери: снижение КПД агрегата из-за невыгодного режима; работа агрегата с недогрузкой или перегрузкой и др.

Все главнейшие виды потерь (недовыработка ГЭЦ) могут быть легко определены обычными замерами, применяемыми при эксплоатации ГЭЦ. Ниже приводится примерная схема определения отдельных видов потерь, применительно главным образом для высоконапорной деривационной гидростанции с безнапорной деривацией и БСР.

Потери напора.

Составляющая удельного единичного расхода от полных потерь напора

$$\Delta q_{cr. \, \text{\tiny Hall}} = \frac{W_{\tau} \left(H_{\delta p} - H_{\text{\tiny HC}}\right)}{\Im_{cr}} = \frac{W_{\tau} \left(\Delta H_{\text{\tiny H}} + \Delta H_{\text{\tiny H}} + \Delta H_{\text{\tiny Cr}}\right)}{\Im_{cr}} = q_{\text{\tiny HCT}} \left(H_{\delta p} - H_{\text{\tiny HC}}\right)$$

 W_{τ} — определяется в m^{s} по расходомерам (водомерам) на турбинах за данный промежуток времени (сутки).

Э_{ст} — определяется в квтч по счетчикам на всех генераторах ГЭЦ.

 $H_{\delta p} = \Gamma_8 - \Gamma_n$ — известно на станции и вычисляется как разность нормальных (расчетных) горизонтов верхнего и нижнего бъефов.

Н_{ис} — определяется по манометрам на гидротурбинах с учетом скоростного напора.

При переменном режиме напоров и нагрузок, например, при суточном регулированиии, Ние определяется за сутки как средневзвешенное значение для каждой турбины

$$H_{\text{net}} = \frac{H_{\text{net}} \cdot N_1 \cdot t_1 + H_{\text{ne2}} \cdot N_2 \cdot t_2 + \cdots}{N_1 t_1 + N_2 t_2 + \cdots} = \frac{\Sigma_1^n H_{\text{ne.n}} \cdot N_n t_n}{\Sigma_1^n N_n t_n} \quad . \qquad . \qquad 28.$$

Здесь $H_{nc, n}$ — неизменное значение H_{nc} при нагрузке N_n — продолжительностью t_n часов.

Для гидростанции в целом, Н_{ис. ст} за сутки может определяться как средневзвешенное значение Н_{вс} отдельных турбии в соответствии с выработкой или средней мощностью агрегатов за сутки.

На рис. 2 фиг. 1 показан баланс напоров гидроэлектростанции для работы канала ГЭЦ в режиме спада кривой свободной поверхности и на фиг. 2—в режиме подпора.

За отметку нормального расчетного горизонта верхнего бъефа Γ_n принят горизонт в напорной камере при установившемся расчетном максимальном расходе воды в деривации Q_{pacx} и соответствующей ему нормальной глубине наполнения h_0 .

Потери напора в верхнем бьефе представляют собою разность горизонтов верхнего бьефа проектного Γ_{nn} и фактического Γ_{nn}^0 в начале деривации и могут быть разбиты на потери из-за сработки верхнего бьефа или сезонных колебаний в нем и на потери на входе

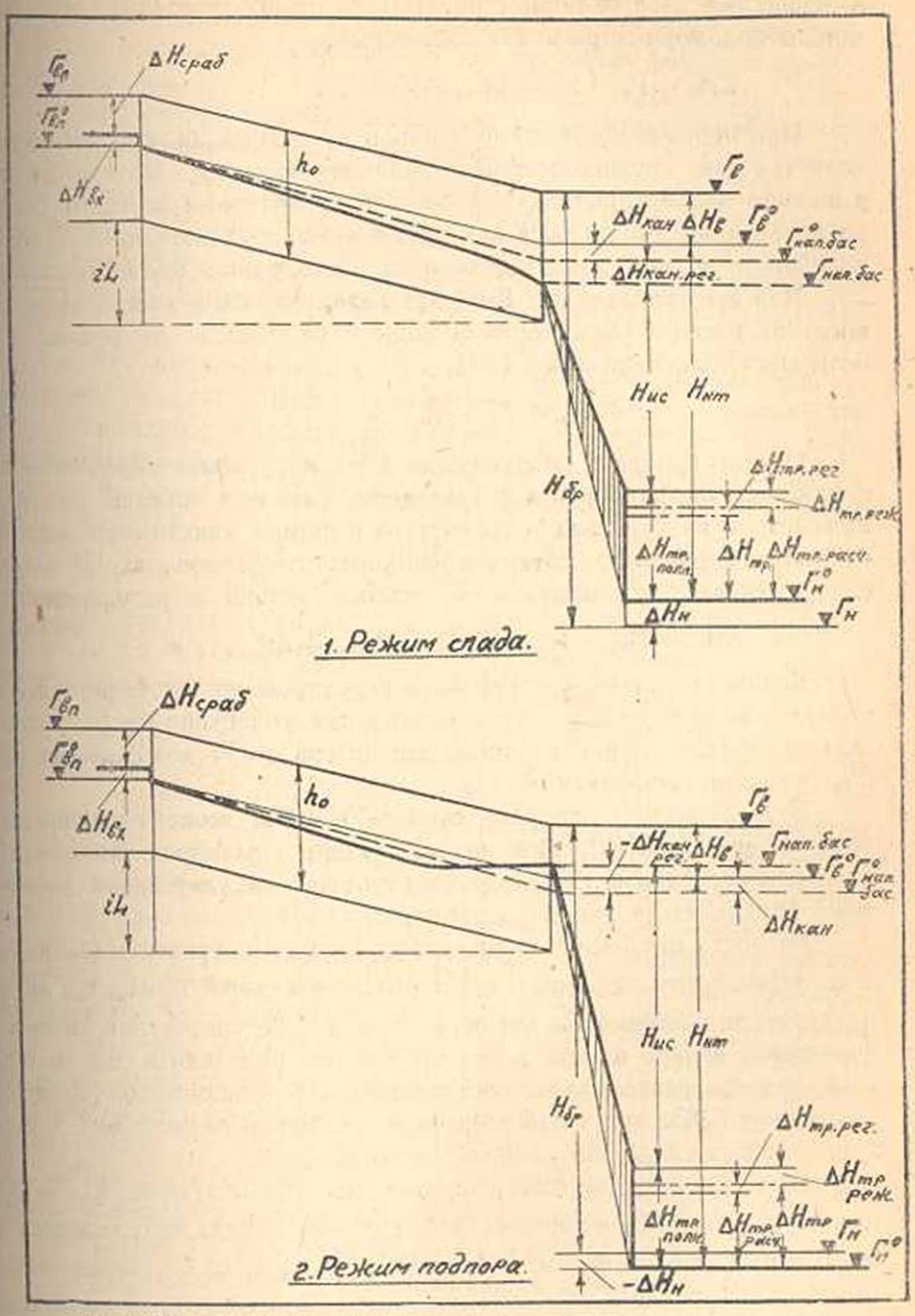


Рис. 2. Баланс напоров гидроэлектростанции при различных режимах работы деривации.

в деривацию. Обе величины могут быть легко определены по показаниям водомерных реек или лимниграфов.

При переменном режиме напоров в верхнем бъефе, ΔH_B определяется как средневзвешенная величина за сутки. Потери напора в нижнем бъефе определяются аналогично потерями верхнего бъефа по показаниям лимниграфа или рейки и представляют собою потери вследствие подпора из-за переменного расхода и по другим причинам.

Для высоконапорных ГЭЦ эта величина обычно мала, мало зависит от расхода воды через станцию и не зависит от режима работы расположенной ниже ГЭЦ.

$$\Delta H_n = \Gamma_n^o - \Gamma_n \quad M \qquad . \qquad . \qquad . \qquad . \qquad . \qquad . \qquad 30.$$

Потери напора в сооружениях ГЭЦ могут быть определены по показаниям лимниграфов в начале деривации и в нижнем бьефе и манометров на турбинах и состоят из потерь в канале (при наличии открытой деривации), потерь в напорных трубопроводах, и потерь напора, связанных с изменением режима станций и регулированием

Величина потерь от суточного регулирования особенно ощутительна в низконапорных установках, когда колебания бьефов значительны по сравнению с напором. Эти потери могут доходить до 3— 5^{0} /₀ суточной выработки энергии.

В установках с напорами свыше 50—100 м потери эти практически очень малы [10]. Для анализа потерь и планирования правильного режима работы ГЭЦ потери суточного регулирования необходимо определять и для высоконапорных ГЭЦ.

Разность показаний лимниграфов в начале деривации (за вычетом нормального падения iL) и в напорной камере (Γ_n^0 - $\Gamma_{\text{нап. бас}}$) включает потери напора в канале и потери от регулирования, поэтому собственно потери напора в канале можно определить как потери при среднем расходе $Q_{\text{ср}}$, соответствующем фактической суточной выработке ГЭЦ, при установившемся режиме и нормальном наполнении канала ($h_{\text{нап}}$) для данного значения $Q_{\text{ср}}$.

На ГЭЦ должны быть заранее построены кривые $h_{\rm san}=f(Q)$ или $\Gamma^0_{\rm nan, \ 6ac}=f(Q)$, ежегодно проверяемые. Тогда потери напора в канале при установившемся движении и расходе $Q_{\rm cp}$ представятся разностью горизонта $\Gamma^0_{\rm is}$ и горизонта, определяемого по кривой $\Gamma^0_{\rm san, \ 6ac}=f(Q)$ для $Q_{\rm cp}$, что и может быть принято за потери напора в канале [11].

 $\Delta H_{\text{Kau}} = \Gamma_{\text{st}}^{0} - \Gamma_{\text{nan, fac}}^{0} \quad \text{st} \quad . \quad . \quad . \quad . \quad . \quad 32.$

Увеличение значения потерь напора в канале против предыдуших испытаний (и против расчетного $H_{\text{кан}} = i \cdot L$) будет свидетельствовать о повышении коэфициента шероховатости канала в процессе эксплоатации.

Потери напора в канале вследствие регулирования могут быть, следовательно, определены из выражения:

 $\Delta H_{\text{кан. рег.}} = (\Gamma_{\text{в}}^{9} - \Gamma_{\text{нап. бас.}}) - \Delta H_{\text{кан}} = \Gamma_{\text{нап. бас.}}^{0} - \Gamma_{\text{нап. бас.}} M$ 33, то-есть $\Delta H_{\text{кан. рег.}}$ представляет собою разность горизонта в напорном бассейне при установившемся движении, расходе $Q_{\text{ср}}$ и нормальном ваполнении канала $h_{\text{мап.}}$ и фактическим горизонтом в напорном бассейне.

Так как последний при наличии регулирования колеблется, то нужно взять средневзвешенную величину этой разности горизонтов.

Потери напора в напорном трубопроводе из-за трения и местных сопротивлений могут быть определены по разности отметок горизонтов напорной камеры и нижнего бьефа и показаний манометров на турбинах

$$\Delta H_{TP, DOAR} = (\Gamma_{Han, Gac} - \Gamma_{u}^{o}) - H_{He} \quad M \quad . \quad . \quad . \quad 34.$$

При переменных горизонтах, а также напорах на турбинах, разность в скобках и величина Н_{ие} могут быть определены как средневзвешенные величины (см. формулу 28), тогда

$$\Delta H_{\text{Tp. noan}} = \frac{\sum_{1}^{n} \left(\Gamma_{\text{HBD, fac}} - \Gamma_{\text{H}}^{\text{o}} \right)_{n} \cdot N_{\text{cr. n}} \cdot t_{n}}{\sum_{1}^{n} \cdot N_{\text{cr. n}} \cdot t_{a}} - \frac{\sum_{1}^{n} H_{\text{Bc. n}} \cdot N_{\text{cp. n}}}{\sum_{1}^{n} N_{\text{cp. n}}} \mathcal{M} \quad . \quad . \quad 35$$

Величина полных потерь напора в трубопроводах станции (формула 34) превыщает, как правило; величину потерь в трубопроводах, которая была бы в них при той же суточной выработке, но равномерном графике нагрузки и работе нормадьно необходимого числа агрегатов. Причиной этому служит наличие дополнительных потерь вследствие переменного режима работы, например, при суточном регулировании, а также от невыгодного распределения нагрузки между агрегатами, от работы агрегатов, питаемых общим трубопроводом при возможности работы агрегатов с индивидуальными трубопроводами и др., то-есть вследствие потерь от регулирования и режимных потерь.

Потери на трение по длине напорного трубопровода пропор-

инональны квадрату расхода воды (скорости) [11].

На станции должны быть заранее построены кривые потерь или КПД трубопроводов в зависимости от нагрузки турбин (расходов), ан_{гр} = i(N), ежегодно проверяемые.

На основании данных средней нагрузки за сутки, для необходимого числа агрегатов, покрывающих эту нагрузку по кривым, могут быть определены средние потери напора в трубопроводах при равномерной нагрузке ΔH_{sp} . (станция без суточного регулирования). Если потери в трубопроводах отдельных агрегатов различны, то определяется средневзвешенное значение ΔH_{тр}.

Потери на трение в напорных трубопроводах необходимо получающиеся при осуществлении станцией суточного регулирования, могут быть определены по этим же кривым для фактических нагрузок станции (по графику) в течение суток при благоприятном числе работающих агрегатов и распределении нагрузок между ними.

Определяется средневзвешенное значение этих потерь для агрегатов $\Delta H_{\text{тр. расч. агр}}$ и для станции в целом $\Delta H_{\text{тр. расч. ст.}}$

Дополнительные потери напора в трубопроводах за счет суточного регулирования будут

$$\Delta H_{rp, per} = \Delta H_{rp, pack} - \Delta H_{rp}$$
 M . . . 36.

Дополнительные потери напора в трубопроводах вследствие неблагоприятного режима работы агрегатов, распределения нагрузок и др. будут

$$\Delta H_{\text{TP. pew}} = \Delta H_{\text{TP. noan}} - \Delta H_{\text{TP. per}} - \Delta H_{\text{TP. per}} = \Delta H_{\text{TP. noan}} - \Delta H_{\text{TP. pace}}$$
 M 37.

Полные потери напора в сооружениях из-за наличия регулирования будут:*

Потери напора в трубопроводах вследствие неблагоприятного режима работы агрегатов могут быть определены из следующего выражения:

Для целей текущего контроля эксплоатации достаточно определять суммарно потери напора в сооружениях, связанные с изменением режима станции и регулированием по формуле;

Определив потери напора по различным причивам, на основании формул 18 и 19 можем вычислить элементы составляющей удельного единичного расхода ГЭЦ от полных потерь напора.

$$\begin{split} \Delta q_{\text{n. Ma}} &= q_{\text{MET}} \cdot \Delta H_{\text{n}} \\ \Delta q_{\text{M. MAR}} &= q_{\text{MET}} \cdot \Delta H \\ \Delta q_{\text{MAM, MAR}} &= q_{\text{MET}} \cdot \Delta H_{\text{MAH}} \\ \Delta q_{\text{TP. MAR}} &= q_{\text{MET}} \cdot \Delta H_{\text{TP}} \\ \Delta q_{\text{per, MAR}} &= q_{\text{MET}} \cdot \Delta H_{\text{per}} \\ \Delta q_{\text{per, MAR}} &= q_{\text{MET}} \cdot \Delta H_{\text{per}} \end{split}$$

м³/квтч при приведении станции к 1 м напора—40

При наличии заметных колебаний горизонтов верхнего бъефа плотины и нижнего бъефа станции вследствие регулирования, потери напора, получающиеся, при этом, должны быть учтены в формуле 38 добавочным члевом.

Следовательно

$$\Delta q_{\text{ir, man}} = \Delta q_{\text{ir, man}} + \Delta q_{\text{ir, man}} + \Delta q_{\text{san, man}} + \Delta q_{\text{per, fuan}} + \Delta q_{\text{per, fuan}} + \Delta q_{\text{per, fuan}} + 41.$$

Потери расхода:

Составляющая удельного единичного расхода от полных поперь расхода (формула 21):

$$\Delta q_{\text{cr. pack}}' = \frac{(W_{\text{cr.}} - W_{\text{T}}) H_{\text{6p}}}{\Theta_{\text{cr.}}} = \frac{(\Delta W_{\text{coon}} + \Delta W_{\text{c6poc}}) H_{\text{6p}}}{\Theta_{\text{cr.}}} \frac{M^3/KBTY}{M^3/KBTY}$$
 при 1 м., вщора,

W_{ст} определяется в м³ по показаниям лимниграфов или реек в порярованном створе начала деривационного канала.

Если в деривацию поступает расход воды меньший ее пропусквой способности, а в верхнем бъефе имеются утечки или слив, то последние учитываются в величине W_{ст} в размерах, дополняющих поступающий расход до пропускной способности деривации. В том случае, когда для работы ГЭЦ производятся специальные попуски из расположенного выше водохранилища, то весь сливаемый сток по пусков должен быть учтен в W_{ст}. Из величины W_{ст} должно быть исключено количество воды, отбираемое из деривации другими воподользователями (ирригация, водоснабжение).

W_т определяется в м³ по расходомерам (водомерам.) на турбишах за рассматриваемый промежуток времени.

Не и Эет определяются, как указывалось раньше,

Потери стока в сооружениях могут быть разложены на 4 эле-

где: $\Delta W_{пром}$ включает расход воды на промыв отстойного бассейна от наносов, сброс шуги, льда, мусора, расход воды при манипуляших с затворами против замерзания; учет воды производится по продолжительности работы тарированного водослива или щитового отверстия;

∆W_{фил} включает расход воды на фильтрацию в канале, напорнюй камере, бассейне суточного регулирования, отстойнике и др. Величина ∆W_{фил}, зависит от рода грунта, типа и состояния облицовки сооружений, глубины наполнения, скорости воды в канале, темнературы, размеров сооружений и может быть вычислена достаточно точно для рассматриваемого сезона и режима* [12].

∆W_{тех} включает расход воды, забираемой из деривации на технические нужды станции, могущий быть легко и достаточно точно определен простыми замерами;

Здесь не рассматривается режим потерь в водохранилище, а также в верхжи бъефе плотины на фильтрацию через плотину, на испарение и т. д.

ΔW_{ут} включает расход воды на утечки через уплотнения в щитах и затворах гидротехнических сооружений, в затворах на стоящих агрегатах. Утечки часто можно определить непосредственным замером. Если же их измерить не удается, то можно определить по разности:

$$\Delta W_{y\tau} = (\Delta W_{c\tau} - W_{\tau}) - (\Delta W_{npow} + \Delta W_{\Phi HA} + \Delta W_{\tau ex} + \Delta W_{copoc})$$
 M^{\parallel} 43.

Для целей текущего контроля эксплоатации достаточно определять суммарно потери стока на фильтрацию и утечки по формуле, вытекающей из выражения 43.

$$\Delta W_{yt. M} \phi_{HA} = (W_{ct} - W_t) - (\Delta W_{HPOM} + \Delta W_{tex} + \Delta W_{c6;oc})$$
 M^3

Потери стока вследствие прямых сбросов на станции могут быть разложены на 3 элемента. Определяются эти потери по продолжительности работы терированного водослива.

где: ΔW_z включает сбрасываемую воду вследствие непринятия нагрузки потребителями (нагрузка ниже планового графика) или из-за неправильного режима работы БСР при суточном регулировании;

ΔW_{ав} включает сброс воды вследствие снижения нагрузки на ГЭЦ из-за аварии;

ΔW_{рем} включает сброс воды из-за ограничения рабочей мощности ГЭЦ (по машинам) вследствие нахождения оборудования в ремонте, при мощности по воде, превышающей рабочую мощность. Сюда же должен быть включен расход воды, идущий при сушке, балансировке и испытании агрегатов.

Разделение величины ΔW_{c6poc} на составляющие не представляет затруднений.

Определив потери расхода (стока) по различным причинам, на основании формулы 21 можем вычислить элементы составляющей удельного единичного расхода ГЭЦ от полных потерь расхода.

$$\begin{split} \Delta q_{npom}' &= \Delta W_{npom} \, \frac{H_{6p}}{\vartheta_{c\tau}} \\ \Delta q_{\phi mn}' &= \Delta W_{\phi mn} \, \frac{H_{6p}}{\vartheta_{c\tau}} \\ \Delta q_{\tau ex}' &= \Delta W_{\tau ex} \, \frac{H_{6p}}{\vartheta_{c\tau}} \\ \Delta q_{y\tau}' &= \Delta W_{y\tau} \, \frac{H_{6p}}{\vartheta_{c\tau}} \\ \Delta q_{c6poc}' &= \Delta W_{c6poc} \, \frac{H_{6p}}{\vartheta_{c\tau}} \end{split}$$

Следовательно

$$\Delta q_{er, psex} = \Delta q_{npom}' + \Delta q_{\phi \nu_{\theta}}' + \Delta q_{yr}' + \Delta q_{re}' + \Delta q_{eopoe}'$$
 . . 46.

Авализ составляющей удельного единичного расхода, использованной в агрегатах станции

Формулу 23 для удельного единичного расхода нетто станции можно представить в следующем виде:

$$q_{\rm cr. \; Her} = \frac{W_{\rm r} \cdot H_{\rm MC}}{\Im_{\rm cr}} = 367 + \Delta q_{\rm r}' + \Delta q_{\rm r}' \; {\rm M}^3/{\rm KBTQ} \; {\rm nph} \; 1 \; {\rm M} \; . \; . \; 47,$$

где ∆q; — составляющая удельного единичного расхода от потерь в турбине,

Дq_r — составляющая удельного единичного расхода от потерь в генераторе.

С другой стороны, из выражения 8 следует:

$$q_{\rm es.} = \frac{367}{\eta_{\rm T} \cdot \eta_{\rm E}}$$
 м³/квтч при 1 м напора на ГЭЦ . . . 48

тле: η_1 — фактический КПД турбины,

η, - фактический КПД генератора.

Отношение потерь в турбине к потерям в генераторе будет равно

Решая совместно уравнения 47 и 49, найдем выражения для вычисления составляющих потерь в турбине и генераторах

$$\Delta q_{\rm r}^{\prime} = \frac{(q_{\rm er,\, ser}^{\prime} - 367) (1 - \eta_{\rm r})}{2 - \eta_{\rm r} - \eta_{\rm r}} \, {\it м}^3/{\it к}$$
втч при 1 м 50

На гидростанции должны быть заранее построены кривые зависимости КПД генераторов от нагрузки и $\cos \varphi$ $\eta_r = f_1(N, \cos \varphi)$ и кривые зависимости КПД турбин от нагрузки при различных напорах $\eta_\tau = f_2(N, H)$.

По фактическим нагрузкам агрегатов и сов ф, пользуясь указанными выше кривыми, можно определить значение средневзвешенного КПД генератора:

где* η_n — КПД генератора при неизменной нагрузке N_n и $\cos \varphi$ в продолжении t_n часов.

КПД генераторов станции в целом будет равен

где: η_{г. п} — средневзвешенный КПД генератора, работавшего со среднесуточной нагрузкой N_{ср. п}

Вычислив значение $\eta_{e, er}$, вообще мало изменяющееся при изменении режима работы ГЭЦ, определяем по формуле 48 фактический КПД турбин

$$\eta_{r, cr} = \frac{367}{q_{cr, ner} \cdot \eta_{r, cr}}$$

Пользуясь формулами 50 и 51, находим составляющие потерь Δq_r и Δq_r . Для определения дополнительных потерь в агрегатах вследствие неблагоприятного режима работы, например, из-за недогрузки или нерационального распределения нагрузки между агрегатами, можно применить следующий прием: по кривым $\eta_r = i_1(N, \cos \varphi)$ и $\eta_\tau = i_2(N, H)$ вычисляются средневзвешенные значения КПД генераторов η_r^0 и турбин η_r^0 с учетом нормального (экономичного) покрытия фактического графика нагрузки ГЭЦ и затем, по формулам 48, 50 и 51 определяется возможный удельный единичный расход нетто и его составляющие

$$q_{e\tau,\;\text{He}\tau}^{e'} = \frac{367}{\eta_e^a \cdot \gamma_\tau^a} \; ; \; \; \Delta q_\tau^{a'} \; \text{if} \; \; \Delta q_e^{a'} . \label{eq:qeta}$$

Дополнительные потери в генераторе и турбине по сравнению с возможными потерями при рациональном режиме работы будут равны

$$\Delta q_{r}^{'} - \Delta q_{\overline{r}}^{o'} \times \Delta q_{r}^{'} - \Delta q_{r}^{o'}$$

Дополнительные потери в агрегате в целом из-за неблагоприятного режима будут равны:

$$\Delta q_{\rm pesc, arp} = q_{\rm cr. \ ner} - q_{\rm cr. \ ner}^{o^*} \, {\it м}^3/{\rm квтч}$$
 при 1 м напора на ГЭЦ . 54

Итак, удельный единичный расход воды на станции может быть представлен состоящим из суммы составляющих потерь в элементах сооружений и оборудования, что позволяет выявлять источники и размер потерь выработки, подлежащие устранению.

$$q'_{c\tau} = 367 + \Delta q'_{c\tau, \; uan} + \Delta q'_{c\tau, \; pacx} + \Delta q'_{c\tau, \; \tau} + \Delta q'_{c\tau, \; \tau} \, m^3/квтч при 1 м напора. 55$$

Если при вычислении удельного расхода воды на ГЭЦ подведенную и полезную энергию выразить в одних и тех же единицахкиловаттчасах или килограммометрах, то выражение для удельного единичного расхода примет следующий вид:

Структура выражения q" позволяет также трактовать q" как условный удельный расход (в м³/квтч) при приведении станций к одному метру напора, но уменьшенный в 367 раз.

Применяя в качестве ноказателя эффективности величину q", при авализе ее мы будем оперировать с дробными значениями потерь в формула 55 примет следующий вид:

Анализ удельного единичного расхода для гидроэнергосистемы

Приведенный выше анализ удельного единичного расхода воды из станции, при кажущейся его сложности, просто и легко осуществим. Подобный анализ необходим для выявления дефектных узлов из ГЭЦ, являющихся источником потерь выработки. Полный анализ показателя нет нужды производить ежесуточно, но он обязателен для характерных режимов (сезонов). Для полного анализа достаточно віять характерные сутки. Анализ же по укрупненным составляющим (например уравнение 55) с выделением сбросов, чрезвычайно прост, по очень важен для текущего контроля режима работы ГЭЦ, поощрения персонала и др.

Имея составляющие удельного единичного расхода по гидростанциям системы, согласно таблице 1, можем вывести составляющие для удельного единичного расхода гидроэнергосистемы (см. табл. 1).

Отдельные составляющие единичного расхода для энергосистемы, не указанные в таблице 1, могут быть вычислены по следующей формуле:

$$\Delta q_{\text{cut},x} = \frac{\Delta q_{\text{crt}x}^{'}, \vartheta_{\text{crt}} + \Delta q_{\text{crt}2x}^{'}, \vartheta_{\text{crt}2} + \cdots}{\vartheta_{\text{crt}} + \vartheta_{\text{crt}2} + \cdots} = \frac{\Sigma_{1}^{n} \Delta q_{\text{crt},x}^{'}, \vartheta_{\text{crt},x}^{'}, \vartheta_{\text{crt},x}^{'}}{\Sigma_{1}^{n} \vartheta_{\text{crt},x}^{'}}$$
 59,

гле: $\Delta q_{\rm cr. \ H. \ K}$ — составляющая удельного единичного расхода станции от вида потерь—K,

Э_{ст. и} — выработка станции п за рассматриваемый промежуток времени (сутки).

Принципы нормирования энергетического показателя режима для гидростанций и гидроэнергосистем

Анализ водного баланса гидростанций и гидроэнергосистем позволяет установить объективные нормы эффективности использования водотока на ГЭЦ, имеющих различное назначение в энергосистеме (регулирующие, базисные и др.), а также имеющих различный состав и тип сооружений и оборудования. Использование для этой цели удельного единичного расхода воды наиболее удобно.

Маблица №1. , Составляющие удельного единичного расхода воды для ГЭЦ и гидрознергосистемы

M2 M2 M.D.	FAUL NºY	-	rausen	Jugaro Cicorago ao -	Негодные дамные	Nº Nº
ď.	8cms		9'emn	2 tuder	Va; Han, Jonn	8 u 14
2.	Ag'		ag'	Agene- Now	When; Huen	18 420
	19 9'81		19'sn	100	alle	
	Dag'vi	* * *	Aqua		10 1 × 5/0)	40
	69 numel		A Grown	9 11307	Allowithman of (0)	
	ag'		Ag'men	1 24	EHem. i True Flat.	
	Agreed.		A Garage 19		G // cos	
	Agons, pure	*	Denin pares	49 CHEMPIER		21422
	Agner 1	****	Dogner 17		AWADAM D	1
1 1	Aginer.s.		Agmez n		AlVoer n	45
	agegras. 1		4. Getween		aWespec n	
100	ad muspes	*:X:*	Smeet 17		orneil no pasnocru	
1 1	9cm 5.1100		Gene, 17, 1100	Timen No		23 u 25
1	Agen.s	• • •	49'cm. 12		Part 7 = S(N, Gos W).	50
	DOY'S AMOUNT		Office apri		2°:2°: 2=5(N,H).	54 9)

Дополнительный показатель, характеризующий отклонение от благоприятных режимов работы агрегатов.

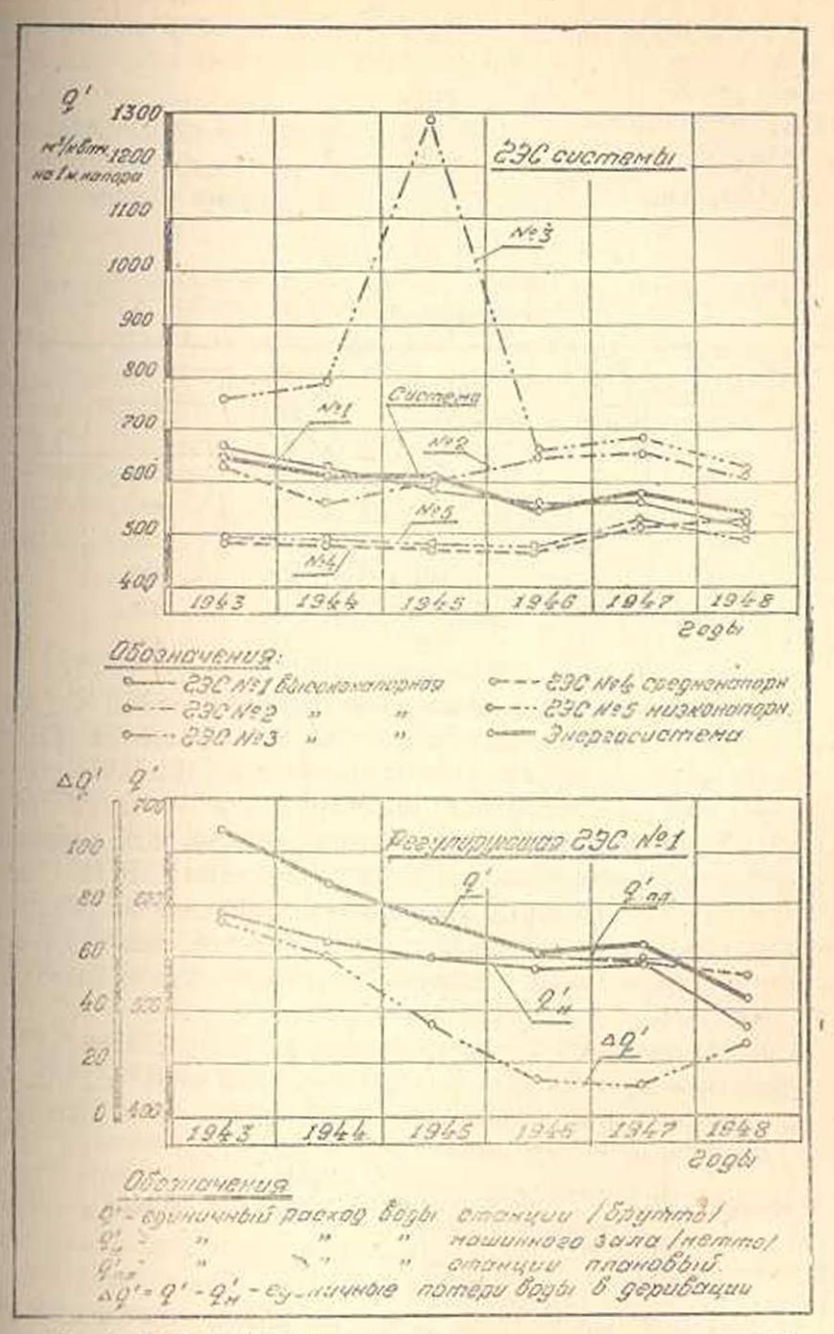


Рис. 3. Показатели водно-энергетического режима гидросганций системы Арменэнерго.

В виде иллюстрации в таблице 2 и рис. З приведены среднегодовые удельные единичные расходы воды по гидростанциям Армянской эпергетической системы, а также единичные расходы энергосистемы в целом за шесть лет [13].

ГЭЦ № 1 является основной регулирующей гидростанцией системы. ГЭЦ № 2 имеет небольшие возможности суточного регулирования. Остальные ГЭЦ работают в базе графика нагрузки.

Таблица Удельные единичные расходы воды гидростанций и энергосистемы Армянской ССР

Годы	ГЭЦ № 1 высокона- порная	ГЭЦ № 2 высокона- порная	ГЭЦ № 3 высокона- порная	ГЭЦ № 4 среднена- порная	ГЭЦ № 5 низкона- порвая	Вся энерго система
1943	671	628	758	490	492	647
1944	628	562	790	490	492	618
1945	586	606	1295	478	482	609
1946	555	652	661	479	480	552
1947	563	656	688	516	528	576
1948	512	613	625	514	498	532

Увеличение удельного единичного расхода по ГЭЦ № 2 в 1946 и 1947 гг. связано с вынужденным, по условиям ремонтов гидросооружений, режимом и не является характерным. Высокие значения уд. ед. расходов по ГЭЦ № 3 и увеличение их в 1944 и 1948 гг. по ГЭЦ № 4 и № 5 связаны со значительными потерями воды в деривации по причине ненадлежащего состояния последней, а по ГЭЦ № 3, кроме того, из-за интенсивной шуги. Планомерное снижение величины уд. ед. расходов по ГЭЦ № 1, ГЭЦ № 2 и энергосистеме, является результатом работы, проводимой в системе по рационализации водно-силового режима [14].

На основании анализа фактических уд. ед. расходов по ГЭЦ можно наметить пределы для среднегодовых значений уд. ед. расходов в зависимости от назначения ГЭЦ в системе и характеристик ее оборудования.

Базисные ГЭЦ 470—520 м³/квтч при 1 м напора Регулирующие ГЭЦ 480—560 " " Пиковые ГЭЦ 520—600 " "

Указанные величины уд. ед. расходов применимы главным образом для высоконапорных ГЭЦ средней и большей мощности.

Уточнение этих значений уд. ед. расходов должно быть произведено на основании анализа составляющих единичного расхода (таблица 1) для различных ГЭЦ.

Потери воды на некоторых гидростанциях достигают весьма внушительных размеров [15]. Величина потерь на утечки через плотнения механизмов и оборудования сооружений на некоторых ГЭЦ достигает 18%, годового стока воды. Расход воды на сброс шуги, льда, мусора, промыв и удаление наносов доходит ицогда до 28%, от годового стока. Потери расхода воды, связанные с режимом работы ГЭЦ в системе, происходящие часто по вине диспетчера или из-за отсутствия нагрузки, достигают в некоторых случаях до 15—20%, от годового стока. При работе агрегатов с недогрузкой (работа одини лишним агрегатом) потери энергии могут составить 2—3% сточной выработки ГЭЦ.

Удельный единичный расход воды учитывает все потери выработки и позволяет выявлять их, и поэтому является действительным эпергетическим показателем эффективности использования воды на ГЭЦ и в гидроэнергосистеме. Он позволяет объективно сравнивать поботу как отдельных ГЭЦ, так и гидроэнергосистем, выявлять и вормировать различные виды потерь воды и напора.

Для оценки эффективности эксплоатации ГЭЦ этот показатель должен служить одним из основных нормативов.

Выводы

 Применение "удельного единичного расхода" воды, как поклателя и метода анализа его, позволяет объективно сравнивать по эффективности работы отдельные гидростанции и гидроэнергосистемы.

- 2. Предлагаемый метод анализа водобаланса (энергобаланса) паростанции на основе пременения "удельного единичного расхода" воды легко осуществим, соответствует современным требованиям культуры эксплоатации гидростанций и позволяет выявить источники всех основных составляющих потерь выработки.
- Возможно объективное нормирование показателя эффективности работы гидростанций на основании проведения предложенного анализа водобаланса для гидростанций различных типов, состана сооружений и назначения в энергосистеме.
- 4. Проведение контрольных анализов водобаланся по укрупненным составляющим потерь на действующих гидростанциях должно зать существенный эффект в отношении улучшения водно-энергетического режима гидростанции, повышения выработки энергии, стимулирования работы эксплоатационного персонала.
- Возможность использования предложенного показателя эффективности гидростанции при проектировании и строительстве ГЭС может быть установлена после дополнительной проработки.

Водио-Энергетический Институт Академии Наук Армянской ССР

АИТЕРАТУРА

- В. С. Баумгарт. Опыт эксплоатации ГЭС. Тр. 2-го Всесоюз. совещ. по эксплоатации гидростанций. 1946, стр. 63.
- В. В. Болотов.—Теоретические основы выбора экономичного режима сложной электроэнергетической системы, 1947, стр. 14.
- Правила технической эксплоатации электрических станций и сетей. МЭС СССР 1943, стр. 146.
- Инструкция по составлению "отчета гидроэлектростанции о выполнении плана по производству" (форма Э—4—РГ), 1944, стр. 7.
- Л. Золотарев. Планирование эксплоатации гидроэлектрических станций, Гидро-тех. стр-во, № 2. 1941, стр. 11.
- Т. Л. Золотарев. Гидроэлектроцентраль в электроэнергетической системе. 1939, стр. 78.
- И. М. Соколов.—Измерение, учет и нормирование потерь воды и напоров. Тр. 2-го Всесоюз: совещ, по эксплоатации гидроэл, станций, 1946, стр. 35.
- Г. Г. Горбунов. Эффективность работы ГЭС, планирование и учет их эксплоатации. Тр. 2-го Всесоюз. совещ. по эксплоатации гидроэл. станций. 1946, стр. 20.
- 9. А. К. Дарманчев. Показатели и графики пагрузки энергет. систем, 1935, стр. 181.
- 10. А. А. Морозов.-Использование водной эпергии, 1948, стр. 136.
- 11. И. В. Егиазаров. -- Гидроэл. силовые установки, ч. ПІ. 1937, стр. 57 и 168.
- А. А. Королев и С. С. Гинко.—Открытые подводящие каналы гидростанций, 1937, стр. 125.
- В. П. Мартынов, —Универсальный показатель водно-мергет, режима гидроэл. станции и гидроэлергосистемы, ДАН Арм. ССР, IX, № 1, 1948.
- В. П. Мартынов.—К вопросу суточного регулирования в Армянской энергет. системе. Изв. АН Арм. ССР. № 9, стр. 50, 1947.
- Д. О. Сейфулла.—Повышение эффективности работы ГЭС. Тр. 2-го Всесоюз. совещ. по эксплоатации гидростанций, 1946, стр. 38.

4. 9. Umrshind

ԷՆԵՐԳԵՏԻԿ ՑՈՒՑԱՆԻՇ՝ ՀԻԴՐՈԷԼԵԿՏՐԱԿԱՆ ԿԱՅԱՆԻ ԵՎ ՀԻԴՐՈՍԻՍՏԵՄԻ ՋՐԱ-ՈՒԺԱՅԻՆ ՌԵԺԻՄԻ ԱՐԴՅՈՒՆԱՎԵՏՈՒԹՅԱՆ ԱՆԱԼԻԶԻ ՀԱՍԱՐ

UTORDONFU

Հիդրոկայաններում դանադան պատճառներով տեղի ունի ջրի դդալի դերածախու, որը պետք է գնահատվի այնպես, ինչպես վառելանյութի դերածախոր ջերժային էլեկտրակայաններում և պետք է արտացոլվի կայանի աշխատանքի արդյունավետության ցուցանիշներում։

Գոյություն ունեցող Էներդետիկ ցուցանիշները լրիվ չեն արտածայտում դանազան հիղրոէներդոցենտրալների ջրհոսջի արդյունավետ օգտադործման, Էներդորալանսի անտլիզի և արտադրանջի կորուստի աղբյուրների հայտնաբերման, նրանց արդյունավետ աշխատանջի չափավորման համար իրար հետ համեմատելու և ընտրոշելու պահանջները։ Նույնը վերաբերում է նաև հիղրոէներդոսիստեմների էներդետիկ ցուցանիշներին ամըողջությամբ վերցված։ Հեղինակն առաջարկել է ռեժիմի ռացիոնալ Էներգետիկ ցուցանիչ, որը թավարար կերպով է ապահովում վերը թերված պահանջներին։ Առաներ նիգրոկայանի համար այդ ցուցանիչը կոչվում է հիդրակայանի ջրի «հասկարար նղակի ծախո և արտահայտվում է հետևյալ բանաձևով.

$$q_{m} = \frac{W_{n} H_{\delta p \cdot n}}{9_{crn}} = \frac{367}{\eta_{n}} d^{n} / 4 d^{md} + 4 m_{j} m^{m} m cd + 1 d d m_{j} d m^{n} + 4 m_{j} m cd + 1 d d m_{j} d m^{n} + 1 d$$

որտեղ՝ W_a - Հրի հասըն է խորանարդ մետրերով, որը կարելի է օգտագործել հիդրոէներդոցենարալում, Հրատարի Թողունակության սահմաններում,

Hop, n - 5 իզրոկներգոցենարալի լրիվ հաշվային թրուտառ հնշուժե է ժետրերով,

3 ... - հիդրո Էնհրդայեն արալի շիների վրա կայանի արտադրանքն է կիլովատ ժամերով,

եր -կայանի օգտակար գործուննության լրիվ գործակիցն է՝ փասատկանը,

(գ՛ս — անսակարար ծախսը, այսինըն շիդրոէներդոցենաբալին տարված էներգիայի (կգրմ) շարարհրությունը շիդրոցենաբալի շիների վրա ստացված օգտակար էներգիային (կվտժ)։

Թեև զ'շ չափում չունեցող Թիվ է, րայց դործնականում նրա օդատգործման ճարմարության ճամար այն կարելի է դիտել որպես թրուտատ յրի պայմանական տեսակարար ծախս (մ կվաժ), ենքե ճիղրուներդոցենտբան ունենար մեկ մետր ճնչում և արտադրեր նույն քանակի էներդիա Յառ, իր միջով բաց Թոգնելով W ո. Hop. ո մ ջրի ճոսը։

Դործնականորեն մատչելի գ՛-ի մինիմալ արժեքը հիգրոսարքավոթուների, ջրանիկների և գեներատորների օգտակար գործունեության հնաբավոր մաքորհալ գործակցի սահմաններում կլինի՝ գտո = 420 մ կվաժ մեկ մետր ճնչման գեպքում։ Հիդրոէներդոսիստեմի համար ամբողջությամբ վերդրած դուրս է բերված նույնպիսի ցուցանիչ՝ հիդրոեներգոսիստեմի տեսակարար եզակի ջրի ծախս։

$$q'_{\text{inst}} = \frac{\sum_{i}^{'} n_{W_B} \cdot H_{\text{5p. u}}}{\sum_{i}^{n} \vartheta_{\text{cr. u}}} \frac{d^{n}/q q_{md}}{q \delta_{mpned}}, \\ \tilde{spaper}_{i}^{p} \tilde{spaper}$$

Այստեղ համարիչում ունենք պայմանական հոսք, որը պիտի անցնի սիստեմի րոլոր կայանների միջով, ենե նրանք րոլորը րերվեն մեկ մետր ճնչման։ Հայտարարում արված է րոլոր հիղրոէներգոցենտրայների արտադրանքը։

Տեսակարար եղակի ջրի ծախսի օգնությամբ կարելի է հարմար կերպոլ կատարել հիդրոկայանի Էնհրդորալանսի անալիզը։

Հիդրուններդոցենարայի չահագործման մեջ կիրառվող ասվորական չափանների միջոցով գ՛ մեծու թյունն ինչպես հիդրուններդոցենարայի, այնպես էլ հիդրուններդոսիստեմի համար կարելի է բաժանել բավացուցիչ մատերի Դա թույլ է տալիս հեշտ կերպով հայտնարերել արտադրանքի կոթուստների աղբյուրները և ձևոր առնել նրանց վերացման միջոցները։ Հիզրոէնհրգոցննարալում (գլխավորապես բարձր ձնշման) անսակարար եղակի ծախոի անյալիզի ծիման վրա կարելի է նշել գ՛շ, տարեկան միջին արժեթների ծամար սահմաններ, որոնք կախված կլինեն սիստեմում ծիղրոէներդոցենարալի նշանակումից և նրա սարջավորման ընույթից։

Հիմնական ՏիդրոԷներգոցենարալներ 470—520 մ⁸ կվաժ 1 մ ճնչման դեպքում,

կարդավորիչ հիդրոէլնկարակայաններ 480—560 » » ոկիկային հիդրոէներդոցննարայներ 520—600 » »

Տնսակարար նղակի ծախոսերի այդ արժերների մշառւմը պետք է կատարել այն ծիդրոէներդոցենարալների գ՛լ, բազկացուցիչների անալիդի ճիման վրա, որոնք էներդսսիստեմում ունեն տարբեր սարջավորում և նշանակում, հաշվի առնելով աշխատանքը տարվա տարբեր չրջաններում (հղանակներին) և այն փոփոխությունները, որոնք տեղի ունեն շահագորձման պրոցեսում։

*

SbQb4U9bf 2U34U4U5 UUR 9bSNb@30b6bbfb U4U9bUbU3b ИЗВЕСТИЯ АКАДЕМИИ НАУК АРМЯНСКОЙ ССР

Му-мир., рб. 6 мМр. фимир. И, № 2, 1949 Физ.-мат., остести, и тех, науки

гидротехника

С. Я. Вартазаров

Движение внутриводного льда в потоке

Успешность мероприятий по борьбе с шугой в сооружениях гидростанций определяется степенью знания условий движения шуговых часс в потоке и закономерностей, управляющих этим движением.

В основу дальнейшего изложения положены материалы наблюдений автора на реках Закавказья [1,2,3], некоторые литературные длиные [4,5,6] и, главным образом, результаты исследований, проведения на шуговой станции Водно-Энергетического Института Академия Наук Армянской ССР, на р. Ахурян.

1. Механизм всплывания частиц льда

С момента перехода потока в переохлажденное состояние в нем начинают зарождаться частицы внутриводного льда. Отдельные наблюдения на реках, а также лабораторные опыты [1] позволили уставовить, что возникновение зародышевых частиц имеет место по всей глубине потока. Не останавливаясь на физической стороне процесса, что будет дано нами особо, приведем наиболее характерные результаты опытов, проведенных на шуговой станции. Важность оценки условий этого процесса очевидна, так как этим удастся проследить за чеханизмом всплывания не только зародышевых частиц, но и сфоршироващихся элементов внутриводного льда.

Опыты проводились в двух видах—отбором проб с различных глубив, при различных стадиях переохлаждения реки и в визуальвом наблюдении за состоянием потока, при освещении его опущенвыми на дно канала мощными электро-лампами. Пробы брались в терметические стеклянные сосуды. При интенсивном освещении определялось насыщение пробы ледяными кристалликами.

Некоторые данные изблюдений приведены в таблице 1.

С достаточной достоверностью можно установить, что в первый вериод переохдаждения потока помимо тончайших пластинок льда, образующихся на поверхности потока, при ломке замерзающей поверхностной пленки, по всей глубине ясно наблюдаются кристаллы льда, крупностью в доли миллиметра. Наибольшая крупность частиц в пробах не превосходила 0,5 мм для единичных элементов.

Распределение насыщенности потока зародышевыми частицами имеет максимум вблизи центра, с постепенным уменьшением к дну и поверхности.

†0 Воздуха	t ⁰ воды	Сумма ср. сут. t ^о к дию наблюд.	Состоя- ние реки	Састоя- ние по- годы	Расход реки .4 ³ /с	Среди. скорость	Глубина реки в м
5	-0,08	-4,2	Чисто	Ясно	4.6	1,7	1,4
						1	
8	-0,01	-9,6	Неболь- шие за- береги, слабый ход шуги	Ясно	5,2	1,8	1,6

Глуб взя- тия про- бы в м	Характеристика пробы						
пов.	Частицы льда в незначительном колнчестве, Имеются крупные (до 2—3 мм) тонкие плас- тинки льда. Много мельчайших ледяных пылинок.						
0,7	Проба насыщена мельчайшими частицами льда от пылинок до 0,5 мм. Проба представляет собой суспензию, состоящую из льда и воды						
1,3	Довольно значительное насыщение пробы частицами, однако меньше, чем в центре потока.						
пов.	В пробе частицы шуги, чечевицеобразной формы. Ковцентрация $21^{\circ}/_{\circ}$. Мелких зародышевых частиц нет.						
0,8	Отдельные разрозненные частицы шуги, От- мечены случайные элементарные частицы.						
1,5	Вода в пробе чистая. Кристаллики льда не замечены.						

В непосредственной близости от дна, при тех гидравлических зарактеристиках реки, при которых проводились опыты, в пробе оказывались единичные частицы льда.

Таким образом, качественно подтверждается, что уравнения распределения частиц пулевой (практически) гидравлической крупности, ливемые В. М. Маккавеевым [7], О' Брайаном и М. А. Великановым [8], справедливы. Распределение этих частиц (безразлично наносов или льда) подчиняется нормальному закону, т. е. имеют вид:

$$v=v_0\exp-\int_0^{\frac{\kappa}{C_m}} dy$$
 (1),

в которой

придонная (соотв. поверхностная) концентрация,

Си-гидравлическая крупность частиц,

з-коэфициент турбулентного перемешивания.

Аналогичная зависимость, из несколько иных соображений, дана Калинске [9].

По мере роста кристаллов льда, при поддержании соответствующих термических условий, гидравлическая крупность ледяных частиц возрастает и достигает конечного значения, свойственного данной форме льда, образующегося в определенном комплексе физикогидрологических условий.

К этому времени распределение частиц меняется, как это видно из таблицы: уменьшается число зародышевых элементов и возрастает число сформировавшихся частиц. Для этой стадии зависимость (1) теряет силу.

Нашими наблюдениями [1] подмечено, что каждая форма внутриводного льда (шуги) имеет свойственную ей предельную крупность частии.

Более крупные образования, движущиеся в потоке, являются следствием последующих процессов объединения элементарных частиц, что будет описано ниже.

Гидравлическая крупность сформировавшихся, элементарных частиц, зависит от их очертания, которое, как это установлено наблюдениями, может быть пластинчатое, сферическое и чечевицеобразвое, реже—игольчатое.

На подавляющем большинстве горных рек наблюдается образование внутриводного льда сферической и чечевицеобразной формы.*

Несмотря на некоторые различия в форме отдельных частиц, могут быть установлены зависимости между гидравлической крупвостью и средним диаметром частиц, представляющие интерес при расчете ледозащитных устройств.

Причины возникновения тех или иных форм частиц внутриводного льда определяются процессами кристаллизации и в настоящем изложении не рассматряваются.

П. И. Глинка [6], на основании полевых опытов, дает для частиц чечевицеобразной формы следующую связь между гидравлической крупностью С_т и приведенным диаметром частиц d в мм;

которая, выведенная для условий р. Чирчик, дала хорошее совпадение и с нашими замерами на Закавказских реках.

Для частиц сферической формы, или близкой к ней, нами получена, на основании лабораторных и полевых экспериментов, следующая зависимость:

в которой d-в см.

Таблица 2

Диаметр частиц мм	Сш см/сек, по формуле Глинки	По опытам на шуговой станции	0/ ₀ 0/о разбро- са опытных точек
1	0,79	1,25	± 16
2	2,1	2,43	± 13
3	3,27	3,11	± 8
5	4,57	4,31	± 8
7	5,85	5,23	± 7
10	7,22	6,52	土 7

В таблице приведены средние данные замеренных скоростей всплывания. Ввиду трудности экспериментирования с частицами малой крупности, разброс точек получился довольно значительный.

Крупность частиц составляет в среднем 2—6 мм, гидравлическая крупность доходит до 5—6 см/сек, что обусловливает, при низком уровне турбулентности потока, интенсивное всплывание шуги с последующими своеобразными явлениями скопления частиц в шуговые комья и пласты.

Там, где вертикальные компоненты скорости невелики о С_ш, и энергия циркуляционного течения в русле незначительная (см. ниже), имеет место устойчивое движение ледяных частиц по направлению к поверхности потока. Подмечено, что на своем пути из нижних слоев в верхние, частицы льда сближаются, образуя группы сперва по 2—3 частицы, а затем и большего размера.

Характерной особенностью движения образовавшихся комьев является увеличение их гидравлической крупности, учащение сталкивания комьев и объединение их в более крупные скопления. В образовавшихся комьях можно (встретить как крупные, полностью сформировавшиеся частицы, так и частицы, находящиеся в процессе роста. Таким образом, совместное движение частиц различной крупвости и комьев шуги как бы увеличивает среднюю гидравлическую врупность частиц, вследствие чего мелкие частицы достигают верхвих слоев потока почти в одно и то же время, что и крупные.

Авалогичное явление было подмечено в наших лабораторных опытах, в которых, при пуске в поток смесидутых стеклянных шариков различной крупности, удачно моделирующих шугу, благоляря хорошей смачиваемости, крупные частицы заносились глубже, нем когда в поток были пущены лишь частицы большого диаметра.

Таблица З

Pare .	Средняя	Состав смеси в %/6%/n диаметр частиц в .м.м				160 la			
Глубина см	скорость см/сек					\mathcal{MM}	Характеристика движения		
		2	2 2 5 7 10		10	9			
28	84			15	20	65	Частицы движутся в верхней трети потока. Крупные частицы концентрируются на поверхности,		
28	86	15	15	15	15	40	Частицы распределены в верхних слоях потока, с убыванием круп- ности к дву. Отдельные частицы в 7—10 мм движутся вместе с мел- кими в средней трети.		
28	157	-	-	15	15	65	Частицы движутся в верхней по- ловине потока. Крупные частицы движутся на поверхности.		
28	155	15	15	15	15	40	Частицы распределены почти по всему сечению, с убыванием круп- ности к дну. Крупные частицы группируются вместе с мелкими и обнаруживаются в нижней трети потока. Движение крупных частиц устойчиво.		

Это явление может быть объяснено следующим образом.

Как ноказано Бьеркнесом [10,11] и затем экспериментально водтверждено Шулейкиным [12] при движении в жидкости тел любой формы, между ними возникают т. н. пондеромоторные силы притяжения или отталкивания, в зависимости от того, движутся ли тела рядом или друг за другом. При движении рядом именот место наибольшие силы притяжения, определяемые по формуле

$$f = \pi \rho \frac{v^2}{2g} - \frac{r^6}{l^4} \cdot \cdot \cdot \cdot \cdot \cdot \cdot (4),$$

в которой

і-сила взаимодействия,

г-радиус тела.

1-расстояние между центрами тяжести,

Известия И. № 2 -10

v-скорость движения тел,

р-плотность жидкости,

g-ускорение силы тяжести.

При движении тел друг за другом проявляются силы отталкивания, определяемые по той же формуле, но с обратным знаком. При движении тел так, что линия, соединяющая их центры, составляет 54°40' к направлению движения, силы взаимодействия равны нулю.

Именно вследствие этого взаимодействия происходит сближение частиц и их последующее формирование в комья, а также возникают характерные разрывы в шуговых пластах (см. табл. 4) по длине потока и самостоятельное движение частиц и комьев друг за другом, легко наблюдаемое при малой концентрации шуги.

Поле пондеромоторных сил накладывается на скоростное поле турбулентного потока (см. ниже), взаимодействуя с ним и определяя движение шуги.

Чем больше скопление частиц, т. е. чем больше г этого скопления и чем больше гидравлическая его крупность, т. е. С_ш, тем, очевидно, будут больше силы взаимодействия, тем интенсивней будет происходить накопление шуговых масс в верхних слоях потока.

Этот же процесс определяет возникновение шуговых пластов и ковров, покрывающих значительную площадь поверхности потока при дальнейшем движении частиц льда в установившемся потоке,

Для примера можно отметить, что при движении на поверхности потока двух комьев шуги с радиусом 0,2 м и на расстоянии 0,4 м, со скоростью 1 м/сек, сила притяжения (соотв. отталкивания) составит≈3 кг.

Дополнительное понимание условий всплывания ледяных частиц и формирование комьев шуги, может быть получено из рассмотрения данных по осаждению коагулированных осадков в очистных сооружениях.

Общензвестен факт интенсификации осаждения мелких частиц при введении коагулянта, образующего хлопья, захватывающие значительное количество мелких фракций наносов, которые сами по себе оседают весьма медленно.

Интересную оценку влияния турбулентности на процессы осаждения дает Кэмп [13]. Он показывает, что при наличии в бассейне различных фракций (напр. двух), число столкновений частиц диаметром D₁ и D₂ в количестве п₁ и п₂, на единицу объема, выразится следующим соотношением:

$$N = \frac{n_1 n_2}{6} \sqrt{\frac{f}{80R} v^2 (D_1 + D_2)^3} ... (5),$$

где f-коэфициент сопротивления,

коэфициент кинематической вязкости,

R - гидравлический радиус потока,

v -- средняя скорость потока.

Эта зависимость показывает, что число столкновений частиц за-

васит не только от числа частиц и их диаметров, но и пропорциопольно $V^{1,5}$ и обратно пропорционально \sqrt{R} .

Следовательно, наличие некоторой скорости течения является фактором благоприятным для осаждения или всплывания, и потому в ведленно движущемся потоке явление будет происходить более интенсивно, чем в стоячей воде.

Очевидно, что скорость не должна превосходить некоторого вредела, увязанного с диаметром частиц, после которого турбулентвость начинает влиять отрицательно, тормозя осаждение и разрушая образовавшиеся скопления.

Кэмп указывает на наблюдающееся на большинстве очистных сооружений ускорение осаждения за счет хлопьеобразования, благодиря которому теряется различие между скоростями падения частичек различного диаметра; аналогичный процесс—образование комьев шуги.

Изложенное дает возможность ближе уяснить картину всплывания ледяных частиц в потоке со слабой турбулентностью, в котором 4 «Сп.*.

Всилывание ледяных частиц различных размеров, с средней гидравлической крупностью, определяемой по формулам (2) и (3), провсходит под действием вертикальных компонентов скоростей, подъемной силы частиц и пондеромоторных сил, заставляющих одиночные частицы сближаться и формировать небольшие скопления—комья, а затем уже мощные пласты шуги на поверхности потока. Турбулентность потока, до определенного предела, способствует формированию шуговых скоплений, а следовательно и ускорению всплывания. При наличии в потоке частиц различной гидравлической крупвости нет существенного различия между их скоростью всплывания, в скау взаимного влияния частиц.

Образовавшиеся на поверхности пласты шуги движутся, следуя за скоростным полем потока.

Кинематика потока, насыщенного шугой

Движение крупных частиц шуги в чистой воде создает своеобразную визуализацию потока, что позволяет проследить за характером течения в различных стадиях ледообразования.

Оныты Б. А. Фидмана, проведенные им в лаборатории руслових процессов М. А. Великанова, по киносъемке движущихся в потоке частиц [14, 15], убедительно показали, что схема пронизывания всей толщи потока вихрями, срывающимися от дна и стенок, не имеет места.

^{*} Всюду, где идет речь о характерной величине C_m , мы подразумеваем средк $\Sigma m C_m$ иес значение для множества частиц и именно $C_m = \frac{k}{\sum_{k=1}^{k} m}$, где-- m число частиц.

Наши опыты с моделями шуги также не обнаружили резких вертикальных токов; помимо общего движения вверх частиц с отрицательной гидравлической круппостью, распределенные в верхней зоне частицы двигались с очень незначительными вертикальными смещениями, которые скорей определялись взаимодействием частиц, чем структурой потока.

Особенно ярко этот вид течения был наблюден нами на шуговой станции. Как одиночные частицы льда, так и комья до сформирования шуговых пластов движутся параллельно дну с незначительными колебаниями. Подъем и опускание взвешенных элементов определялись местными отклонениями течения при обтекании кампей. Над гравелистым или песчаным дном скопления шуги проносятся с почти параллельной дну траекторней.

Интересно отметить, что уровень турбулентности определяет степень дисперсности шуговых скоплений, но мало меняет форму движения.

Формирование пластов шуги, плывущих по поверхности реки или канала, находится в зависимости от скоростного режима потока и количества шуги.

Раздробление пластов происходит при скоростях свыше 2,5—3 м/сек. Предельная скорость для устойчивости их дана ниже.

В большинстве случаев шуговые пласты движутся по поверхности реки, заполняя зеркало с различной степенью сплошности. Характер этого явления был нами подробно освещен [3].

Поскольку вертикальные компоненты скорости в незначительной степени влияют на устойчивость движения шуги, обладающей значительной гидравлической крупностью, следует искать иной, более мощный механизм, который был бы способен разрушить шуговые скопления и увлечь их в глубину.

Как показали наблюдения автора над транспортирующими шугу потоками, этим механизмом нужно считать поперечную циркуляцию.

Вряд ли требуется доказательство наличия в руслах поперечной циркуляции после работ Лосиевского, Громеки, А. Л. Миловича и М. В. Потапова; поскольку однако непосредственные наблюдения над явлением встречаются довольно редко и картина движения строится по косвенным данным, уместно привести некоторые характеристики, полученные в наших работах на шуговой станции.

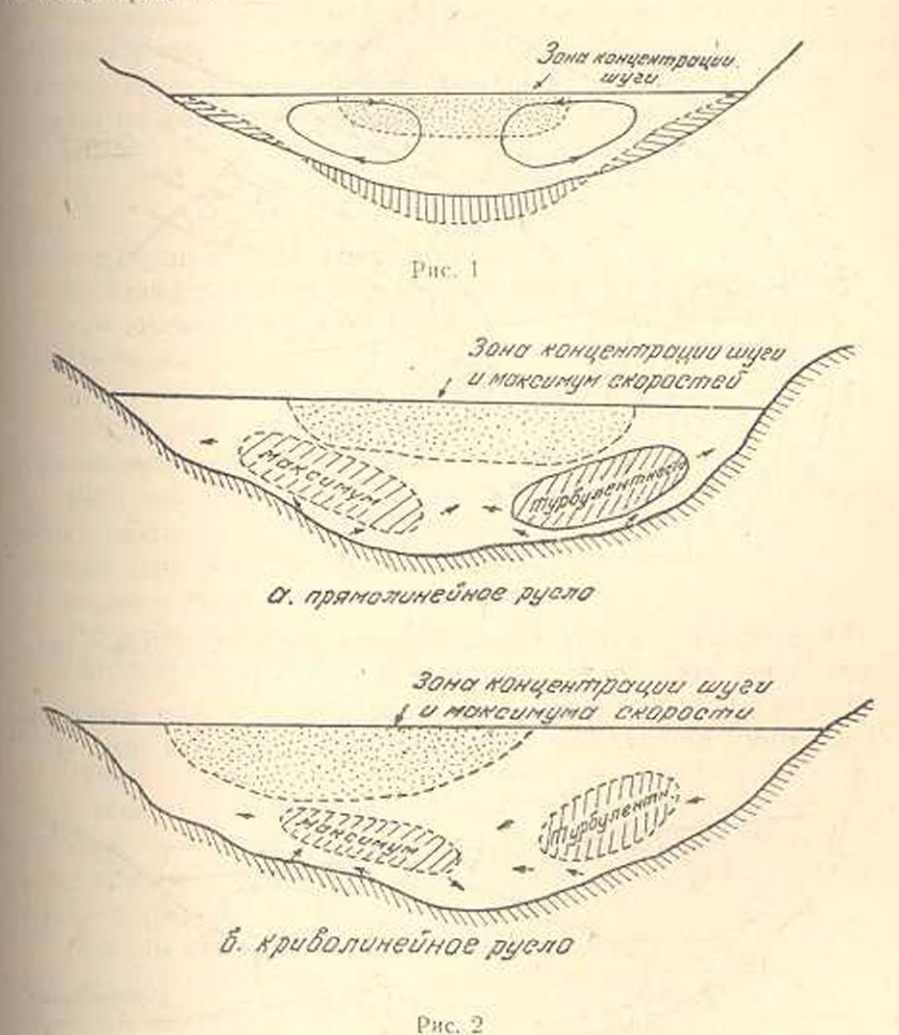
Для наблюдения был выбран прямолинейный участок длиною в 250—300м, т. е. 10—12 В с последующим поворотом, на р. Ахурян, выше плотины Ленинаканской ГЭС.

Как указывалось, благодаря наличию скоплений шуги разной крупности и прозрачности воды, поток хорошо просматривался на всю глубину.

Картина движения представляется в следующем виде:

На прямолинейном участке реки можно наблюдать пологий парный винт с шагом в 10—15 глубин потока. Высота винта примерно равна глубине реки (рис. 1). Скопление шуги выносится из центральной части сечения, проподит вдоль дна*, поднимается вновь кверху и накапливается в сгрежневой части реки, давая характерную для движения шуги макопальную концентрацию в зоне с максимальной скоростью.

Таким образом прекрасно иллюстрируется схема движения циркуляционного потока, даваемая М. В. Потаповым [16,17, 18] (рис. 1), п водтверждается интересная схема турбулентного потока, даваемая Леяли [19] (рис. 2). Зоны максимальной турбулентности дают интенсивный выброс шуги, а в зоне максимальных скоростей происходит ях концентрация.



[&]quot; На этом этапе происходит зарождение "донного льда". Натолкнувшись на виступы дна частицы льда под действием гидродинамического давления примертил вследствие режеляции и продолжают нарастать, пока подъемная сила накошением массы не превзойдет силы сцепления "донного льда" с дном реки, восле чего происходит отрыв, и "донный лед" всплывает.

На повороте явление происходит следующим образом (рис. 3): винт, идущий вдоль внешней стороны закругления, развивается и захватывает почти все живое сечение; второй же—постепенно вырождается, а при крутом повороте вовсе теряется с тем, чтобы после поворота вновь развиться до нормальных размеров, соответствующих данному сечению. Шаг винта с 10—15 Н уменьшается до 4—7 Н на изгибе.

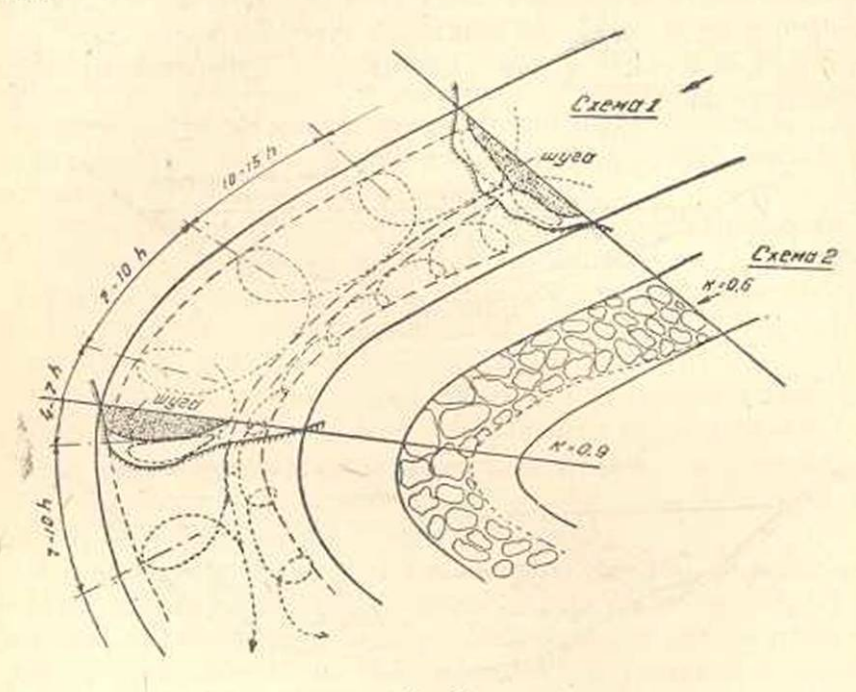


Рис. 3.

Вся шуга на повороте устремляется к внешней стороне кривой, образуя слой с неравномерной толщиной.

При больших скоплениях шуги слой движется, как монолитная масса, и потому направление винта несколько смещается (рис. 4).

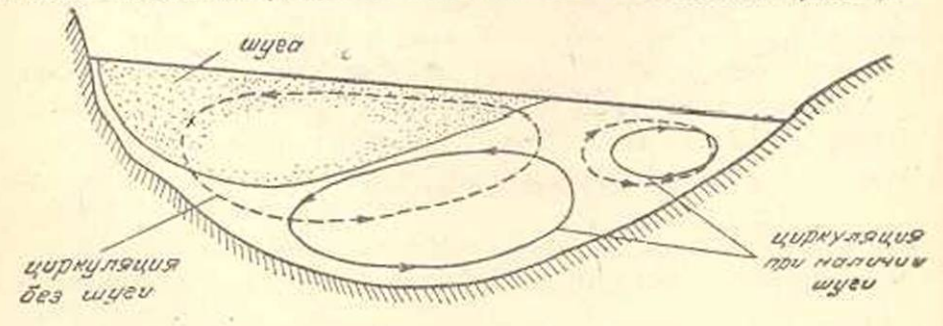


Рис. 4.

На прямых участках реки большой протяженности, с устойчивымы скалистым руслом, четкие контуры продольных циркуляционных тежений несколько скрадываются, уступая место местным циркуляциям франциенной длины, перемежающимся по течению и по ширине реки. Благодаря этому, на таких больших участках наблюдается устойчивое движение шуговых пластов подобно тому, как показано ш рис. 3.

Необходимо обратить внимание еще на одну особенность усташанвшегося движения шуговых скоплений, имеющую значение для проектирования шугозащитных устройств.

Сравнительная монолитность и связность шуги определяется ве только внутренними силами сцепления в слое между частицами, во и скоростным режимом пластов, движущихся, как и всякое плавающее в потоке тело, со скоростью большей, чем скорость потока. Величина превышения скорости пласта над скоростью потока определяется по формуле Коновалова [20] в следующем виде:

$$V_m = V_{nou} + \frac{V \overline{gi\gamma_m U}}{S_s \kappa \gamma}$$

где: і-поверхностный уклон потока,

В-плошадь миделевого сечения шугового пятна,

уш-объемный вес слоя шуги,

U-объем пласта,

к-коэфициент лобового сопротивления,

ү-удельный вес воды;

k принимается для тел неправильной формы в 0,5-0,6.

Величина превышения скорости движения тела над скоростью потока достигает 10—15%, что, вследствие возникновения между властами пондеромоторных сил, приводит к сближению пластов и к устойчивому движению.

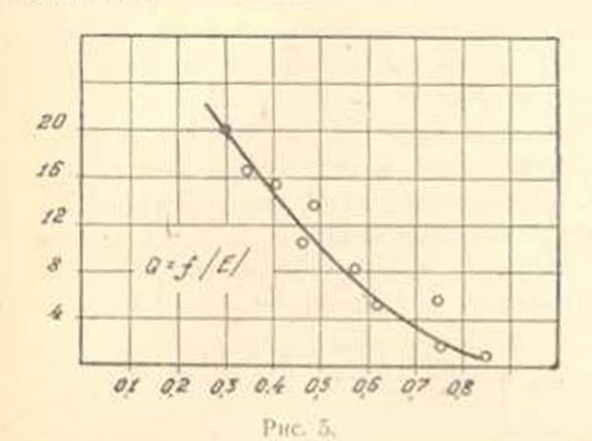
Развитие скорости V_{uv} сверх скорости потока V_{nov} происходит векотором участке для преодоления сил инерции.

Силы, действующие внутри шугового слоя

После того как под действием циркуляционных течений, пульсаций скоростей и поидеромоторных сил произошло формирование шугового слоя, в нем проявляются внутренние силы между частицами, которые определяют поведение шуговых скоплений как одвородных физических тел.

Каковы пределы условий, в которых внутренние силы сцепления шугового слоя сопротивляются внешним, разрушающим силам, будет установлено ниже.

Каждая частица в шуговом слое обвалакивается тончайшей пленкой воды. При движении по реке происходит постепенное уплотневие слоя, благодаря непрерывным колебательным движениям, испытиваемым слоем под воздействием поверхностного волнения. Частицы различной формы и крупности, вибрируя, образуют плотную массу. На рис. 7 показаны различные стадии всплывания ледяных частиц и уплотнения шугового слоя. Это уплотнение приводит к тому, что в установившемся состоянии шуговой слой движется с предельной концентрацией и между частицами шуги находится лишь молекулярная пленка воды, которая и определяет связность слоя силами поверхностного натяжения.



Для оценки величины этих сил, а также определения некоторых констант шуговых скоплений, умество привлечь исследования в области механики грунтов, в которой рассматриваются для грунтовых масс аналогичные вопросы.

Такая аналогия несколько условиа, но нам неизвестны другие методы рассмотрения взаимодействия

частиц под влиянием сил поверхностного натяжения.

Прежде всего необходимо установить предельную ведичину влагоемкости шугового слоя, которая, очевидно, будет отвечать, как и для условий грунта, полному заполнению пор шугового слоя водой. Для этого случая дается формула [21,22]

$$e = \frac{1}{\delta} - \frac{1}{\Delta}, \qquad (7),$$

в которой

е-полная влагоемкость, в долях единицы объема,

объемый вес слоя,

 Δ — удельный вес частиц.

Поскольку, используя наши замеры концентрации шуги, можно установить значение е, то формулу (7) удобней представить в ином виде:

$$\delta = \frac{1}{e + \frac{1}{\Delta}} \cdot \cdot \cdot \cdot \cdot \cdot \cdot \cdot (8),$$

по которой определен объемный вес шуги.

Пористость шуги, движущейся или находящейся в зажоре, может быть определена по известной формуле

$$n = (-1 + \frac{\xi}{\Delta}) \ 100 \quad B^{-0}/_{0}^{-0} \quad \cdot \quad \cdot \quad (9)$$

Объмный вес уплотненного шугового слоя, движущегося в потоке со слабой турбулентностью, получен, по данным замеров на шуговой станции в ЛенГЭС, ранным в среднем 0,6. Плотность потока, насыщенного шугой, получается из суммирования масс обенх фаз в виде

$$\rho_c = \rho (1-av); a=1-\frac{\rho_w}{\rho} (10);$$

где р-объемный вес воды,

рш-плотность льда, и

в-концентрация шуги.

Силы поверхностного натяжения определяются, как известно, образованием молекулярной пленки на границе раздела фаз (вода—волух, вода—твердое тело) и равны 0,000075 кг/см для воды при 15°С. Взаимодействие жидкости с телом определяется смачиваемостью последнего, т. е. предельным углом растекания капли по поверхности тела. В случае льда угол смачиваемости равен 180°, т. е. имеет место полное растекание. С порижением температуры силы воверхностного натяжения увеличиваются с увеличением вязкости, и при 0° равны 79,5 дин/см для воды.

В общем виде выражение для сил поверхностного натяжения может быть записано

$$P = \frac{2\alpha}{r} \quad . \quad . \quad . \quad . \quad . \quad . \quad (11),$$

в котором:

коэфициент поверхностного натяжения,

г-радиус кривизны пленки.

В слое шуги поры заполнены водой и образуется, таким образом, двухфазная система: вода—шуга, силы сцепления в которой являются силами поверхностного натяжения.

Своеобразие распределения сил сцепления в грунтовой массе, васыщенной водой (случай аналогичный шуговому слою), хорошо учитывается формулой Покровского [24], который предполагает контакт между частицами, как контакт двух шаров

$$C_{max} = \frac{\pi \alpha}{4r} \left(\frac{1}{e^{N}} 1 \right) \cdots \cdots (12),$$

в жоторой:

Свах - максимальная сила сцепления,

сила поверхностного натяжения,

т-эффективный радиус частиц,

е влагоемкость, по формуле (7) в долях единицы.

Подсчет по формуле (12) дает лишь порядок величин сил внутреннего трения, ввиду невыясненности истинного механизма взаимодействия между частицами в шуговом слое.

Силы сцепления сохраняют свое значение в описанном виде до тех пор, пока не происходит переохлаждение водяной пленки между частицами. При этом пленка занимает промежуточное положение между жидкостью и льдом, в силу чего силы сцепления увеличиваются. Следует учесть, что, как показали специальные опыты, для кристаллизации тонких пленок требуется более низкая температура, и тем ниже, чем тоньше пленка.

При увеличении количества воды в порах шугового слоя расстояние между частицами увеличивается и приведенные зависимости теряют силу, т. к. капиллярные силы перестают действовать. В этом случае связность слоя определяется только динамическими условиями в потоке.

Под действием подъемной силы часть шугового слоя всплывает на высоту пропорциональную:

$$h=z\frac{\gamma_{n}-\gamma_{m}}{\gamma_{m}} \cdot \cdot \cdot \cdot \cdot (13),$$

где z-толщина слоя шуги,

үш — объемный вес шугового слоя,

у»-удельный вес воды.

Соприкасаясь с холодным воздухом, верхний слой охлаждается и смерзается. Постепенно охлаждение распространяется в глубину погруженного слоя, вызывая его промерзание. Этим объясняется подмеченный неоднократно наблюдениями факт постепенного смерзания шуги с течением времени при ее движении по реке.

Количественная сторона явления пока не поддается сколько-нибудь точному определению, т. к. неизвестны условия распространения тепла в слое шуги.

Устойчивость движения шугового слоя

Движение шуговых слоев устойчиво на сравнительно ограниченном диапазоне гидравлических условий. При скоростях до 0,7—0,8 м/сек шуга движется у поверхности; с постепенным увеличением скорости отдельные частицы начинают заноситься в глубь потока, а при скоростях порядка 3 м/сек и выше все частицы более или менее равномерно распределяются по сечению [21].

Попытаемся охарактеризовать условия, которые способствуют отрыву элементов шугового слоя и их вовлечению в глубину.

Картина движения шуги в потоке и кинематика самого потока, описанные выше, дают основание считать, что в формировании шуговых скоплений на поверхности существенную роль играет винтовое, циркуляционное движение жидкости.

Циркуляционное течение, с продольной осью и циркуляцией жидкости в поперечном направлении, поднимаясь от дна направляется к поверхности и вновь опускается на дно. Два встречных винтовых движения создают комплекс руслообразующих процессов — размывы и намывы дна. В широком потоке могут иметь место несколько пар винтовых течений. Миловичем [25] доказано, что воздействие на поток может быть оказано только парой встречно вращающихся вингов. Одиночный вихрь обладает только вращательным движением. Скорость циркуляции может быть получена из выражения

$$V = V w^2 - u^2 \dots \dots (14),$$

где w-полная скорость,

и-продольная скорость.

В потоке размерами ах2а полная скорость определяется в виде

$$w \approx 0.45 \,\text{C} \, \sqrt{4 \,\text{Si} \, \pi^2 \, \frac{\pi}{2 \, \text{a}} \, y \, + \, \text{Sin}^2 \, \frac{\pi}{a} \, r} \, . \, . \, . \, . \, (15),$$

причем С есть максимальная продольная скорость, которая может быть принята равной

$$C = \frac{Ucp}{0,4053}$$

Ucp-средняя скорость течения.

Рассматривая пару вихрей, Милович [26] приводит теорему Н. Е. Жуковского: количество движения, сообщаемое безграничной массе жидкости парой вращающихся в противоположные стороны параллельвых, прямодинейных вихрей равного напряжения, равно плотности жидкости, умноженной на циркуляцию вихрей и расстояние между ними.

Количество движения направлено нормально к прямой соединяющей вихри.

Это секундное количество движения, направленное вниз, и есть сила, которая приводит к отрыву частиц от слоя шуги. Оторванные частицы переносятся вниз по течению.

Циркуляция вихря равна

$$\Gamma = 2\pi r v$$
 (17)

Подставляя в (16) из (14), (15) и (17), получим

$$P = -2.2 \pi r \rho lu^{2}_{ep} \sqrt{1.21(4 Sin^{2} \frac{\pi}{2a} y + Sin^{2} \frac{\pi}{a} r)} (18)$$

Для вихря, имеющего размеры 2r=h, где h-глубина потока, и для случая максимальной интенсивности его при a=b получим для P следующее выражение

$$P = 3.9\pi h^2 \rho u^2_{cp}$$
 (19)

Теперь можно перейти к оценке взаимодействия потока и шугового слоя. Очевидно, что шуговой слой будет устойчивым, если эвергия расширения капиллярной пленки, связывающей между собой частицы, будет больше, чем энергия циркуляционного течения, определяемая работой силы Р, вызванной циркуляцией пары вихрей. Из этого соотношения энергий легко можно получить предельную величину продольной скорости потока, при которой движение шугового слоя будет устойчиво и распяда его не произойдет.

Элементарная работа силы Р циркуляционного потока равна

$$dR_1 \!\!=\!\! M dy \!\!=\!\! -2\pi H^2 \frac{\gamma}{g} \ u^2 dy.$$

Полная работа будет

$$R_1 = 2\pi H^3 - \frac{7}{g}u^2$$
 (20)

В то же время работа сил сцепления внутри шугового слоя, при изменении его толщины на dh, будет

где F-площадь шугового слоя $2r \times 1 = H \times 1$

поскольку
$$r = \frac{H}{2}$$

Полная работа внутреняих сил будет

$$R_2 = CHh = \frac{\pi \alpha}{4\alpha} Hh \left(\frac{1}{e} - 1 \right) . . . (21)$$

Тогда, приравнивая (23) и (24) и определяя и, получим

где все величины в системе cgs.

Для потока например с H=1м, h=0,3 и d=0,005 м и предельной порозности e=0,3 при $\alpha=75\frac{zp}{cM}$ получим

Значение предельной скорости удачно совпадает с наблюдениями в натуре.—Действительно, при скоростях свыше 1 м/сек начинается распад шугового слоя.

Предельная скорость обратно пропорциональна глубине и крупности частиц d. Последнее объясняется тем, что при малых размерах частиц их поверхность больше, а следовательно больше силы сцецления капиллярной пленки, сдерживающей частицы между собой.

Полученный результат увязывается с данными наблюдений и потому формула (25) может быть, по нашему мнению, использована для соответствующих подсчетов до получения более точных зависимостей.

Распределение шуги при устойчивом движении

Установим связь между пористостью шугового слоя и его толщиной для того, чтобы определить, какова будет сопротивляемость слоя разрыву под действием сил Р. Примем начало координат на поверхности и ось в направленную вниз. Тогда на площадку размерами 1×1 будет действовать сила, равняя

$$P = h (\gamma - \gamma_c)$$
 a,

где γ -объемный вес воды, γ_c -по ф-ле (9)

$$\gamma_c = \Delta (1-z)$$
,

где в свою очередь

 Δ —удельный вес частиц,

пористость.

Приращение толщины слоя на dh даст

$$p + dp = (h + dh)[\gamma - \Delta(1 - \epsilon)].$$

Вычитая из в) а), получим

$$dp = dh[\gamma - \Delta(1-\epsilon)].$$
 c.

Можно допустить, как это делается в механике грунтов [21,23], что — аdp,

где а-коэфициент пропорциональности, аналогичный модулю упругости. Это предположение не подкреплено фактическими замерами, ивиду трудности их осуществления, но представляется достаточно вероятным, учитывая данные наблюдений, которые показывают, что шуговой слой до своего разрыва ведет себя как упругое тело. Поэтому в дальнейшем мы принимаем условно эту связь.

Величина а может быть определена из следующих соображений: Коэфициент сжимаемости слоя шуги по аналогии с грунтовой массой может быть принят равным

$$a = \frac{\epsilon_1 - \epsilon_2}{p_2 - p_1}$$

для двух значений ϵ и р. По кривым распределения шуги значение а получено в среднем для ряда замеров равным 1-1,2 $c.m^2/\kappa z$.

Для малых значений поверхностной концентрации ст несколько снижается, доходя до 0,1 см²/кг.

Тогда, не раскрывая значения коэфициента а, можно переписать с в следующем виде

$$-rac{a\epsilon}{\gamma-\Delta+\Delta\epsilon}=adh$$
 или $-rac{d\epsilon}{\beta+\Delta\epsilon}=adh$ е,

где 3-постоянная для данных плотностей воды и льда. После интегрирования получим

$$-\frac{1}{\Delta}$$
fn($\beta + \Delta z$) = ah + c

Постоянная ε определится из условия, что при h=0, τ . е. на доверхности, $z=z_0$ (см. п. 2).

Тогда получим окончательно

$$\left(\frac{\beta + \Delta \varepsilon_0}{\beta + \Delta \varepsilon}\right)^{1/\Delta} = e^{ah}$$
 . . . (21)

или раскрывая

Сопоставление опытных кривых распределения шуги и расчетных дано на рис 7.

Замеры распределения шуги по сечению

В процессе работ на шуговой станции производились регулярные замеры распределения шуги по вертикали.

Скорости течения колебались от 1,2 до 1,8 м/сек в зависимости от расхода; замеры проводились в канале Ленинаканской ГЭС. Таким образом область измерения относилась к устойчивому движению шуговых пластов, характеризуемому формулой (22). Измерение концентрации шуги в точке производилось "точечным шугомером" [25]—вертикальным, подвижным цилиндром двам. 18 см с двумя неподвижными доньями. Взятие пробы прнурочивалось к прохождению пласта шуги. В каждой точке проба бралась до 3-х и более раз до получения трехкратного совпадения концентрации с точностью до 5%, При анализе движения шуги необходимо постоянно иметь в виду, что поток шуги не континуум а дискретен и, потому все выводы относятся к условной картине сплошного движения.

Полученные кривые распределения означают, что так распределена шуга в пласте, независимо от величины пустых-промежутков между пластами.

Для характеристики "пульсации" плотности шуговых слоев приведен ряд замеров в поверхностном слое потока.

Нечетные номера измерения в таблице 4—пласт, четные—прогал между пластами.

Таблица 4

№ № измерен.	1	2	3	4	5	6	7	8	9	10	11	12	13	14	15	16
Концен- трация	0,68	0,05	0,67	0,07	0,66	0,01	0,68	0,08	0,70	0,04	0,66	0,00	0,68	0,03	0,65	0,04

Таким образом в прогалах встречаются лишь случайные частицы. Обращает на себя внимание постоянство концентрации пласта.

В таблице 5 приведены характерные данные по замерам распределения шуги и по физическим константам шугового слоя, в соответствии с изложенным в предыдущих параграфах.

Таблица 5. Характеристика распределения шуги в потоке

	.№ № по порядку	Расход во- ды ж ³ /сек	Гаубина ж	Средиля екорость м/сек	Максим. скорость л/сек	Толщина слоя шуги	Среди, кон- цент. 10/0	Расход шуги	a CM ² KS	Козфии.
	1	2,76	1,23	1,0	1,35	0.37	70	0.25	2	0.7
#	2	2,70	1,23	1,0	1,35	0.30	60	0,17	3	0,5
	3	3,14	1.0	1,40	1.6	0,45	75	0,32	1	0,6
	4	3,55	1,12	1,50	1,70	0,35	50	0.09	6	0,25
4	5	3,82	1,15	1,50	1,70	0.30	40	0,17	10	0,45
	3610	5,92	1,53	1,75	1,95	0.35	45	0,31	11	0,55
+	7	4,28	1,54	1,70	1,90	0.6	70	0.82	2	-0,30
	8	5,90	1,53	1,75	1,95	0,20	80	0,05	1	0,20
	9	3,30	0.95	1,60	1,70	0.55	45	0.57	11	0,70
4	10	4,07	1,13	1.70	1,75	0,45	60	0.60	10	0,7
	11	3,30	1,02	1,50	1,60	0.45	30	0,21	20	0,40
	12	3,16	0,93	1,40	1,55	0,40	60	0,58	8	0,7
	13	3,35	1,10	1,52	1,63	0,50	70	0,72	2	0,8
	14	5,12	1,43	1,76	1,84	0,50	70	0.81	2	0,8
L	15	5,00	1,40	1,72	1,81	0,3	60	0.24	33)	0,4

+ отмечены случан, навесенные на рис. 6.

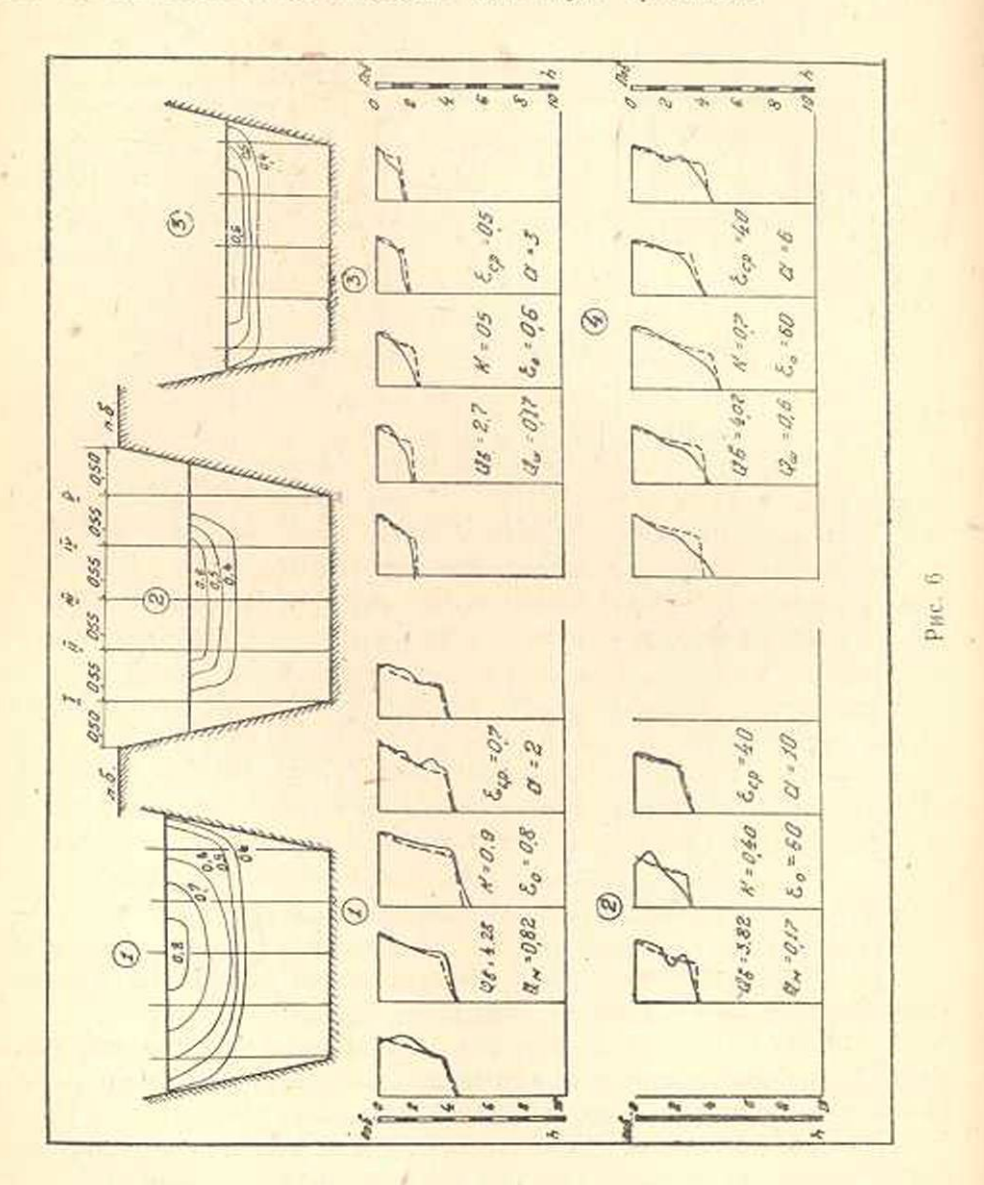
Наиболее типичные кривые распределения по вертикали и изолинии концентрации даны на рис. 6.

Подсчет параметра a проведен для точек на глубине y=0,2h и y=0,4h, для всех кривых, и в таблице дан средний для всех вертикалей, при данном расходе и средней концентрации.

На рис. 6 нанесены также теоретические кривые распределения, подсчитанные по формуле (22), по фактическому значению а.

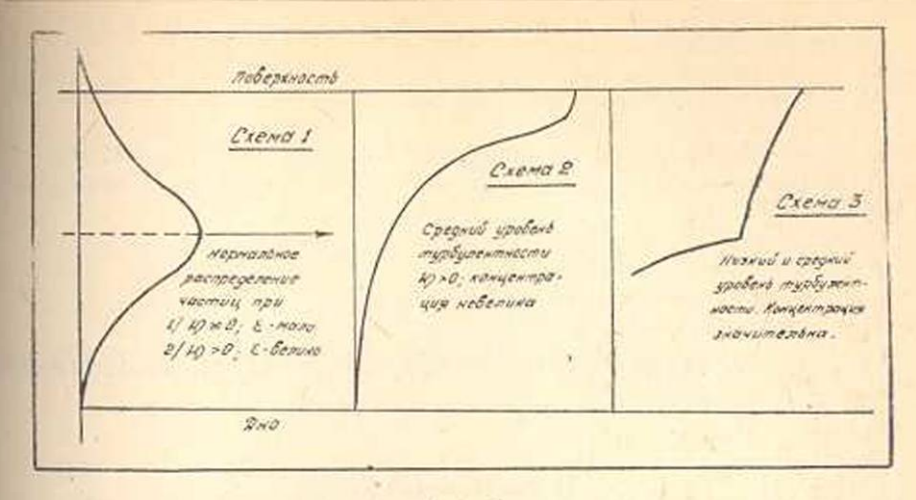
Коэфициент а, который представляет собой величину обратную модулю упругости, как и следовало ожидать, меняется в зависимости от концентрации, увеличиваясь с уменьшением в (рис. 5).

Модуль упругости шугового слоя составляет для небольшой концентрации E=1 кг/см², что дает примерную величину допускаемого напряжения порядка σ=0,001 кг см³.* Для частиц крупностью от 1 до 2 мм, какие мы встречаем в потоке, сила поверхностного натяжения составит 0.00075—0.0015 кг см². Это совпадение не случайно и показывает, что наша предпосылка о доминирующем влиянии сил поверхностного натяжения в слое шуги правильна.



Кривые распределения шуги по вертикали (рис. 6) дают близкое совпадение замеренных и теоретических, с очевидными отклонения ями из-за некоторой неточности измерений. В частности отклонения наблюдаются в нижней части слоя из-за того, что при взятии пос-

Для получения соотношения между Е и с мы воспользовались данными, приведенными у Вейнберга [26] по физическим свойствам льда и снега.



Puc. 7

ледней пробы толщина неизмеренного слоя составляет лишь часть габарита шугомера и потому, распространия захваченное количество шуги на всю пробу, получается преуменьшенная концентрация. Поэтому на всех кривых показана точка фактической концентрации и отмечена граница шугового слоя по приведенной концентрации.

Водно-эпергетический Институт Академии Наук Арминской ССР. Поступнао 10 1 1949

ANTEPATYPA

- С. Я. Вартазаров—Внутриводный дел в горных реках. Тр. Эн. Сектора АН Груз. GCP, т. 1, 1941 г.
- С. Я. Вартизаров—Ледовый режим рек Армения. Изв. АН Армянской ССР (ест. пауки). № 8, 1946
- С. Я. Варталиров Распределение внутриводного льда в потоке Тр. Эн. сект. АН Груз. ССР, т. 1. 1941.
- 4. O. Devik-Thermische u. dynamishe Hedingungen der Eisbildung... Tekn. Tidsk. 1932.
- 5. Luscher-Das Grundeis, Aarau, 1924.
- И. И. Глинка Исследование замнего режима р. Чирчик (Архив Лен. ГИДЭП'-а) 1938.
- г. В. М. Миккивеск И. М. Конозалов-Гиправлика, 1940.
- 8. М. А. Великанов-Дипамика русловых потоков, 1944.
- A. Kalinske-Relation of the statistical theory of turbulence to hydraulies, Proc. Am. S. C. E. M. 8, 1939.
- 70. V. Bjerkness-Vorjesungen über dynamische Fernkräfte, Leipzig. 1902.
 - L. Г. Лама-Гиправлика 1947.
- 12. В. В. Шулейкин-Филика мори, 1948.
- P. R. Camp—Sedimentation and the design of, settling basins, Pr. A. S. C. E. N. 4, 1945.
- 14. В. А. Фидман Изв. АН СССР (серня геоф.), № 3, 1948.
- 15. М. А. Великанов-Лиижение напосов, 1948.

- 16. Лосивяский Лаборагорные исел едования процессов образования перекатов1964.
- 17. M. B. Homanos-Coopust BHMMI it M, 1934.
- 18. М. В. Потапов Регулирование водных ногоков методом искусственной поперечной пиркуляции, 1917.
- 19. J. Leighty-Turbulence and transportation of rock debris. Geogr. Review, 1982.
- И. А. Коновалов Движение плавающих тел в потоке. Тр. Балт. конференции. 1933.
- 21 Цитович Основы механики груптов, 1936.
- 22. Попов-Механика груптов, 1937.
- 23. K. Terzaghi The theoretical soil mechanics, 1945./
- 24. Покровский-Силы сцепления в груптах, 1933.
- 25. С. Я. Вартазаров-Метеды количественного учега шуги, Мет. и Гидр. № 9.180
- 26 B. H. Belmberz-Jea, 1948.

U. Sm. daramqueni

ՀՈՍԱՆՔԻ ՄԵՋ ՆԵՐՋՐՅԱ ՍԱՌՈՒՅՑԻ ՇԱՐԺՈՒՄԸ

U. U ononbu

Հողվածում չարադրված են Ախության դետի վրա եղած ողինային կայանում նեղինակի կատարած մի քանի հետաղոտութիյունների արդյունըները։ Հետաղոտութիյան նպատակն էր հոսանքի մեջ ողինի մասնիկների չարժումը ընտրոչող հաչվային կախուժների ողացումը։

Դիտողու թյուններով սահմանված է, որ ողինի չարժման մեջ կարելի է նշել երեր ստադիտ՝ 1. դեռ չձևակերպված ստոււյցի մանր թյուրեցների չարժում, որոնք հանար հարարաչափ տարածված են հոսանդի ընդլայնական հատված քում, 2. Փոքր խառւ թյան և տուրթույենտու թյան բարձր մակարգակի դևարում կողում կողոր մառնիկների չարժում և 3. մասնիկների դդալի հիրթակի դևարում խոշորու թյան դեպքում ողինի չարժում՝ հոսանդի մակերեվույթի վրայում Վերջին դեպքի համար հեղինակը դուրս է ընթել ըանաձև (22), որը տալիս է ողինի տարածման ընտույթն ըստ ըարձրու թյան։

Սանժանված է, որ ողինույին շերտերի՝ շարժժան կայունությունը որոշվում է ողինի ժամակների փոխաղդեցության ուժերով և ողինի շերարի վրա հոսանդի ազգեցությամբ ողինային շերտի կապակցությունն ապահով ուժեր են նանդիսանում ժաղականության ուժերը։ Սղինային շերտի և չրով նարկցած դրունաի միջև անալողիա անցկացնելով դուրս է բերվում նարակցական ուժերի նանոր ըստնաձև։

Սզինային շերար քայքայվում է հոսանքի ընդլայնակոն շրջանառութ Սյան աղդեցության տան։ Ձույգ պանշատկը իրար գեժ հանդիման պարտգելիս ստեղծում է մի ուժ. որը քայքայում է ողինի շերար։

Սդինային շերաում հարակցական ուժերի և պոկող ուժերիէներդիաների հարարերութեյուններից ելնելով գուրս է բերվում շերտի կայան շարժման սահմանային արադութեյան համար բանաձև (25)։

Հողվածում ընթվում է ողինային կայանում կատարված հատվածով ողինի տարածման չափունների ավյանիները և հեղինակի բանաձևը ողին հիղրավիկական խոշորության կախումը տրամաղծից։

УБИДЬНИЧЬ 2 ИЗЧИЧИЬ ВИР ЧЕХПЕРЗПЕСТИЯ ИНИЧЕТИВЕ ИЗВЕСТИЯ АКАДЕМИИ НАУК АРМЯНСКОЙ ССР

1 мд-бир., ра. L шЫр. аршагр. 11, № 2, 1949 Физ-мат., естести, и тех. науки

гидротехника

А. М. Мхитарян

фильтрация воды через земляные плотины на непроницаемых основаниях (частный случай)

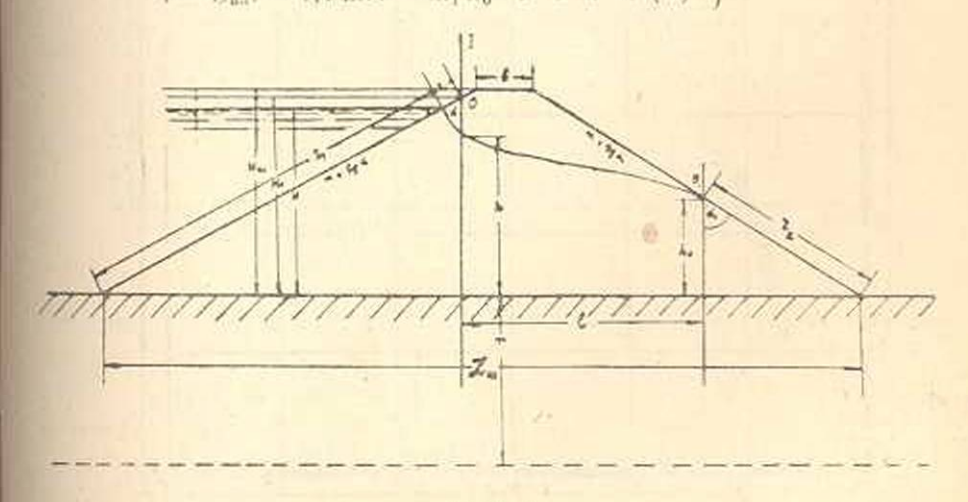
Для решения задач о фильтрации воды через земляные плотины с непроницаемым основанием [T=0] и с основанием неопределению большой мощности [T=∞] приведенные в нашей предыдущей работе [5] графики непригодны, т. к. их компоненты при T=0 и T=со становятся не определенными. Поэтому общие уравнения для плотии с проницаемым основанием из упомянутой нашей работы перепишем и вместо значения Т поставим 0 или ∞.

$$\frac{q}{k} = \frac{H - h}{g_1} I_0 \frac{1.1 H + T}{1.1 H - h} \cdot \cdot \cdot \cdot (1)$$

$$\frac{q}{k} \cdot I = T (h - h_0) + \frac{h^2 - h_0^2}{2} \cdot \cdot \cdot (2)$$

$$\frac{q}{k} = (T + h_0) \frac{\cos z_3}{g_2} \cdot \cdot \cdot \cdot (3)$$

$$I = I_{cns} - 1.1 mH - m_1 h_0 \cdot \cdot \cdot (4)$$



Черт. 1.

где $g_1 = 2\pi \frac{\pi}{360^o}$, $g_2 = 2\pi \frac{\pi}{360^o}$, q = pacxo, a k - коэфициент фильтрации.

Остальные обозначения см. чертеж 1. Подставим значение l из уравнения [4] в уравнение [2] и полагая, что T=0, получим:

$$\frac{q}{k} = \frac{H - h}{g_1} I_n \frac{1.1H}{1.1H - h} \dots (5)$$

$$\frac{q^*}{\frac{k}{k}} (L_{na}, -1.1 \text{ mH} - m_1 h_0) = \frac{h^2 - h^2}{2} \dots (6)$$

$$\frac{q^*}{k} = A \cdot h_0 \dots (7)$$

<u>График</u> Диг определения входной ординаты h=x"H

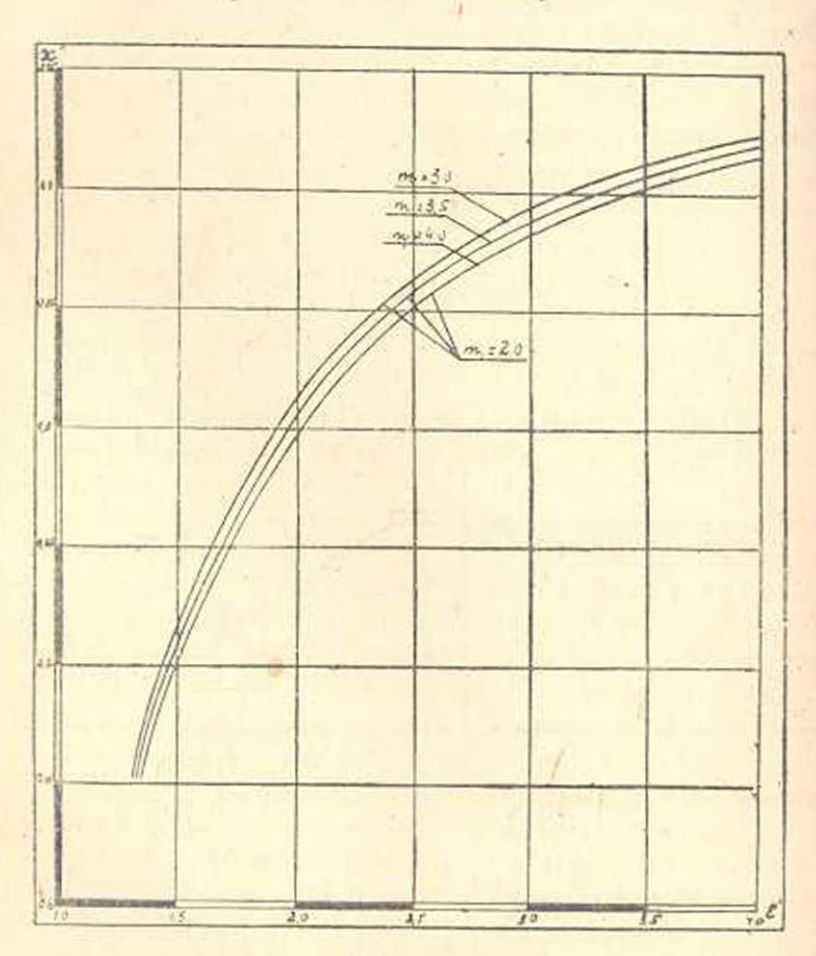


График І-а

где
$$A = \frac{\cos \mathbf{z}_1}{g_2}$$
.

Выразим компоненты расчета в долях от напора Н, введя обозначения

$$\frac{q}{k} = Q', \ \frac{h}{H} = x'', \ \frac{h_0}{H} = y'', \ \frac{L_{\text{max}} - 1, 1 \text{ mH}}{H} = \epsilon'.$$

Подставив новые переменные в систему П, получим преобразованную систему:

$$Q' = \frac{1 - x''}{g_1} \cdot l_n \frac{1}{1, 1 - x''} \cdot \dots \cdot \dots \cdot (8)$$

$$Q'(z' - m_1 y'') = \frac{x''^2 - y''^2}{2} \cdot \dots \cdot \dots \cdot (9)$$

$$Q' = A \cdot y'' \cdot \dots \cdot \dots \cdot (10)$$

Эту систему не трудно привести к виду:

$$y'' = \frac{1 - x''}{g_1 \Lambda} \cdot I_n \frac{1,1}{1,1 - x''} \cdot \cdot \cdot \cdot \cdot \cdot \cdot (11)$$

$$\epsilon' = \frac{x''^2 - y''^2}{2 \Lambda y''} + m_1 y'' \cdot \cdot \cdot \cdot \cdot \cdot \cdot (12)$$

_ Ipagous

Das orpegenerus broadytous voyunuous her yill

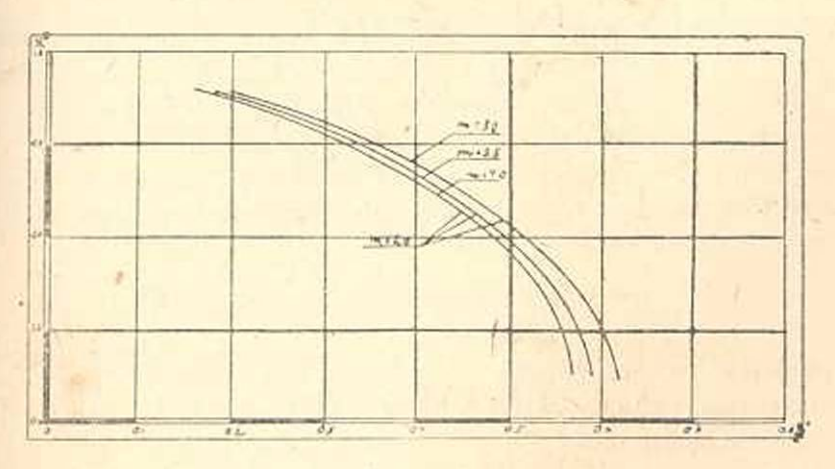


График 1-6

По этим уравнениям можно составить таблицы или графики для определения элементов кривой депрессии. Для определенных величии откосов, задаваясь значениями х" (в пределах от 0,65 до 0,95) по ураввению [11], мы вычислиди у", что позволяет найти з" по уравнению [12].

Таким образом, для стандартных откосов расчетное соотношение может быть представлено одной кривой х" = f(z'), что позволяет на одном графике свести расчетные кривые для всех возможных типов профилей. Если каков-либо профиль на этом графике окажется случайно не предусмотренным, то величину х" всегда можно будет определить по интерпфляции между соседними кривыми, имеющими постоянное значение одного и различные значения другого откоса. Для определения выходной ординаты можно составить другой график с кривыми:

$$y'' = f(\epsilon')$$
 или $y'' = f(x'')$.

Чтобы не перегружать нашу статью табличным и графическим материалами, мы приведем график для низового откоса только $\mathfrak{m}_1 = 2$ и верхового $\mathfrak{m} = 3.5$ и $\mathfrak{m} = 4$.

 Таблица для определения элементов кривой депрессии, 	n. nm	on m, -	2.
---	-------	---------	----

	m	= 3	m -	3,5	m = 4		
χ,	E.	/y"	3	. y"	2	2"	
0,65	1,316	0,6200	1,3290	0,5990	1.3405	0,581	
0.70	1,467	0,6015	1,4860	0,5815	1.502	0.567	
0.75	1,659 +	0.5675	1,687	0,549	1.710	9+5845	
0.80	139305	0.5150	1,970	0.498	2,0025	0.485	
0.85	2,3660	0.4405	2,425	0.426	2,472	0,415	
0.90	3,2245	0.3380	3,318	0,327	8,392	0.318	
0,95	5,8050	0,1975	5,999	0,191	6,146	0,186	

По таблицам значений ε' и y'' для m=3 и $m_1=2$ построены график и № 1* и 1°.

Приведем несколько примеров расчета.

Пример 1. Определить элементы кривой депрессии и плотине с напором H = 10 мм откосами $m_1 = 2$ и m = 3, имеющей ширипу по низу 63м (исходя из высоты 11,5м и ширины по гребню 5,5м). Определим параметр s'

$$\epsilon' = \frac{L_{ma}}{H} - 1.1 \ m = \frac{63}{10} - 1.1 \cdot 3 = 3.$$

По графику 1-а находим x'' = 0.8905 и по графику 1-беу" = 0.36. Следовательно входная ордината h = x''. H = 0.8005 10 = 8.9505 и и выходная ордината $h_0 = y'' H = 0.36$. 10 = 3.6 и.

Расчет, как видим, элементарно прост.

Пример 2. Для тех же данных рассчитать расход, при условии, что коэфициент фильтрации равен 0,005 см сек, или K=0,000005 м сек.

Поэтому
$$Q' = A \cdot y'' = 0,464 \cdot 0,36 = 0,1454$$
., где $A = \frac{\cos \mathbf{z}_1}{g_2} = 0,464^{\circ}$
Следовательно $\mathbf{q} = \mathrm{KHQ'} = 0,000005, \ 10, \ 0,1454$

$$q = 0.00000727 \, M^2 \, \text{cek. Ha n. } M$$

или q = 0.00727 л сек. = 26, 1 л час на п. u.

Вначение А для разных откосов можно взять на готовой таблицы нашей работы [5], на стр. 53, табл. № 3.

Пример 3. Рассчитать кривую депрессии по данным примера I-го, но при услован m=4 и в соответствии с этим $L_{nx}=63+11,5, (4-3)=74,5.$

По предыдущему $\epsilon' = \frac{74.5}{10} - 1.1.4 = 3.05,$

по графикам x'' = 0.8855 и y'' = 0.35,

man $h = x''H = 8.855 \text{ at } h_u = y'' \cdot H = 0.35 \cdot 10 = 3.5 \text{ atm.}$

Сопоставляя друг с другом расчеты № 1 и 3, можно видеть, что влияшие на движение заложения верхового откоса весьма незначительное, что хорошо согласуется со всем сказанным в нашей [5] о том, что фильтрационный цоток не захватывает нижною часть верхового канна, которая возрастает пропорционально с проинцаемым слоем Т.

Что касается случая при T =

, то мы надеемся вернуться к этому вопросу позже, после окончания лабораторных опытов в Гидроэлектрической лабораторны Академии Наук Арм. ССР.

ЛИТЕРАТУРА

- Е. И. И. Павловский—О фильтрации поды через земляную плотину на непропинаемом основании, 1931. Москва.
- 2. А. А. Угирчус-Расчет фильтрации черей землящые плотины. 1940. Москва-
- Ф. Б. Нельсон-Скорняков—Пвижение воды и однородной среде 1947. Москва.
- 4. П. А. Шинкин-Расчет фильтрации в чемляных илотинах, 1947. Москва.
- А. М. Мантарин Фильтрации воды через земляные плотины на проинцаемых основаниях. Илв. АН Арм. ССР, № 5, 1947.
- А. М. Мхитарян. Фильтрация воды через земзяные плотины на пропицаемых основаниях с водой на п. б. Изв. АН Арм. ССР. № 4, 1948.

Поступнае 9 IV 1949

U. U. Whipmerinti

ՋՐԻ ՖԻԼՏՐԱՑԻԱՆ ՋՐԱԱՆՔԱՓԱՆՑ ՀԻՄՔԵՐԻ ՎՐԱ ԳՏՆՎՈՂ ՊԱՏՎԱՐՆԵՐԻ ՄԱՐՄՆՈՎ

UUDAADAABU

Հուրվածում լուսարանված է ջրատնինականց։ Տիմքի վրա դանվող պատվարների մարքնով կատարվող ֆիլարացիայի ծաշվարկը հիղթավլիկ մեքնոյով, որը ծամարվում է մեր նախորդ աշխատանքին մասնավոր դեպքիր

Քանվ որ ճախորդ աշխատանւթը (ինչպես ցույց է արված նրա աժփախքան ժեք) ավելի լնործանուր է և ճիշտ, , թան ժինչ այդ լույս ահսած (որոնց Թվաւժ ակադ. Կավլովսկու և արտֆ. Ուդինչուսի) - աշխատանւթները

Фильтрация воды через земляные плотины на провицаемых основаиюх. Известия, АН Арм. ССР, № 5, 1947 г.

Դիդրավլիկ մեխողով, ապա նրա մասնավոր դեպքը ևս կարևոր է և պրակտիկայում կիրառելի։

Չնայած ստացված բանաձևնրի պարդությանը, լուծումը տրված է նոմոգրաֆիկ հղանակով՝ օգտագործումն ավելի հեջաացնելու համար։

Բերված օրինակները ցույց են տալիս ավյալ ժեխողի լուծժան մահժանային հեշաութեյունը։

